



TECHNISCHE
UNIVERSITÄT
WIEN
Vienna University of Technology



138.039 Einführung in die Forschungsgebiete der
Fakultät für Physik

Willkommen am Atominstitut!

26. März 2021, Vienna University of Technology

Was ist das Atominstitut?

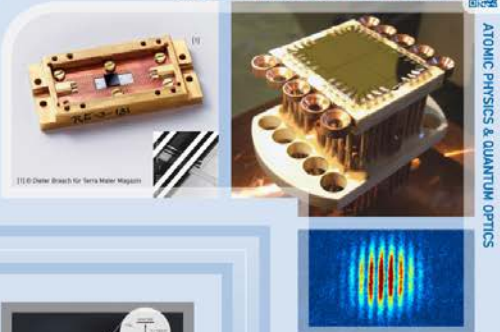
- 1 von 4 Instituten der Fakultät für Physik
- Standort Prater + Freihaus + Operngasse + MedAustron + HEPHY
- gegründet/gebaut 1959 als „Atominstitut der österr. Universitäten“
- 2002 in TU Wien integriert
- ~150 Mitarbeiter_innen + ~50 Studierende
- beheimatet *TRIGA Center Atominstitut* + *CLIP* (E141 und E057-14)
- 8 Forschungsbereiche + 3 Junior research groups
- ...eine großartige Umgebung für Forschung und Lehre und mehr!



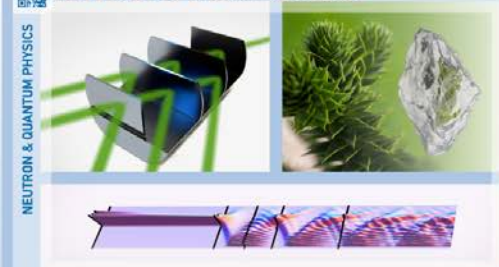
Was machen wir am Atominstitut?

...urviel...!

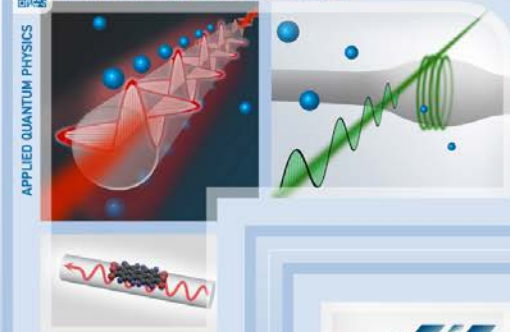
ATOMPHYSIK & QUANTENOPTIK



NEUTRONEN- & QUANTENPHYSIK



ANGEWANDTE QUANTENPHYSIK



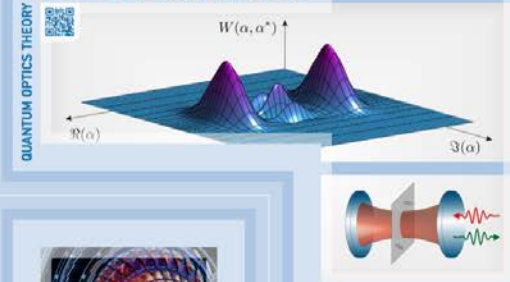
QUANTENMETROLOGIE



REAKTOR & STRAHLENSCHUTZ



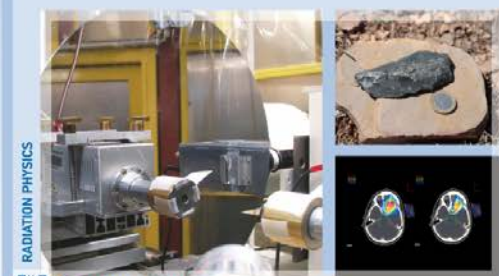
THEORETISCHE QUANTENOPTIK



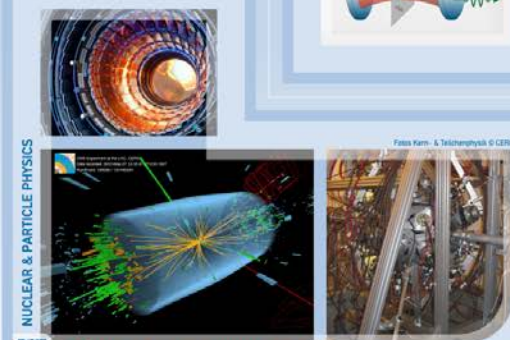
TIEFTEMPÉRATURPHYSIK & SUPRALEITUNG



STRAHLENPHYSIK



KERN- & TEILCHENPHYSIK



Anschnallen, los geht's!

...freuen Sie sich auf 12 spannende Präsentationen!





TECHNISCHE
UNIVERSITÄT
WIEN
Vienna University of Technology



Forschungsbereich Quantum Metrology

Thorsten Schumm

Stephanie Manz, Tomas Sikorsky, Nadine Hilmar
Jozsef + Enikoe Seres, Georgy Kazakov

+ 10 PhD students + 2 Master students

+ YOU?

thorsten.schumm@tuwien.ac.at

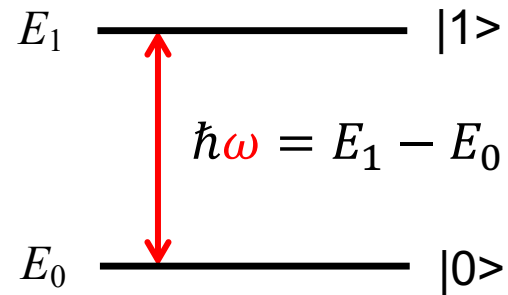
Was macht „Quantum Metrology“?

Erforschung neuartiger Messverfahren auf der Basis der Quantenmechanik

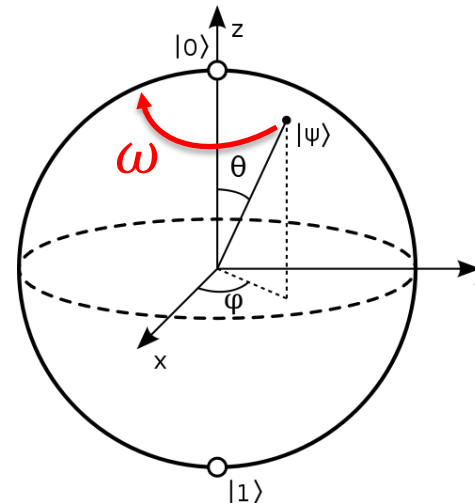
Ausgangspunkt: Quanten-Superposition

$$\frac{1}{\sqrt{2}}|\text{cat}\rangle + \frac{1}{\sqrt{2}}|\text{dog}\rangle$$

Physikalische Realisierung: 2-Niveau system



Darstellung als Zustandsvektor



Zwei Beispiele zur Quantenmetrologie

Beispiel 1:

Wähle die 2 Zustände möglichst „robust“

→ **eine Quanten-Uhr**

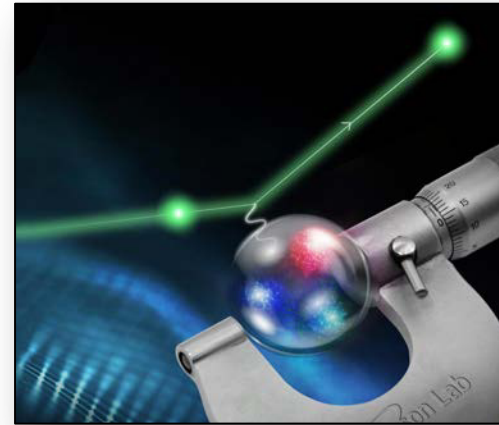


Atomic clocks for satellite-based navigation:
GPS, Galileo, GLONASS, BDS...

Beispiel 2:

Wähle die 2 Zustände „empfindlich“

→ **ein Quanten-Sensor**



Atomic magnetometers, accelerometers,
motion sensors, gravimeters...

Thorium-Kern-Uhr

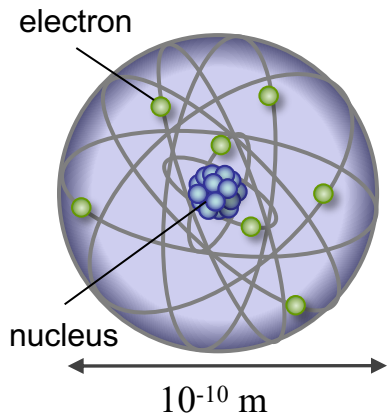
- Konzept: Quanten-**Kernzustände**
- (fast) nur möglich am Atominstitut
- Thorium-229 in Kristallen

Cäsium-Gravimeter

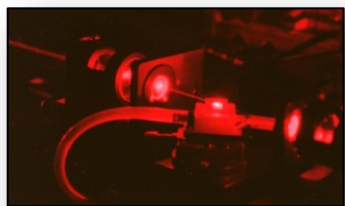
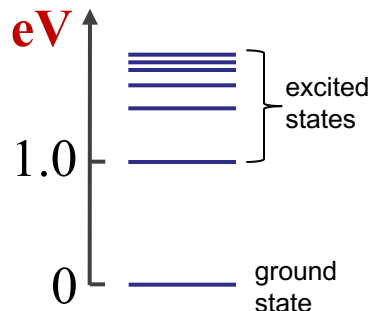
- Konzept: **räumliche Zustände**
- ein Schrödinger-Kätzchen
- ...going to space

Beispiel 1: Thorium-229 Kernuhr

Atomic physics



discrete energy levels

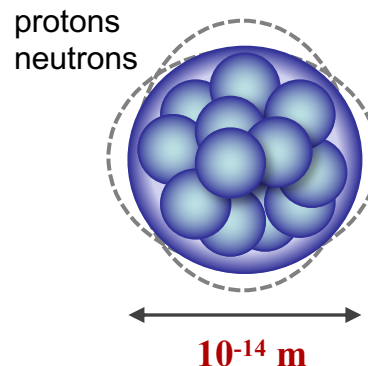


main tool
of study:
**laser
spectroscopy**

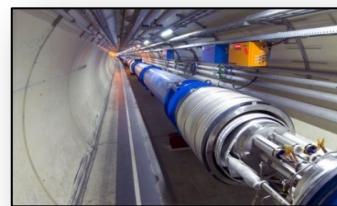
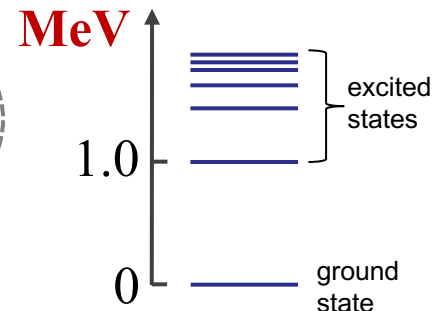
Atomic spectroscopy for metrology

- provides a frequency standard
- $1s \equiv 9.192.631.770$ oscillations in Cs
- crucial for fundamental research
- applications: GPS, communication
- miniaturization possible

Nuclear physics



discrete energy levels



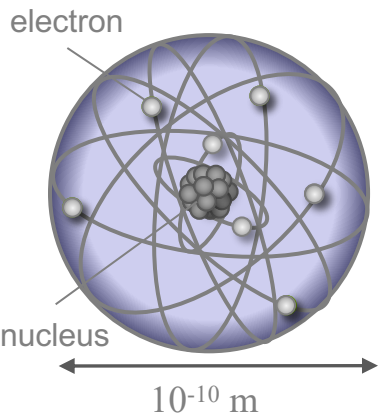
main tool
of study:
**particle
accelerators**

Nuclear spectroscopy for metrology

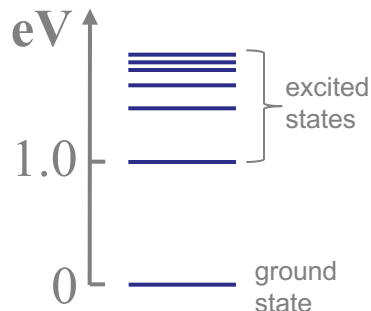
- **no frequency standard (although suited!)**
- used in fundamental research
- (Mössbauer spectroscopy, dating)
- **no direct metrology applications**
- **no miniaturization**

Beispiel 1: Thorium-229 Kernuhr

Atomic physics

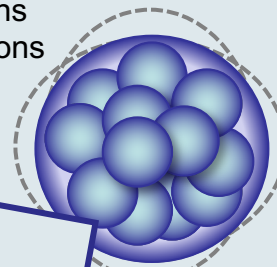


discrete energy levels

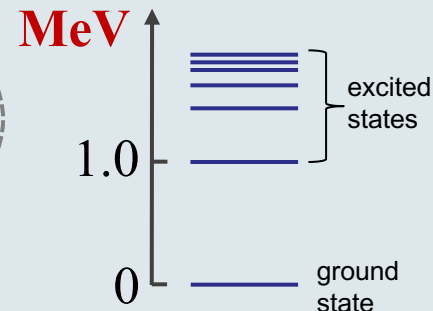


Nuclear physics

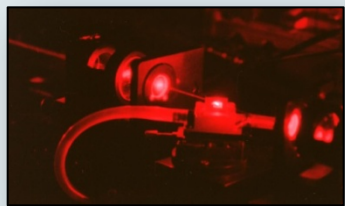
protons
neutrons



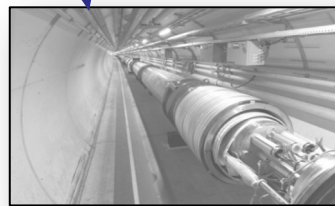
discrete energy levels



Thorium-229



main tool
of study:
**laser
spectroscopy**



main tool
of study:
**particle
accelerators**

Atomic spectroscopy for metrology

- provides a frequency standard
- $1s \equiv 9.192.631.770$ oscillations in Cs
- crucial for fundamental research
- applications: GPS, communication
- miniaturization possible

Nuclear spectroscopy for metrology

- **NEW frequency standards ?**
- **new fundamental research possible !**
- (Mössbauer spectroscopy, dating)
- **miniaturization possible**
- **applications ahead?**

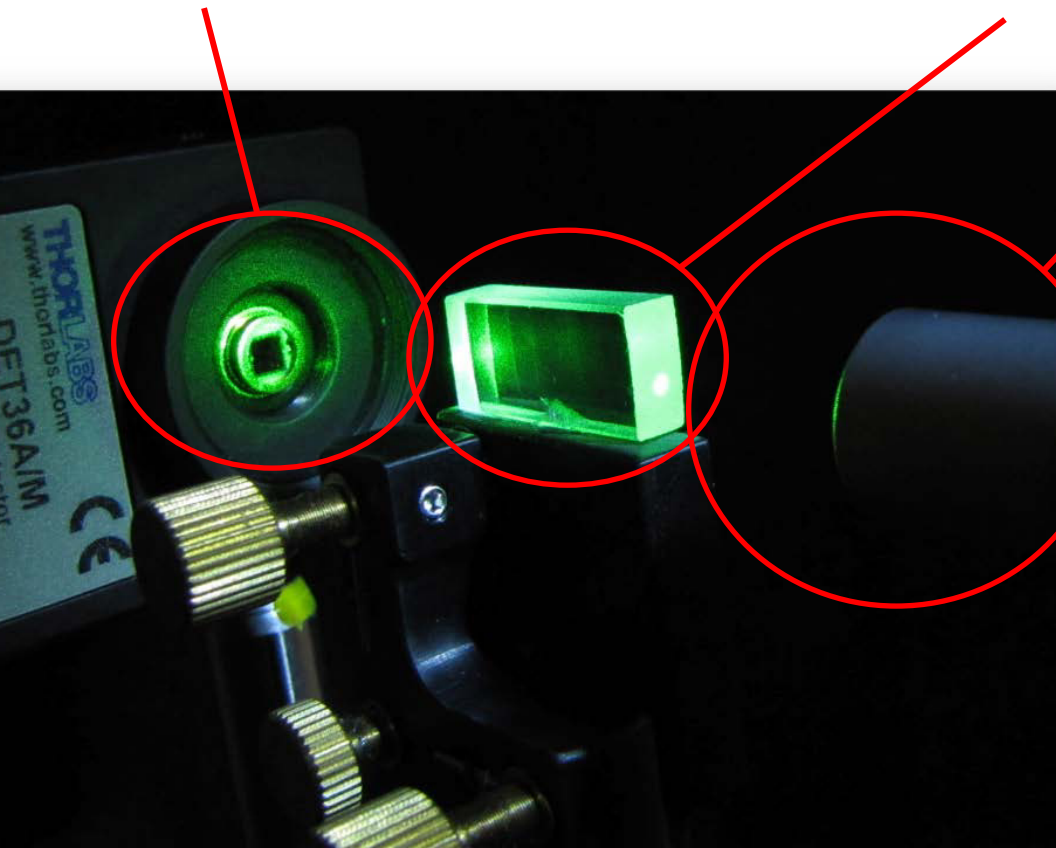
Beispiel 1: Thorium-229 Kernuhr

Was ist daran so schwierig? Alles!

- Detektion:** einzelne VUV Photonen
- Signal: wenige counts pro Minute
 - kosmische Hintergrundstrahlung
 - Radioaktivität der Probe

- Kristall:** Thorium-dotiertes CaF_2
- völlig unbekanntes Material
 - einziger „Hersteller“ weltweit
 - Kosten: 1 mg Th-229 ca. 120 k€

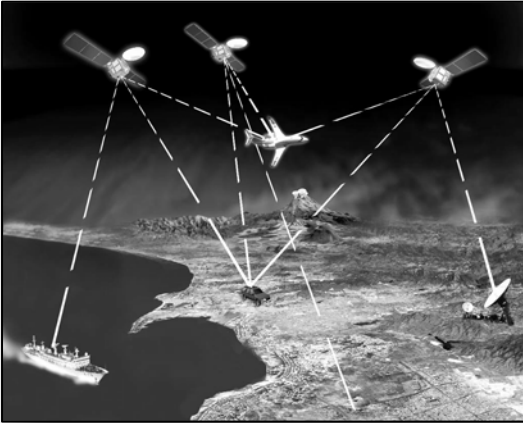
- Laser:** 150 nm VUV
- nicht kommerziell erhältlich
 - 5-6 Systeme weltweit
 - füllt 2 Labors



Zwei Beispiele zur Quantenmetrologie

Beispiel 1:

Wähle die 2 Zustände möglichst „robust“
→ **eine Quanten-Uhr**



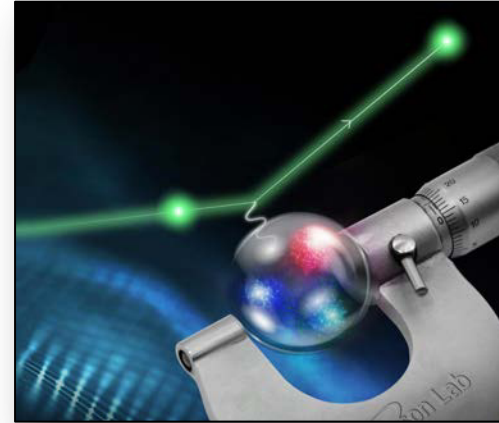
Atomic clocks for satellite-based navigation:
GPS, Galileo, GLONASS, BDS...

Thorium-Kern-Uhr

- Konzept: Quanten-Kernzustände
- (fast) nur möglich am Atominstitut
- Thorium-229 in Kristallen

Beispiel 2:

Wähle die 2 Zustände „empfindlich“
→ **ein Quanten-Sensor**



Atomic magnetometers, accelerometers,
motion sensors, gravimeters...

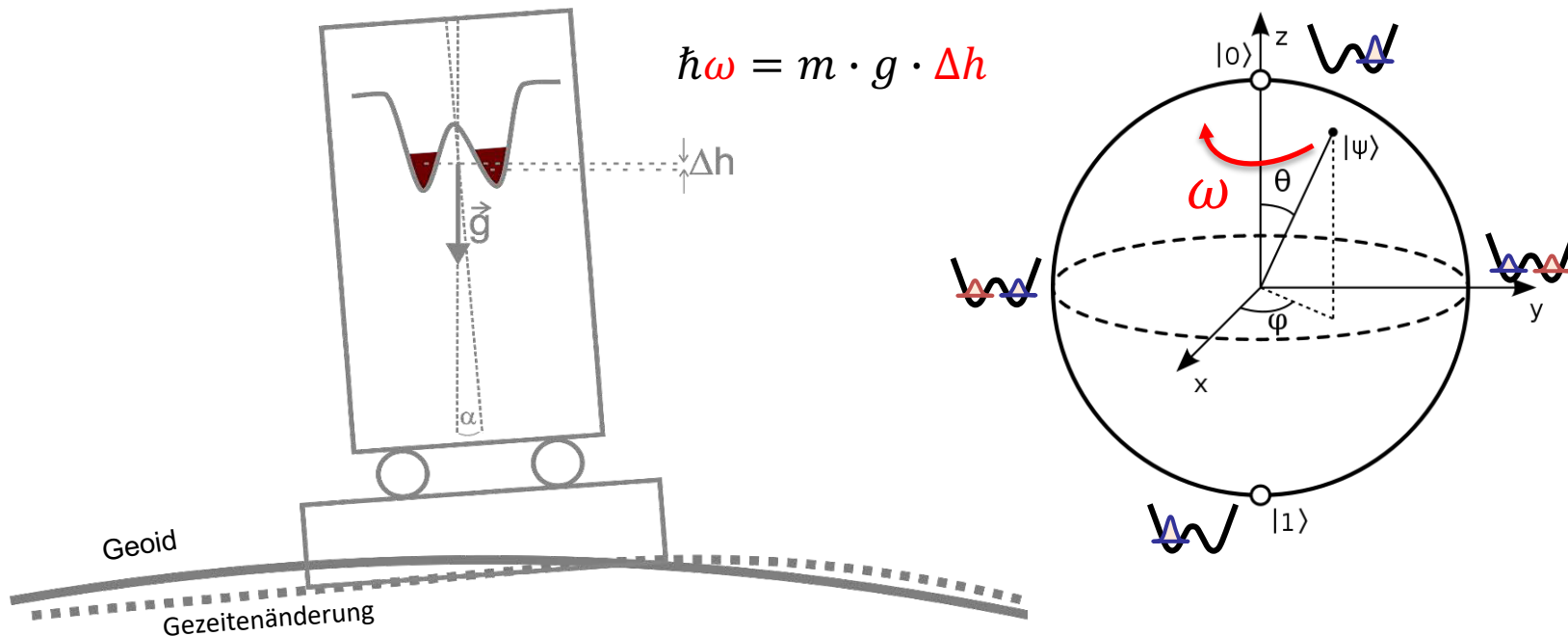
Cäsium-Gravimeter

- Konzept: **räumliche Zustände**
- ein Schrödinger-Kätzchen
- ...going to space

Beispiel 2: Cäsium-Gravimeter

Konzept: räumliche Überlagerung: $\frac{1}{\sqrt{2}} |atom\ links\rangle + \frac{1}{\sqrt{2}} |atom\ rechts\rangle$

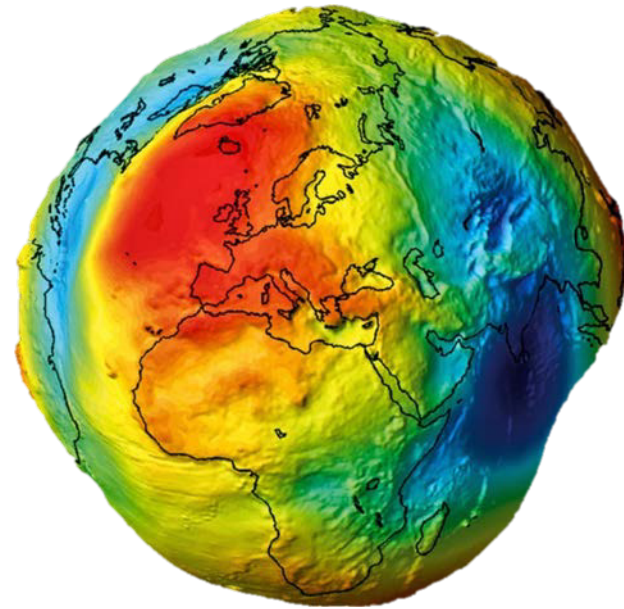
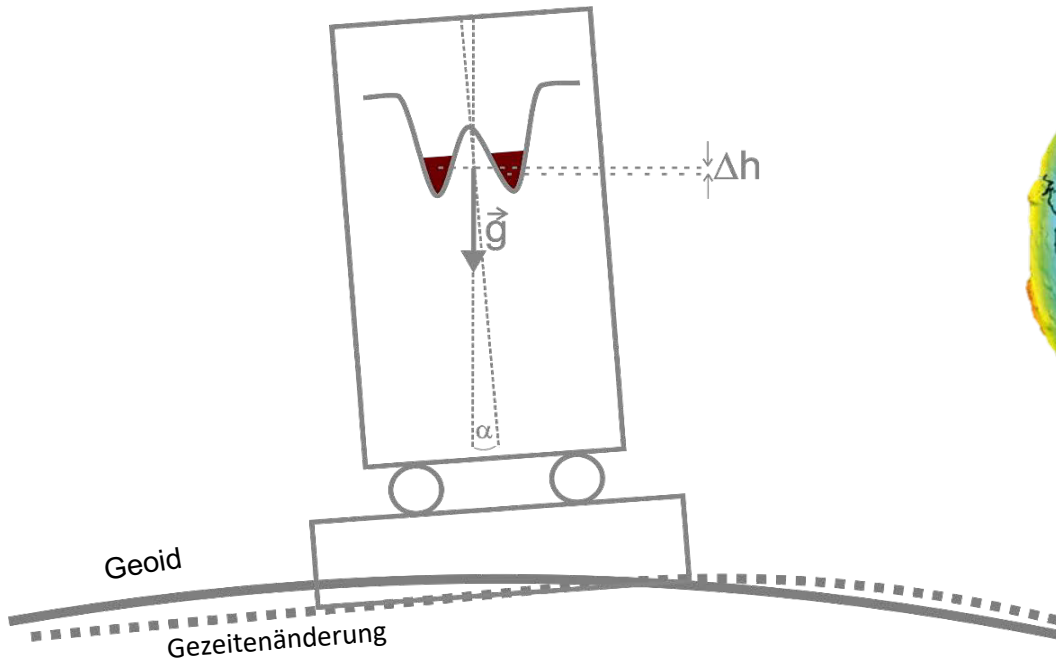
...wieder ein 2.Niveau system



Höhenunterschied Δh lässt sich sehr exakt messen \rightarrow ein **Quanten-Tiltmeter**

Beispiel 2: Cäsium-Gravimeter

Konzept: räumliche Überlagerung: $\frac{1}{\sqrt{2}} |atom\ links\rangle + \frac{1}{\sqrt{2}} |atom\ rechts\rangle$



Höhenunterschied Δh lässt sich sehr exakt messen \rightarrow ein **Quanten-Tiltmeter**

Beispiel 2: Cäsium-Gravimeter

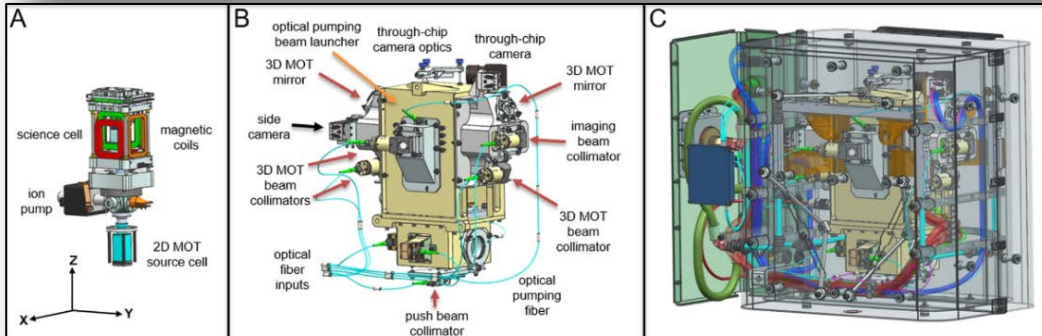
NASA ISS Atomchip platform

NEWS | JULY 27, 2018

Space Station Experiment Reaches Ultracold Milestone

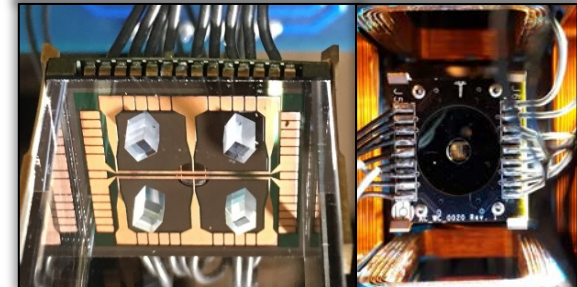
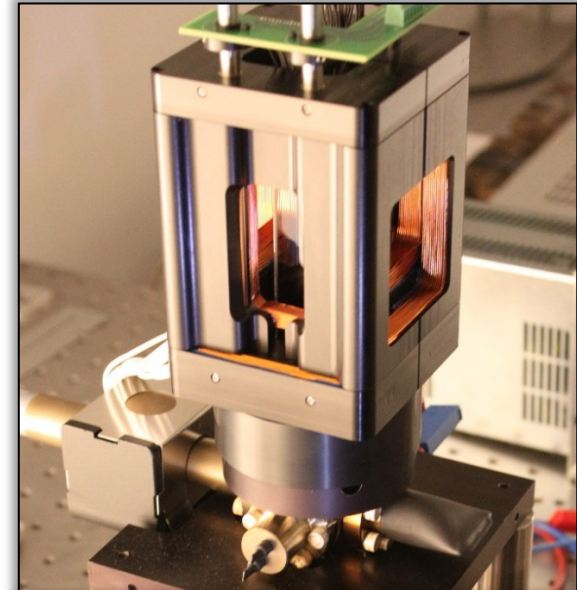


Taken from inside the Cupola on the International Space Station, this image shows the Northrop Grumman (formerly Orbital ATK) Cygnus spacecraft arriving at the station on May 24, 2018. The vehicle carried, among other things, NASA's Cold Atom Laboratory. Credit: NASA



in Zusammenarbeit mit ColdQuanta (Boulder)

TU Wien System



TU Wien Beitrag:

- Micro-Optik-Elemente
- integrierte MW Antennen

Quantenmetrologie hä?

viel mehr auf www.quantummetrology.at



Fragen

- jetzt gleich?
- nachher im „breakout room“
- an thorsten.schumm@tuwien.ac.at

Theoretische Quantenoptik

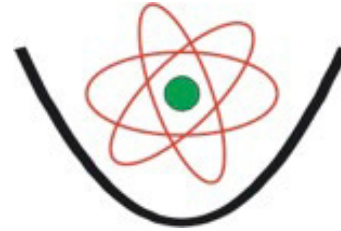
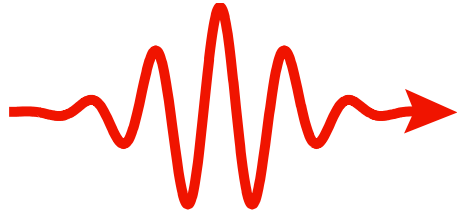


Peter Rabl

6. Stock, gelb



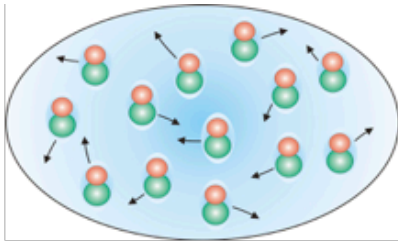
Was ist Quantenoptik ?



*Licht-Materie-Wechselwirkungen mit einzelnen Atomen und **Photonen**:*

- *Spektroskopie*
- *Laserkühlen und Fangen von Atomen*
- *Nichtklassische Lichtfelder & Verschränkung*
- ...

Was ist Quantenoptik ?

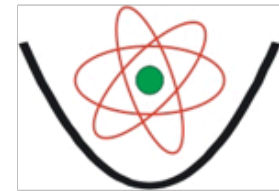
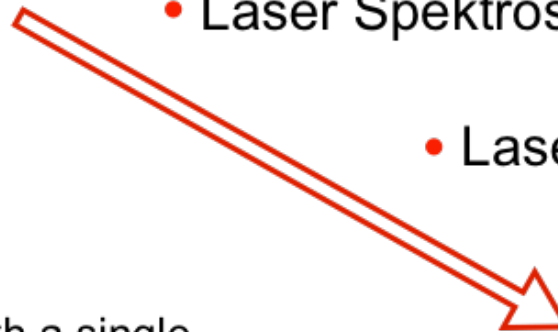


Materie = Atome
Licht = Photonen

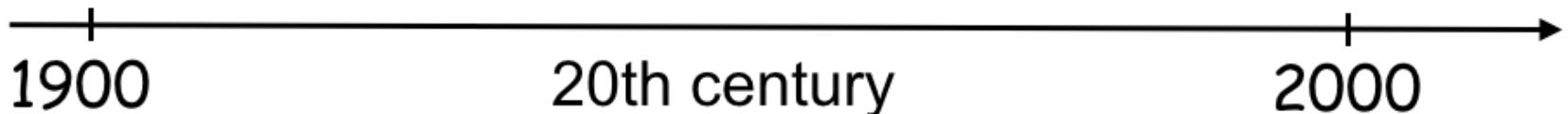
“We never experiment with a single electron or atom” (E. Schrödinger 1952)

- Laser Spektroskopie

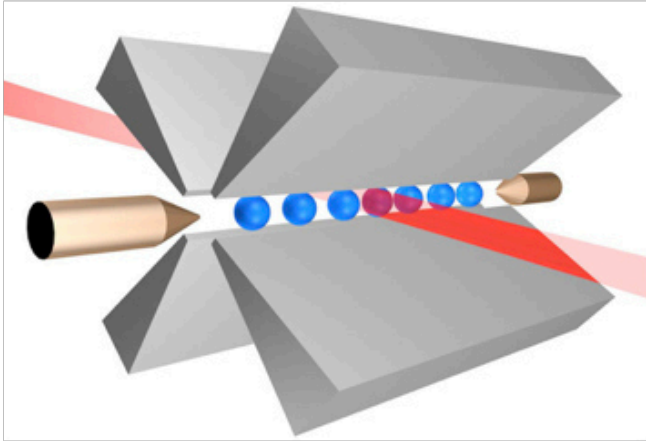
- Laserkühlen & Atomfallen



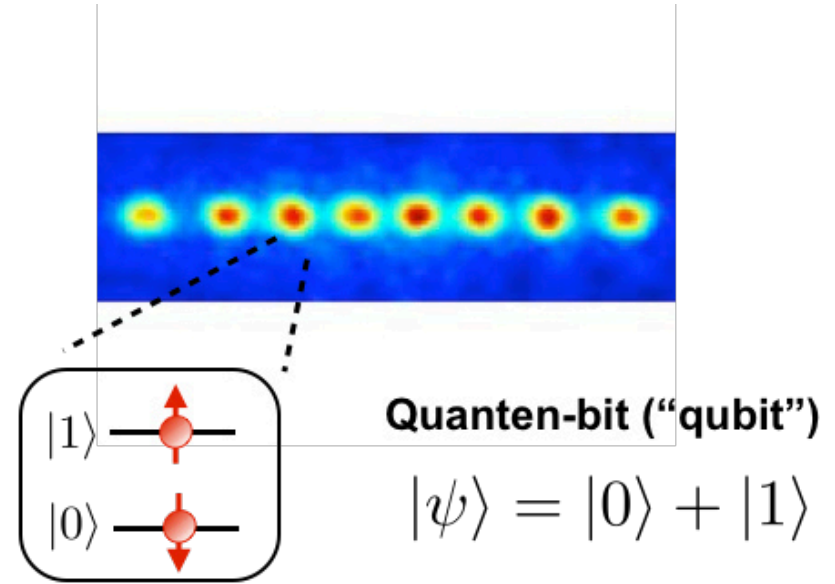
... Experimente mit **einzelnen** Quantensystemen !!



Anwendungen

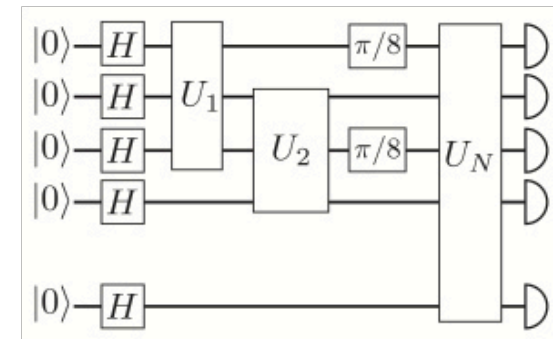


Ionenfallen (z.B Innsbruck, NIST,...)

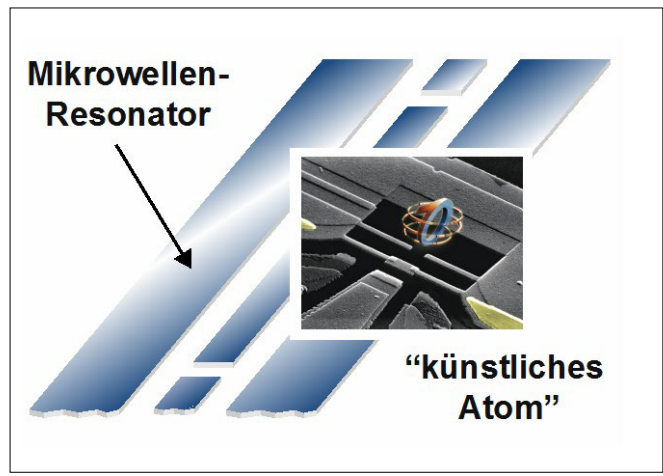
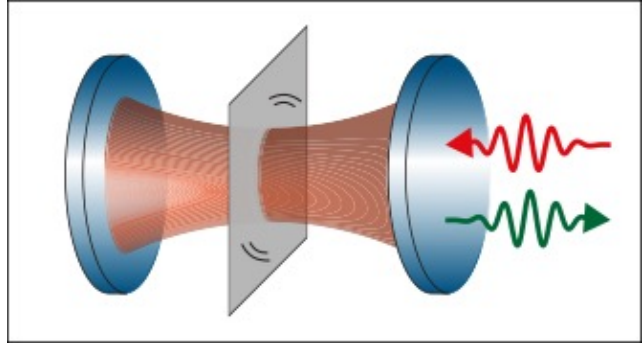
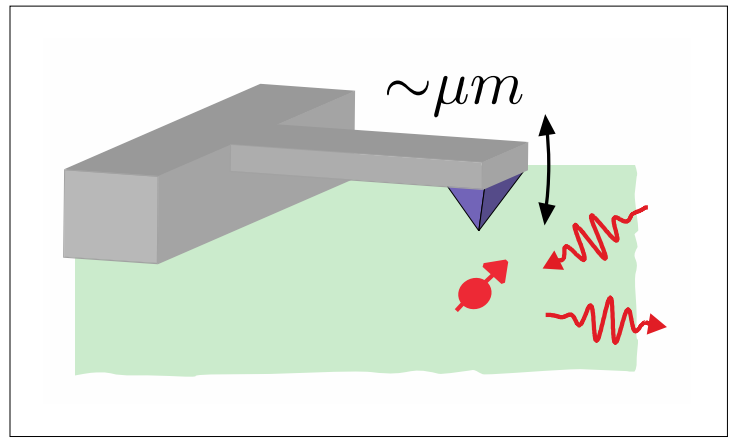
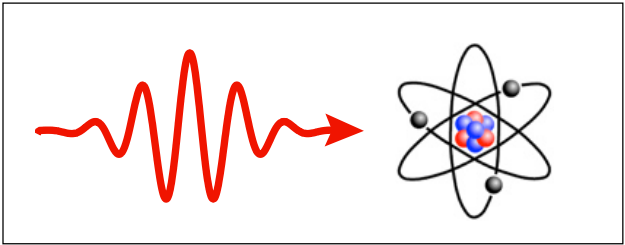


Neue Q-Technologien:

- Quantencomputer & Quantensimulation
- abhörsichere Quantenkommunikation
- Senortechnologie, ...

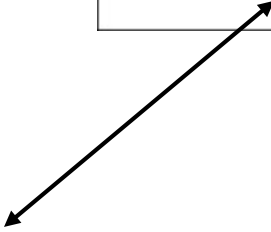
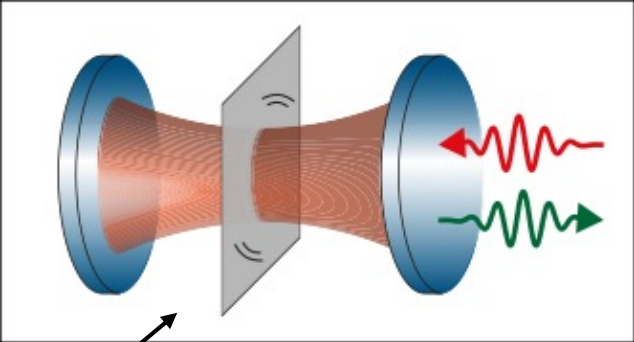
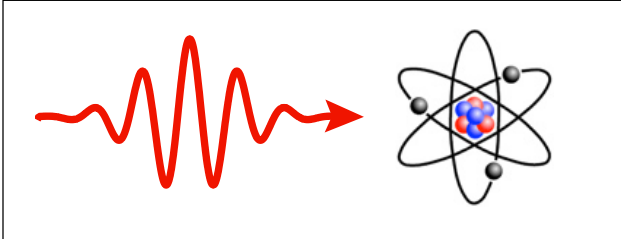


Unsere Forschung ...

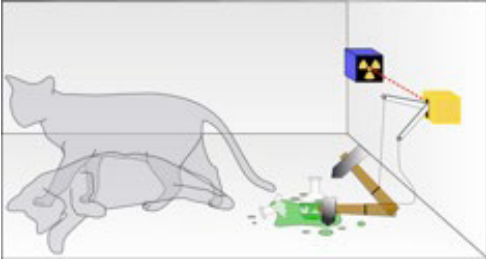


Quantenoptik mit „makroskopischen“ und „künstlichen“ Systemen

Mikro- und nanomechanische Resonatoren...



$\sim 10 \mu\text{m}$



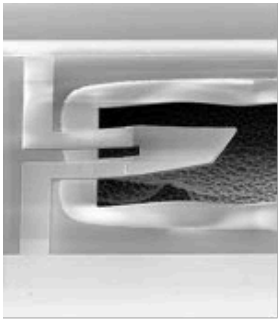
mikroskopisch

10^{12} Atome

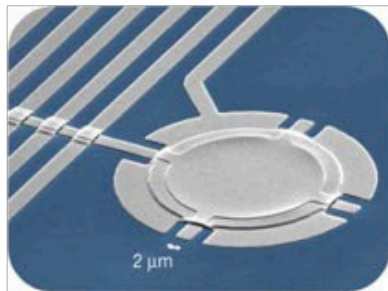
makroskopisch

Quantenmanipulation von markoskopischen Objekten?

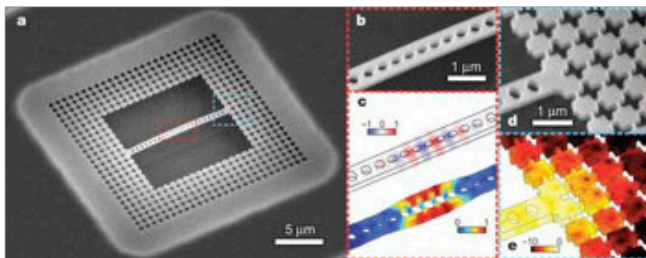
Makroskopische Objekte im Quantenregime ...



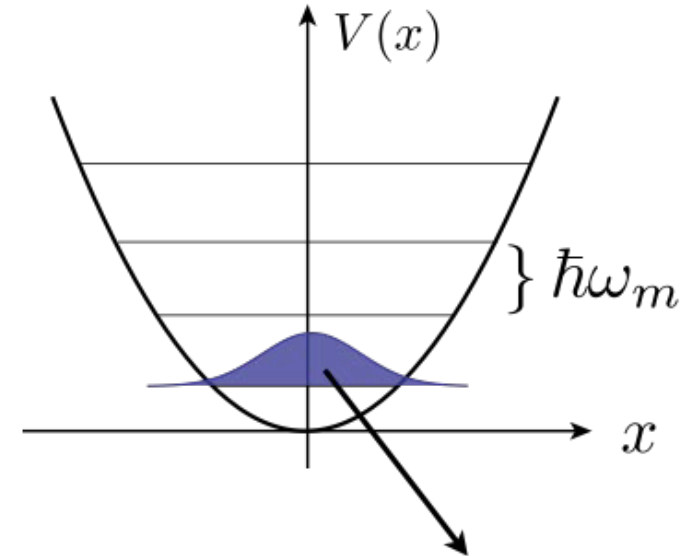
O'Connell *et al.*,
Nature **464**, 697 (2010)



Teufel *et al.*,
Nature **471**, 204 (2011)



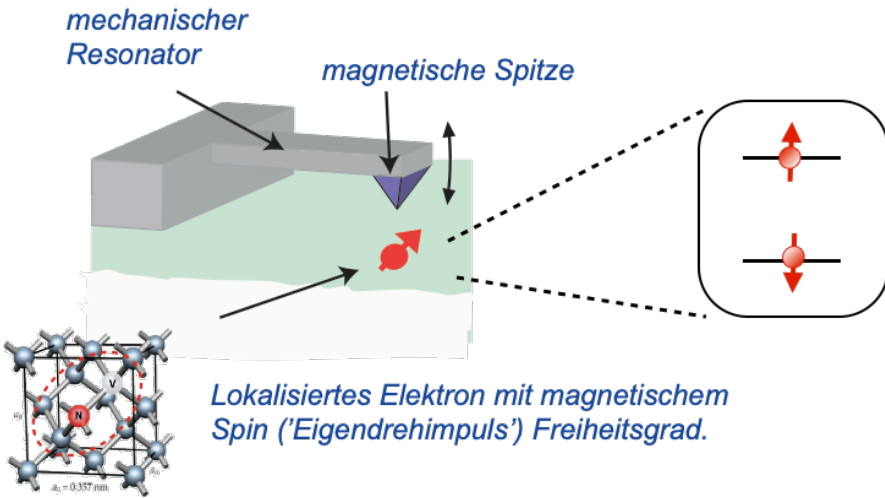
Chan *et al.*,
Nature **478**, 89 (2011)



quantenmechanischer
Grundzustand

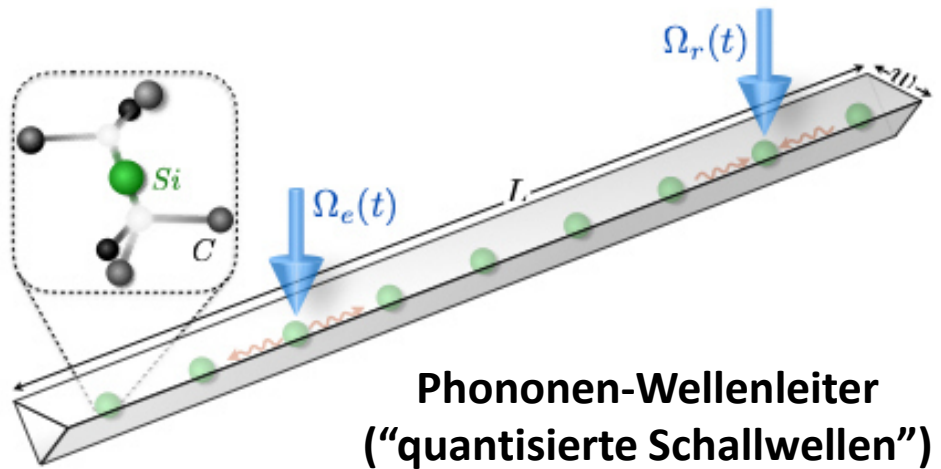
$$T \approx 50 \mu\text{K}$$

Makroskopische Objekte im Quantenregime ...



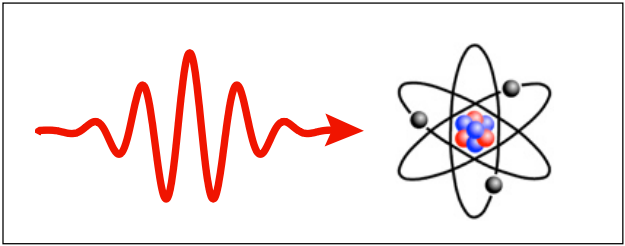
Quanten-Superposition?

Mechanische Quantennetzwerke ?



Supraleitende Schaltkreise

supraleitende "künstliche Atome"



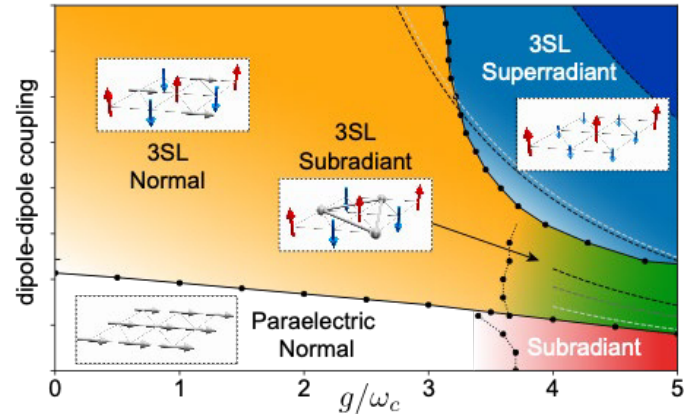
schwache Kopplung

$$a \sim 10^5 a_B$$



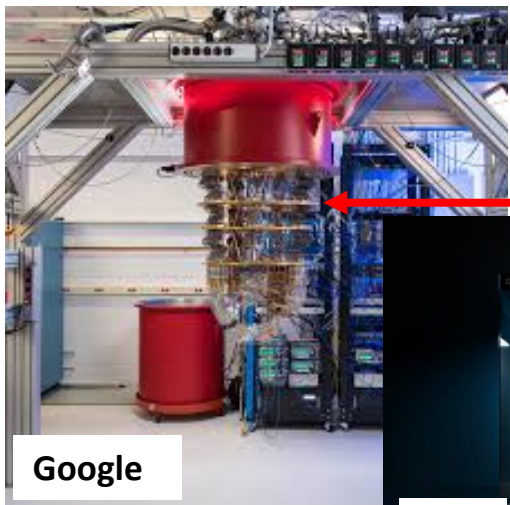
"ultra-starke" Kopplung

(nicht-perturbative QED)

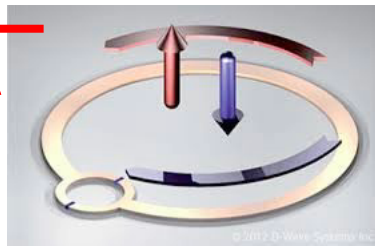


Neuartige Licht-Materie Zustände und Phasenübergänge.

Supraleitende Schaltkreise

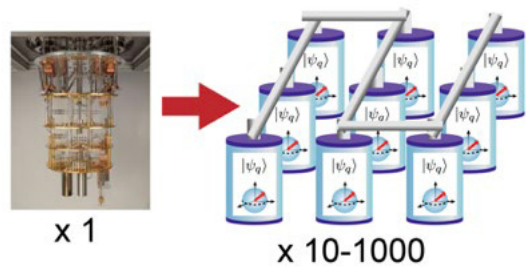


supraleitende "Quanten-Bits"



Quantencomputer & Quantensimulatoren:

- *ultraschnelle Quantengatter*
- *Quanten-Netzwerke*
- *neuartige Vielteilchensysteme*

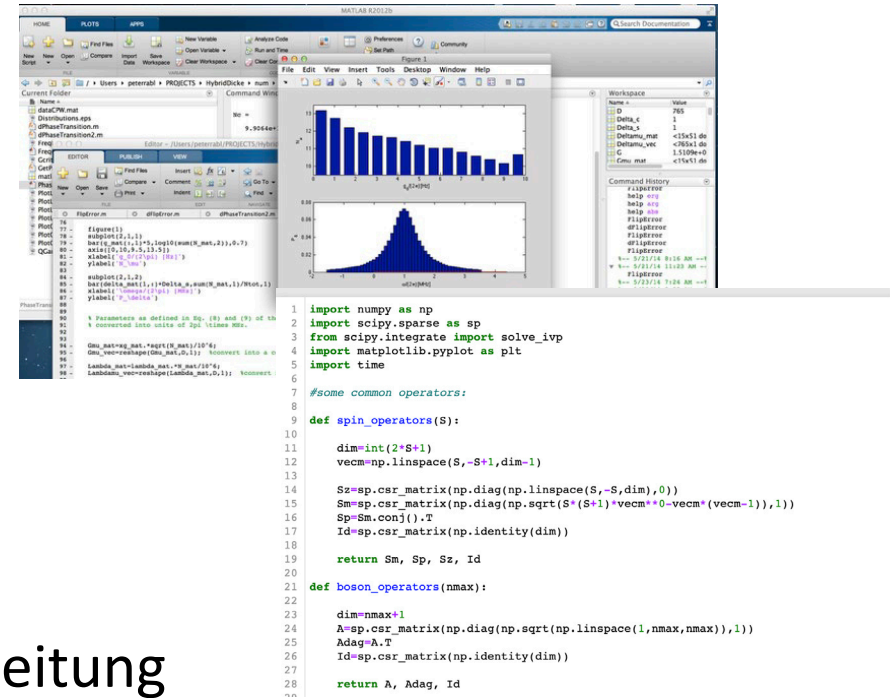


Bachelor-, Projekt- und Masterarbeiten

1) Theoretische Grundlagen (z.B. Modellierung dissipativer Quantensysteme)

$$\dot{\rho} = -i[H, \rho] + \frac{\Gamma}{2} (2\sigma_- \rho \sigma_+ - \{\sigma_+ \sigma_-, \rho\})$$

2) Numerische Simulationen (z.B. MATLAB, Python)



Aktuelle Fragestellungen zu

- Optomechanik,
- Cavity & circuit QED,
- Quanteninformationsverarbeitung

Das war's!

- **Vorlesungen**

- Statistische Physik I & II
- Quantenoptik I&II / Theoretical Quantum Optics
- Quantentechnologie I&II
- ...

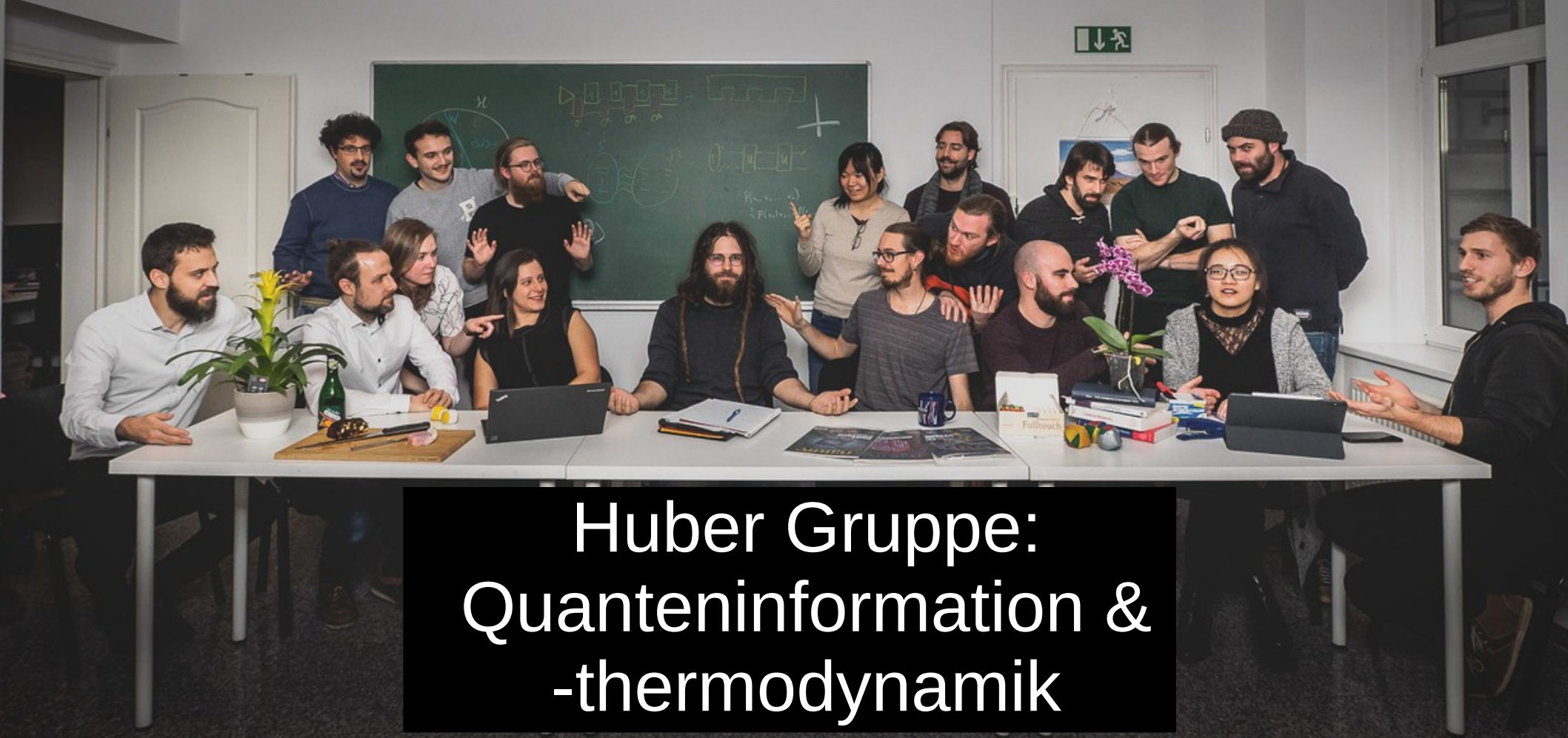
- **Projekt-, Bachelor- & Masterarbeiten**

- bei Interesse, einfach melden (**Freihaus, gelb, 6. Stock**)

- **Weitere Fragen ?**

email: peter.rabl@ati.ac.at

webpage: <http://ati.tuwien.ac.at/tqo>



Huber Gruppe: Quanteninformation & -thermodynamik

- Seit Dezember 2020 an der TU (davor IQOQI)
- Gruppenleiter: Marcus Huber (Vertretung heute: Felix Binder)
- Hauptsächlich Theorie
- 6 Promovierende (+2 zu Besuch), 11 Postdocs
- Hauptthemen:
 - Quantenthermodynamik
 - Verschränkung (v.a.: multipartite, hochdimensional)
 - Quanteninformationstheorie



Quantenthermodynamik

Grundlagen der der Quantenthermodynamik,
z.B.:

- Optimales Kühlen und Landauer-Löschen
- Quantenbatterien
- Autonome Quantenuhren
- Energetik von Quantenmessungen
- Thermodynamische Kosten von Korrelationen

Verschränkungstheorie

Vor allem hochdimensional und multipartite,
z.B.:

- Zertifizierung von hochdimensionaler Verschränkung
- Vielteilchenverschränkung in Ionenfallen
- Entropieungleichungen

Weitere Themen

- Quantenprozesse:
 - Kausalität in der Quantenmechanik
 - Nicht-markovsche Prozesse
 - Quantensimulation von stochastischen Prozessen
- Quantenmetrologie
- Quantenoptik (Theorie und Experimente!)
- Quantenresourcentheorien
- ‘quantum speed limits’ und Quantenkontrolle
- Quantencomputer (z.B. ‘measurement-based’)
- Maschinelles Lernen für Quantensysteme

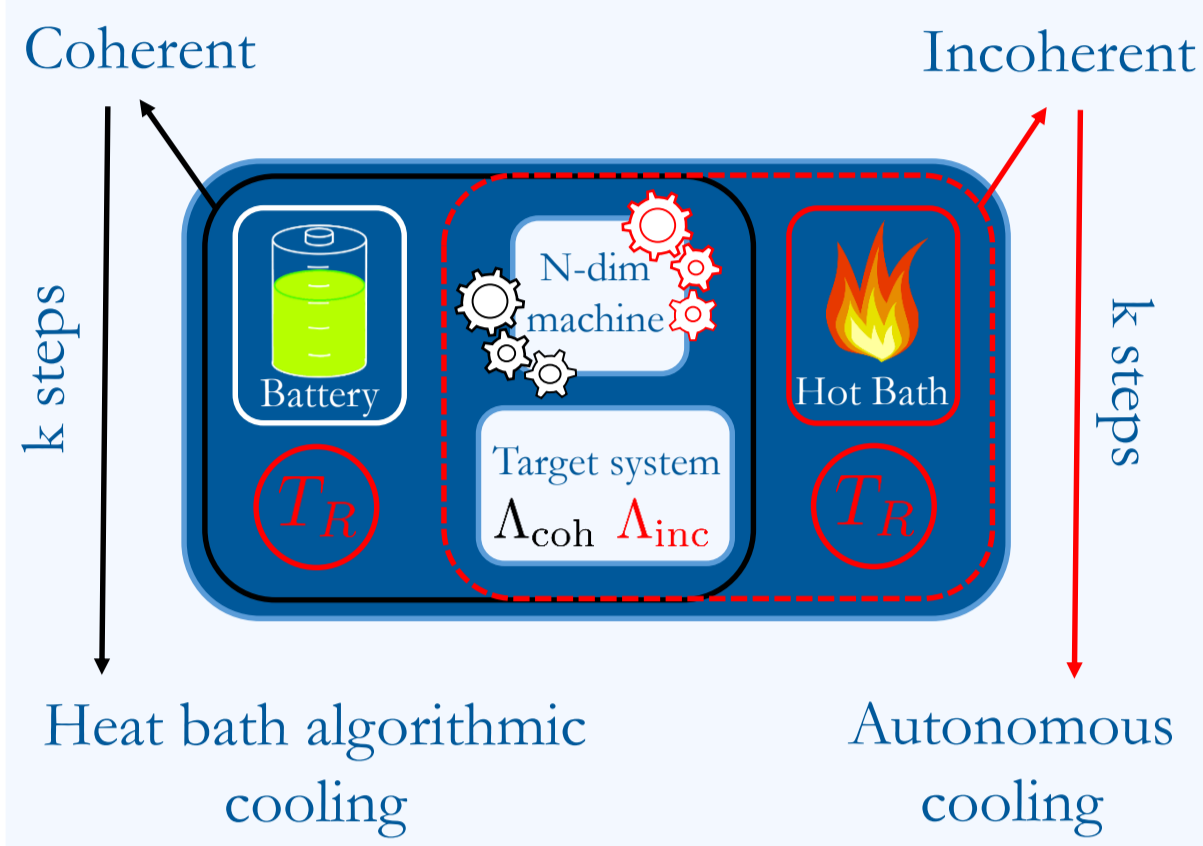
Weitere Infos

- Verschiedene BSc, MSc, Dr Themen verfügbar
- Weitere Infos:
 - Website (tuwien.ac.at → Suche)
 - Pdf-Version (Poster-Anhang)
- Anfragen:
 - marcus.huber@tuwien.ac.at oder marcus.huber@oeaw.ac.at (in Karenz bis Mai)
 - bzgl. Präsentation: quantum@felix-binder.net

Quantum Thermodynamics

Quantum thermodynamics is comprised of multiple research directions originating from different areas of physics [1]: from the emergence of equilibrium [2], characterization and quantification of work [3], and foundational derivations of thermodynamic laws, to the study of machines working at the quantum scale [4,5,6,7]. Our group works across these topics and one of our foci is the unification of approaches and, with it, the resolution of paradoxes that arise within different treatments of these questions. In particular, we are interested in understanding the emergence of a classical world and the resources for harnessing quantum effects by studying measurements [8,9] and their underlying correlations [12,13] from a thermodynamic perspective, complementing resource theoretic approaches by notions of complexity [6,12-16], and building models of relevant quantum machines to see which could ultimately harness out-of-equilibrium resources to perform useful tasks [14,15].

Refrigeration [6,7]



- Target system initially in ρ_S : thermal at T_R
- In each cycle, machine initially in ρ_M (thermal at T_R) or $\rho_M^{(H)}$ (part at T_R , part at T_H)
- Compare 2 refrigeration scenarios:
 - Coherent:** $\Lambda_{\text{coh}}(\rho_S) := \text{Tr}_M[U_{\text{coh}}\rho_S \otimes \rho_M U_{\text{coh}}^\dagger]$ for any unitary U_{coh}
 - Incoherent:** $\Lambda_{\text{inc}}(\rho_S) := \text{Tr}_M[U_{\text{inc}}\rho_S \otimes \rho_M^{(H)} U_{\text{inc}}^\dagger]$ for energy cons. unitary U_{inc}
- Allow for repeated cycles & rethermalization

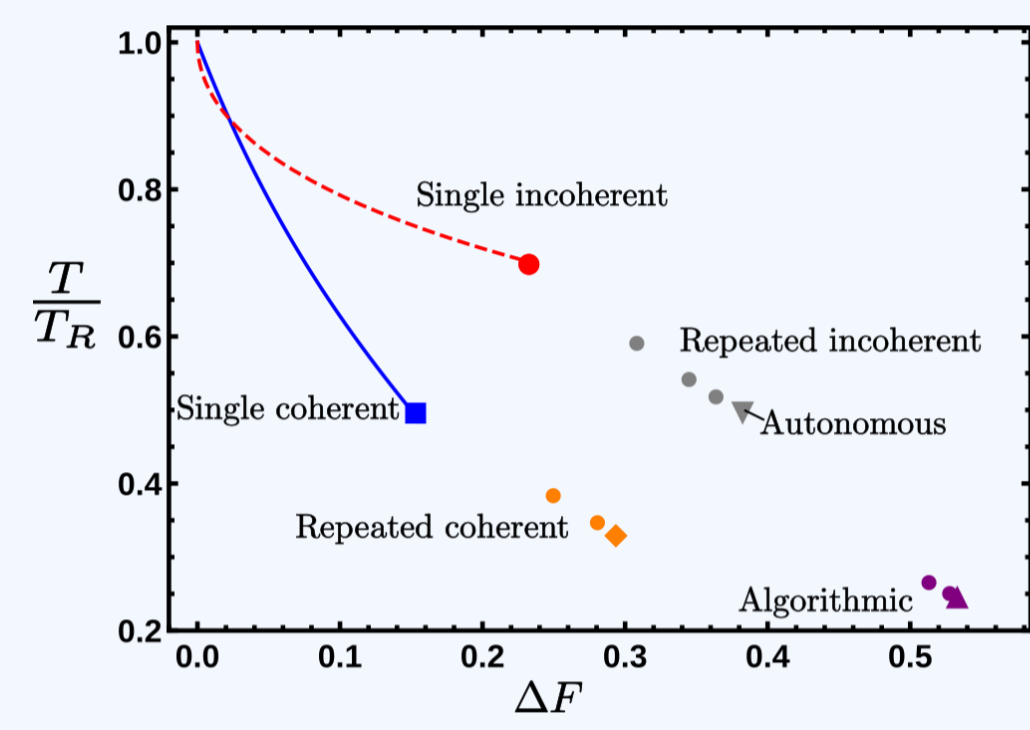
Results:

- 2-qubit machine (B,C) and qubit target (S) with $E_S = E_B - E_A$
- Arbitrary machine and target:

Theorem: In both scenarios for unbounded cycles, ground state cooling is upper bounded by

$$\rho_S^* = \left(\sum_{n=0}^{d_S-1} (\exp -\beta_R \mathcal{E}_{\text{max}})^n \right)^{-1},$$

with $d_S = \text{dim. of system}$, $\mathcal{E}_{\text{max}} = \text{max. energy gap of machine}$, $\beta_R = 1/T_R$.



Non-Ideal Measurements [8,9]

Apparent **conflict** between **QM Projection Postulate** & **3rd Law of Thermodynamics**

Pure post-measurement state **vs.** **infinite resource costs** for reaching ground state

Model: Interaction between system ρ_S and initially mixed pointer τ_P : $\rho_S \otimes \tau_P \rightarrow \tilde{\rho}_{SP}$
 Outcomes: $|n\rangle\langle n|$ associated with pointer projectors Π_n

- Ideal measurements:**
 - (i) **Unbiased:** $\text{Tr}[\mathbb{I} \otimes \Pi_i \tilde{\rho}_{SP}] = \text{Tr}[|i\rangle\langle i|_S \rho_S] \forall i \forall \rho_S$
 - (ii) **Faithful:** $C(\tilde{\rho}_{SP}) := \sum_i \text{Tr}[|i\rangle\langle i| \otimes \Pi_i \tilde{\rho}_{SP}] = 1 \forall \rho_S$
 - (iii) **Non-invasive:** $\text{Tr}[|i\rangle\langle i|_S \tilde{\rho}_{SP}] = \text{Tr}[|i\rangle\langle i|_S \rho_S] \forall i \forall \rho_S$

Resolution: finite resources \rightarrow mixed pointer \rightarrow non-perfect correlations $C(\tilde{\rho}_{SP}) < 1$

Non-ideal measurements can be unbiased [7]



For **unbiased measurements** we can:

- maximize correlations: $C(\tilde{\rho}_{SP}) = C_{\text{max}}$
- minimize energy cost: $\Delta E = \Delta E_{\text{min}}$ \rightarrow Quantify energy cost of measurements
- minimize invasiveness: \rightarrow Relevant for work estimation: recover Jarzynski relation [8]

Quantum Batteries [10,11]

Task: Transfer energy ΔE to battery via unitary

- Battery initially empty \rightarrow no extractable work
- \rightarrow Initially thermal $\tau(\beta)$

Unitaries $U_\uparrow : \tau \mapsto \rho$ with $E(\rho) > E(\tau)$ generally exist but differ in properties of U_\uparrow and ρ , e.g.

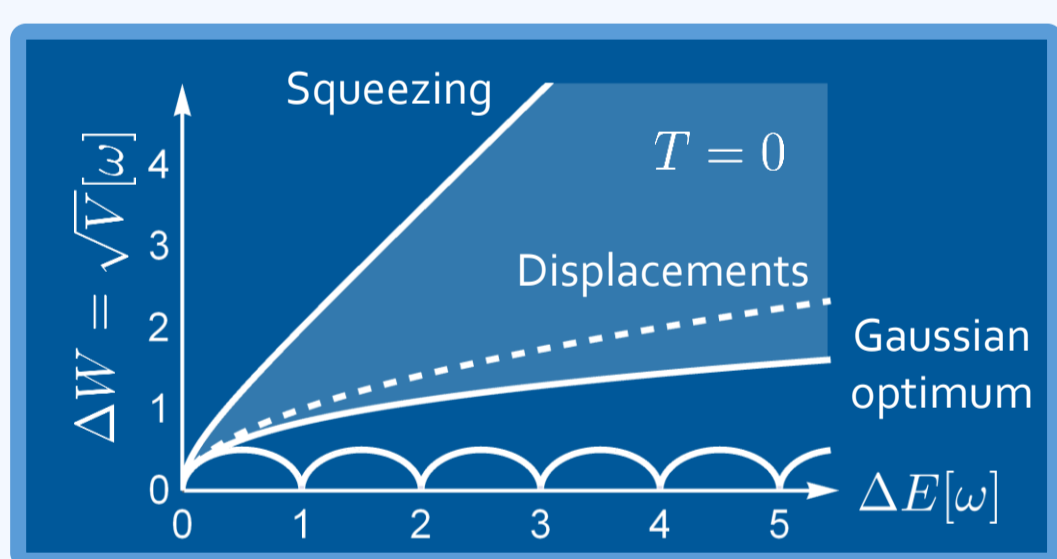
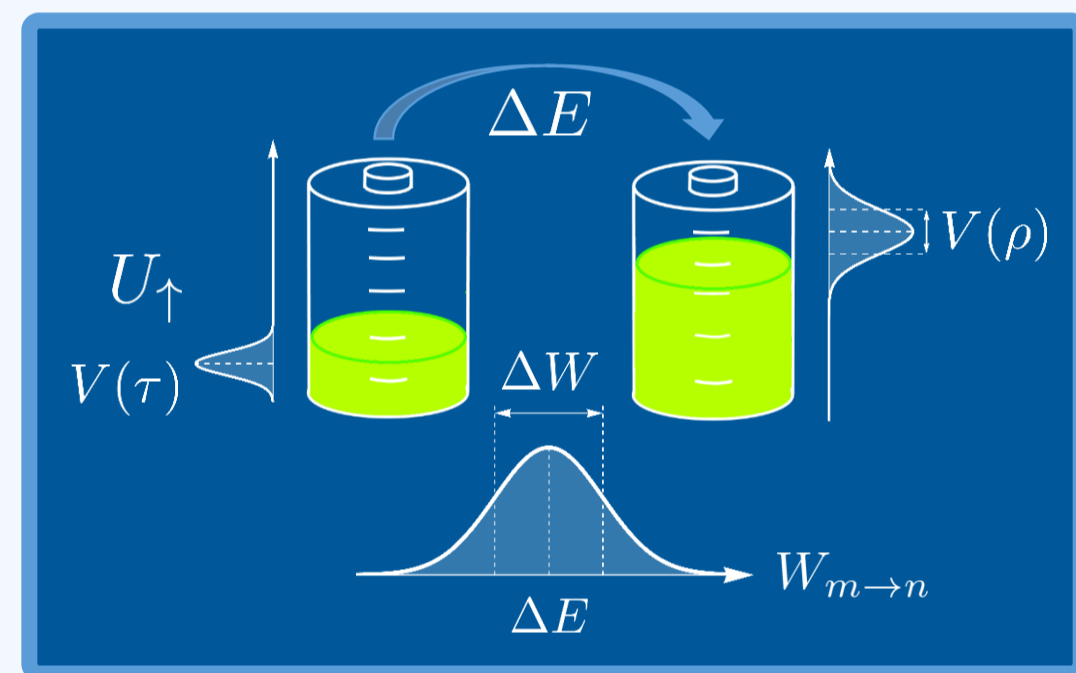
Precision (energy variance): $V(\rho) = (\Delta H_\rho)^2 = \langle H^2 \rangle_\rho - \langle H \rangle_\rho^2$

Work fluctuations $(\Delta W)^2 = \sum_{m,n} p_{m \rightarrow n} (W_{m \rightarrow n} - \Delta E)^2$ with $W_{m \rightarrow n} = E_n - E_m$ and transition probability $p_{m \rightarrow n} = p_m |\langle n | U_\uparrow | m \rangle|^2$ where $p_m = \langle m | \tau | m \rangle$

\rightarrow Interested in **Fundamental limits** vs. **practical limits** (e.g., Gaussian operations)

Results: for harmonic oscillator batteries

- Protocol for optimal precision charging
- Protocol for minimal fluctuation charging
- Optimal Gaussian precision & fluctuations
- Characterization of Gaussian work extraction for any $\rho \rightarrow$ Gaussian passivity



Optimal Creation of Correlations [12,13]

Fundamental limit for **energy cost** ΔE of creating **correlations**?

- System AB with initial uncorrelated thermal states at T
- Correlated by any unitary operation U_{AB}
- Hamiltonian: symmetric $H_A = H_B$ or asymmetric $H_A \neq H_B$

Mutual Information: $\mathcal{I}(\rho_{AB}) = S(\rho_A) + S(\rho_B) - S(\rho_{AB})$

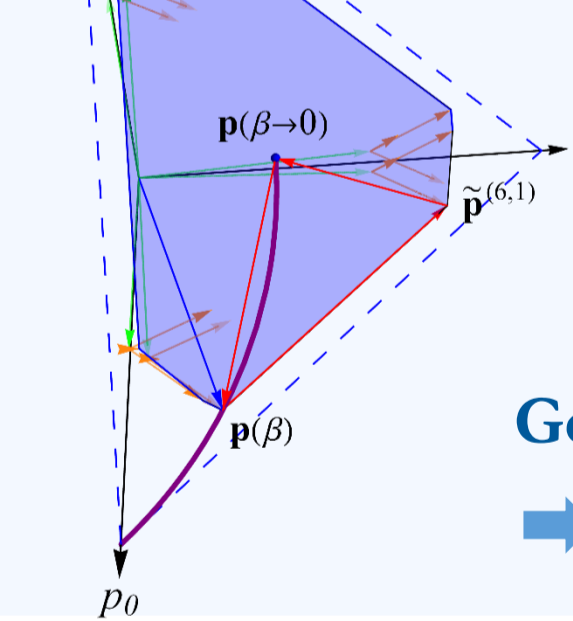
Energy cost: $E(\rho_{AB}) = \text{Tr}[\rho_{AB}(H_A + H_B)]$

Bound on the amount of created correlations: $\Delta \mathcal{I}(\rho_{AB}) \leq \beta \Delta E$

Optimal conversion in symmetric case if there exist **symmetrically thermalizing unitaries (STU)** U_{AB} for any $\beta_H \leq \beta$ such that

$$\rho_{A/B}^f = \text{Tr}_{B/A}[U_{AB}\tau(\beta) \otimes \tau(\beta)U_{AB}^\dagger] = \tau(\beta_H)$$

Note: STUs generally do not exist in asymmetric case.

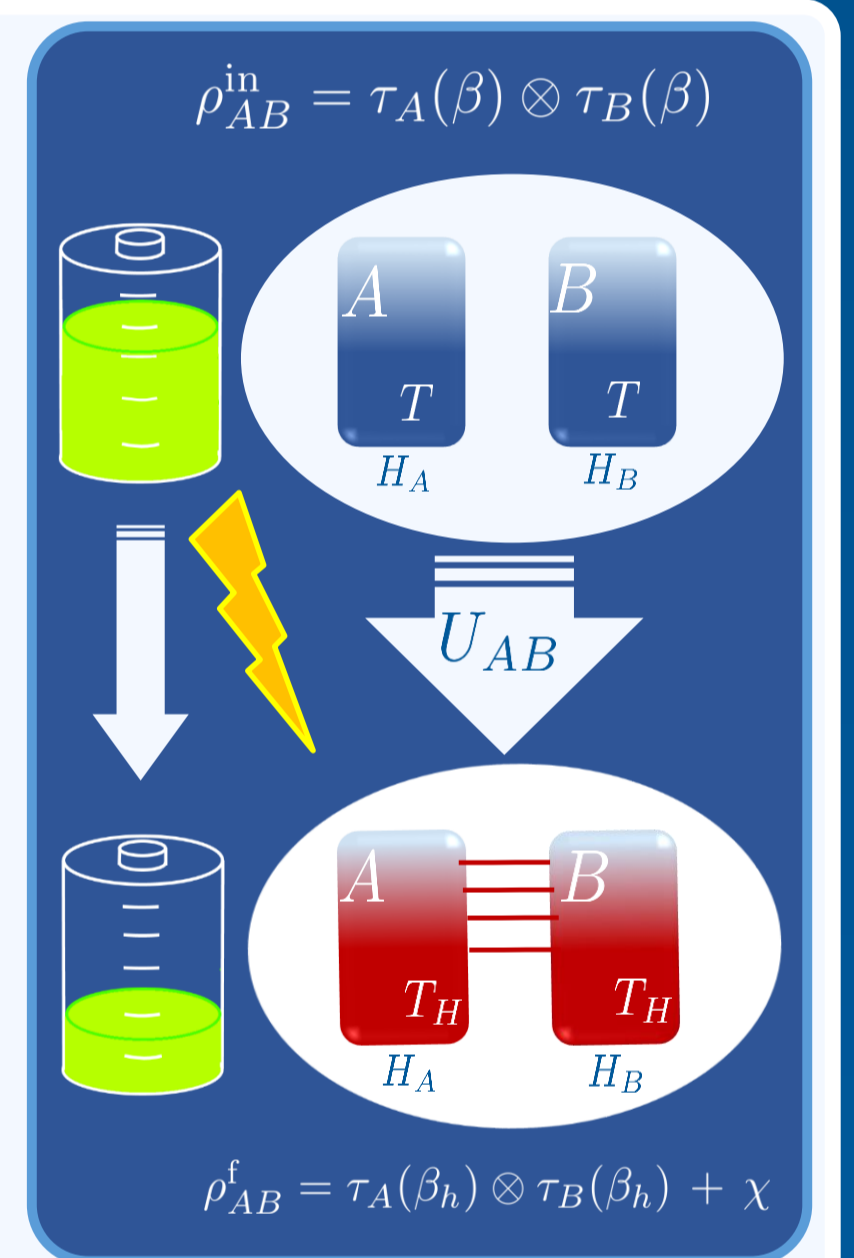


Method: decompositions into subspaces supporting only states with diagonal marginal \rightarrow vectorized marginals & tools from majorization theory

\rightarrow Existence of STU for any **equally spaced Hamiltonians**

Geometric Approach

\rightarrow Existence of STU for **any symmetric case** in dimensions $d = 3 \& 4$



Autonomous Quantum Clocks [14,15,16]

Fundamental bounds on how well we can measure time? What are the relevant resources?

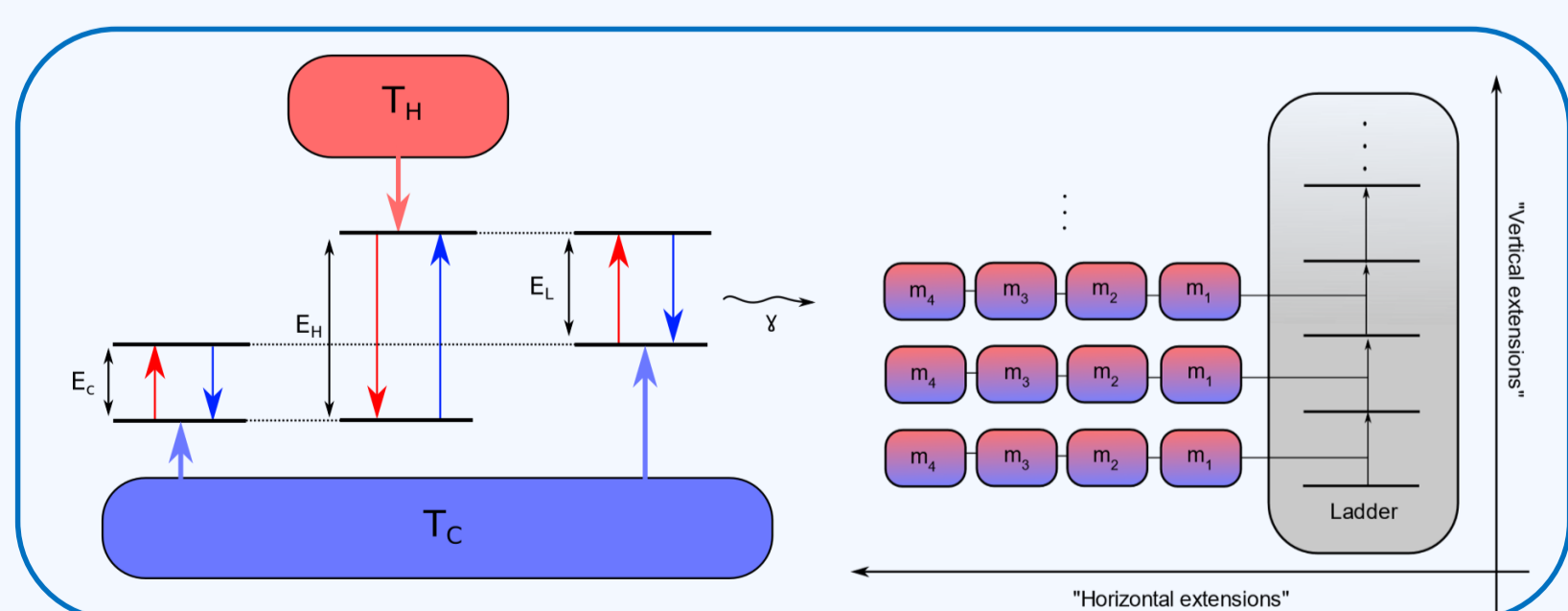
How do we measure time?

- Clocks: Continuously provide time reference
- Stop watch: Measures a time interval

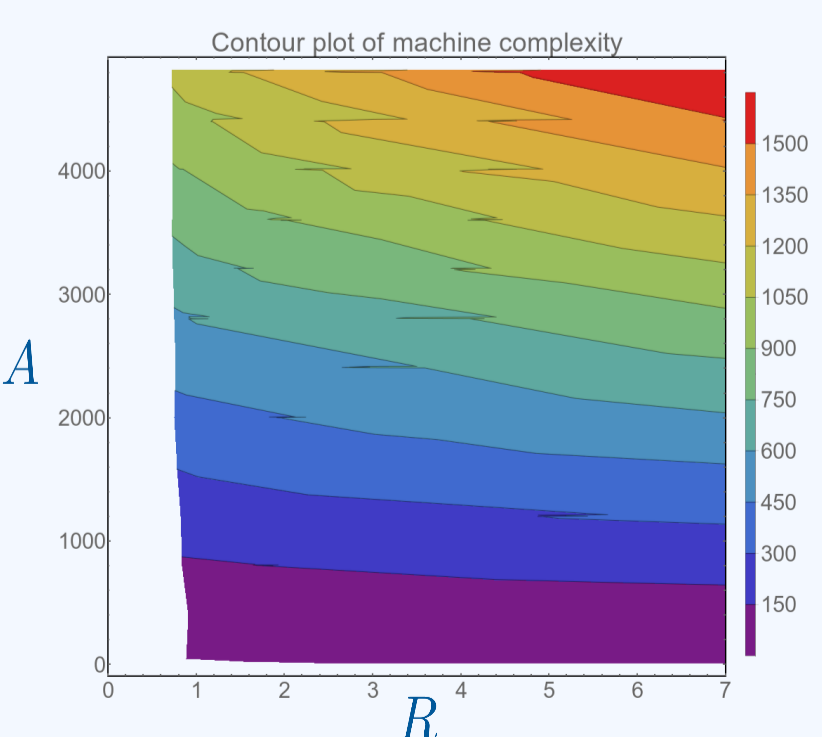
Autonomous clocks:

- Thermally driven without external control
- Allow fair book keeping of the resources used

The model:

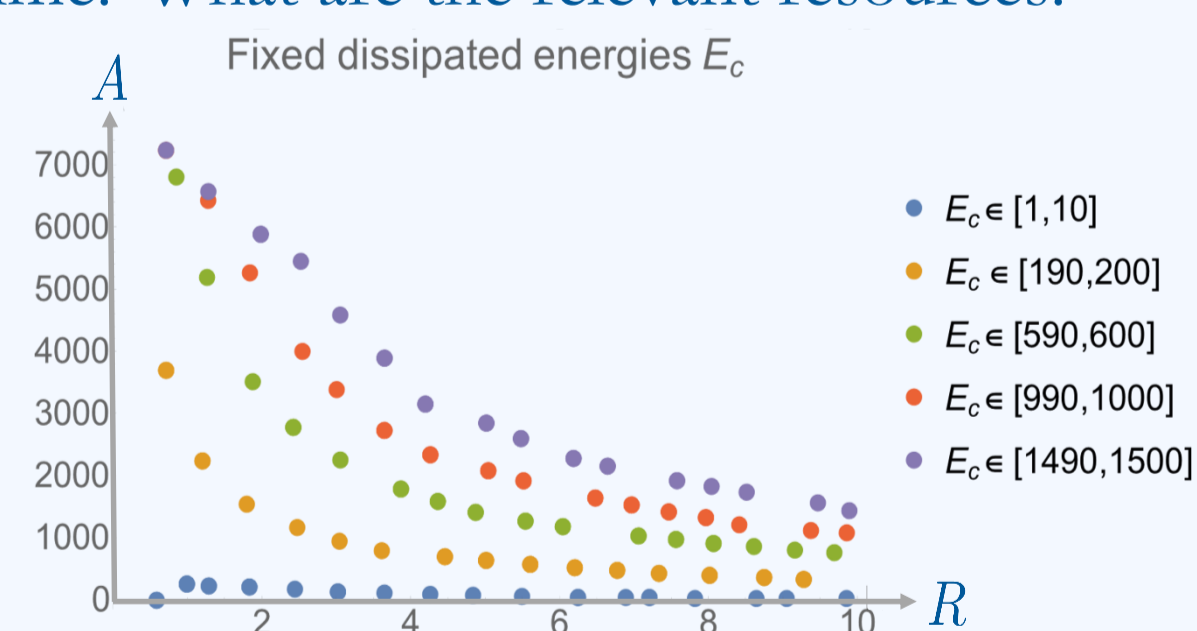


Figures of merit
 Resolution $R = 1/\bar{t}$
 Accuracy $A = (\frac{\bar{t}}{\Delta t})^2$



Fundamental limits:

- The *dissipated energy* limits the tick quality
- High tick quality requires high *clock complexity*



References

- [1] J. Goold, **M. Huber**, A. Riera, L. del Rio, P. Skrzypczyk, *J. Phys. A: Math. Theor.* **49**, 143001 (2016).
- [2] F. Anza, C. Gogolin, **M. Huber**, *Phys. Rev. Lett.* **120**, 150603 (2018).
- [3] M. Perarnau-Llobet, E. Bäumer, K. V. Hovhannisyan, **M. Huber**, A. Acín, *Phys. Rev. Lett.* **118**, 070601 (2017).
- [4] W. Niedenzu, **M. Huber**, E. Boukobza, *Quantum* **3**, 195 (2019).
- [5] M. Gluza, J. Sabino, N. H. Y. Ng, **G. Vitagliano**, M. Pezzutto, Y. Omar, I. Mazets, **M. Huber**, J. Schmiedmayer, J. Eisert, Quantum field thermal machines, arXiv:2006.01177.
- [6] **F. Clivaz**, R. Silva, G. Haack, J. Bohr Brask, N. Brunner, **M. Huber**, *Phys. Rev. Lett.* **123**, 170605 (2019) & *Phys. Rev. E* **100**, 042130 (2019).
- [7] **P. Taranto**, **F. Bakhshinezhad**, P. Schüttelkopf, **M. Huber**, *Phys. Rev. Appl.* (accepted, 2020).
- [8] Y. Guryanova, **N. Friis**, **M. Huber**, *Quantum* **4**, 222 (2020).
- [9] **T. Debarba**, G. Manzano, Y. Guryanova, **M. Huber**, **N. Friis**, *New J. Phys.* **21**, 113002 (2019).
- [10] E. Brown, **N. Friis**, **M. Huber**, *New J. Phys.* **18**, 113028 (2016).
- [11] **N. Friis** and **M. Huber**, *Quantum* **2**, 61 (2018).
- [12] **G. Vitagliano**, C. Klöckl, **M. Huber**, **N. Friis**, in: *Thermodynamics in the Quantum Regime*, Chapter 30, edited by **F. Binder**, L. A. Correa, C. Gogolin, J. Anders, and G. Adesso (Springer 2019).
- [13] **F. Bakhshinezhad**, **F. Clivaz**, **G. Vitagliano**, P. Erker, A. Rezakhani, **M. Huber**, **N. Friis**, *J. Phys. A: Math. Theor.* **52**, 465303 (2019).
- [14] P. Erker, M. Mitchison, R. Silva, M. Woods, N. Brunner, **M. Huber**, *Phys. Rev. X* **7**, 031022 (2017).
- [15] **E. Schwarzahns**, **M. P. E. Lock**, P. Erker, **N. Friis**, **M. Huber**, *Phys. Rev. X* **11**, 011046 (2021).
- [16] A. Pearson, Y. Guryanova, P. Erker, E. A. Laird, G. Briggs, **M. Huber**, N. Ares, arXiv:2006.08670.

This work was supported by the Austrian Science Fund (FWF) through the **START project Y879-N27**, the **Lise-Meitner project M 2462-N27**, the **stand-alone**

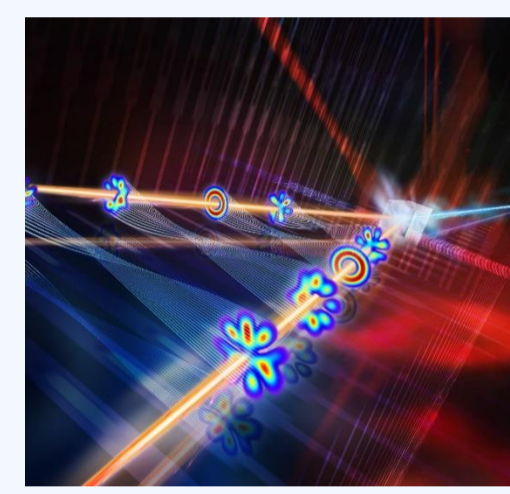
Entanglement in Modern Quantum Information

Quantum information has long focused on quantum bits (qubits) as fundamental units of information. Classical encoding of information is usually redundant, robust and fully controllable, rendering physical constraints less relevant and justifying a focus on information processing only. For quantum systems, on the other hand, physical constraints matter and redundancy through copying information is not an option, making direct encodings into multiple degrees of freedom an exciting option to push the limits of the field. Our group is concerned with understanding high-dimensional and multipartite systems and entanglement of quantum states therein, connecting theoretical concepts with experiments [1]: From characterizing [2] and efficiently certifying and controlling entanglement in high-dimensional [3-6] or multipartite systems [7], studying fundamental entropy inequalities in arbitrary dimensions [8,9], or proving genuine advantages of high-dimensional encodings [10], our group's efforts cover a wide range of aspects.

Certifying high-dimensional entanglement [3,4,5,6]

Theorem Every pure state is uniquely determined by measurements in Schmidt basis $\{|ij\rangle\}_{i,j}$ and one "tilted" basis $\{|\tilde{i}_k\tilde{j}_k\rangle\}_{i,j}$.

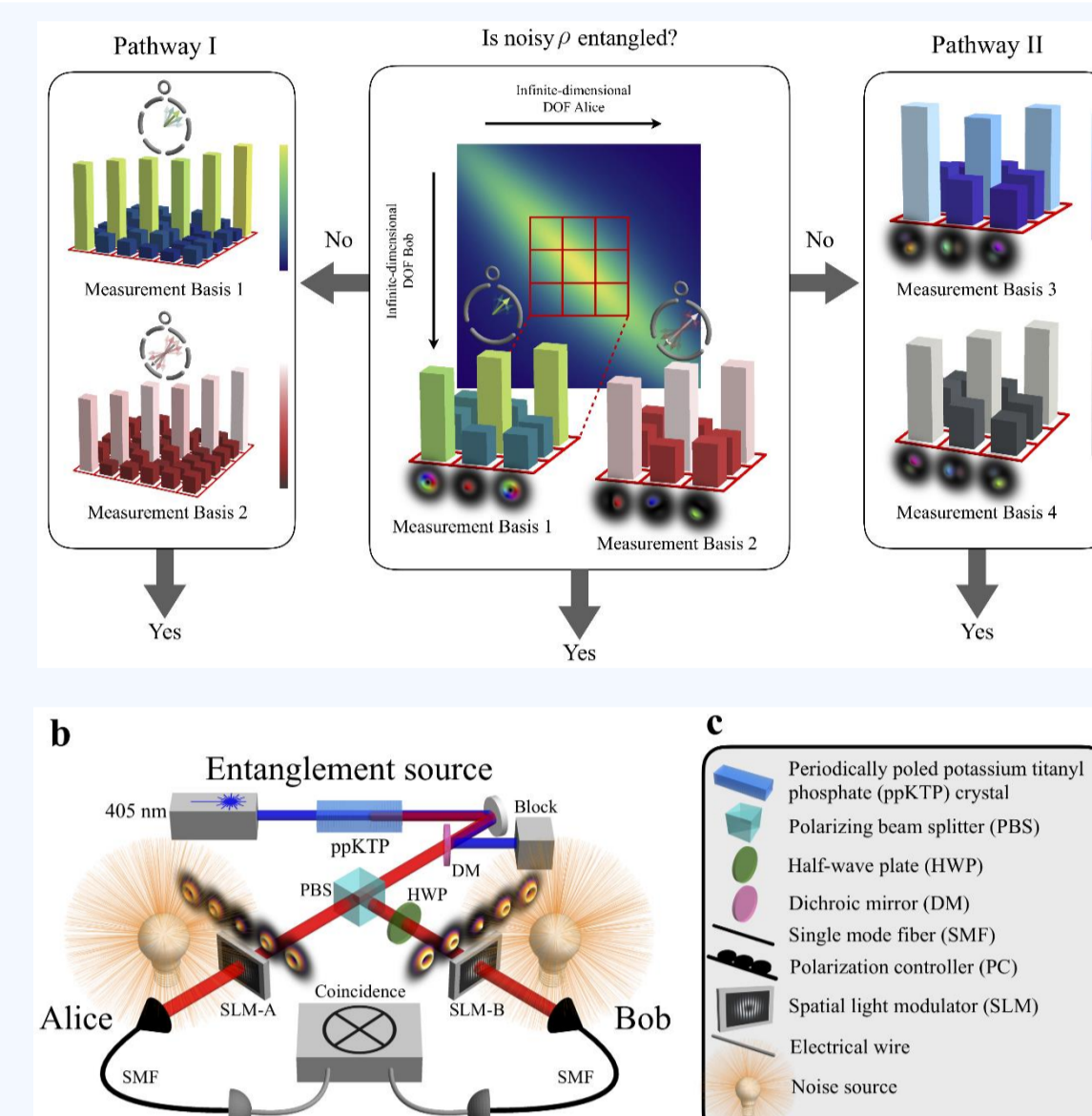
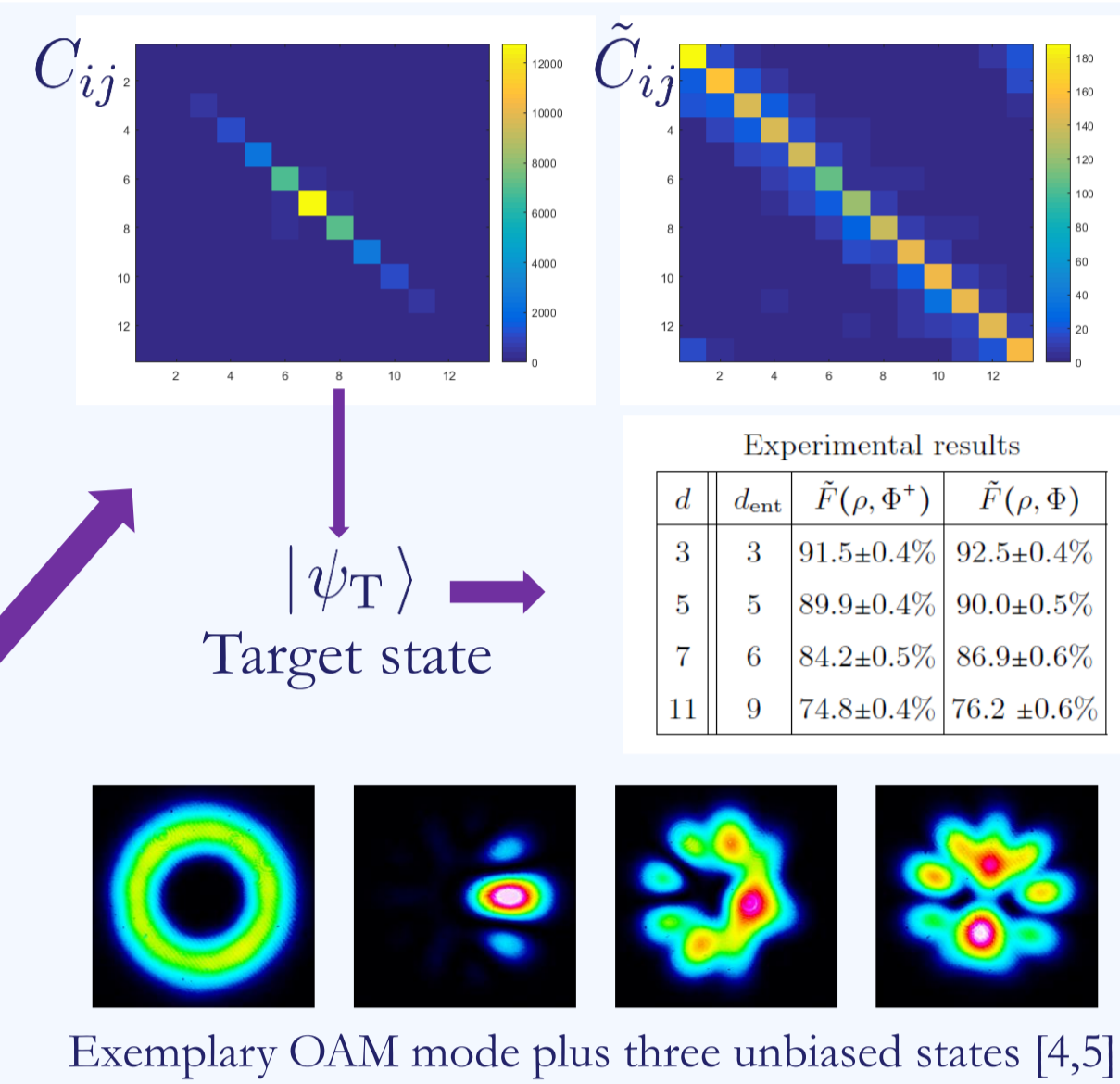
We can also use these two measurements to lower bound the target state fidelity for mixed states and use this bound to certify Schmidt number (Experiment b, [4])



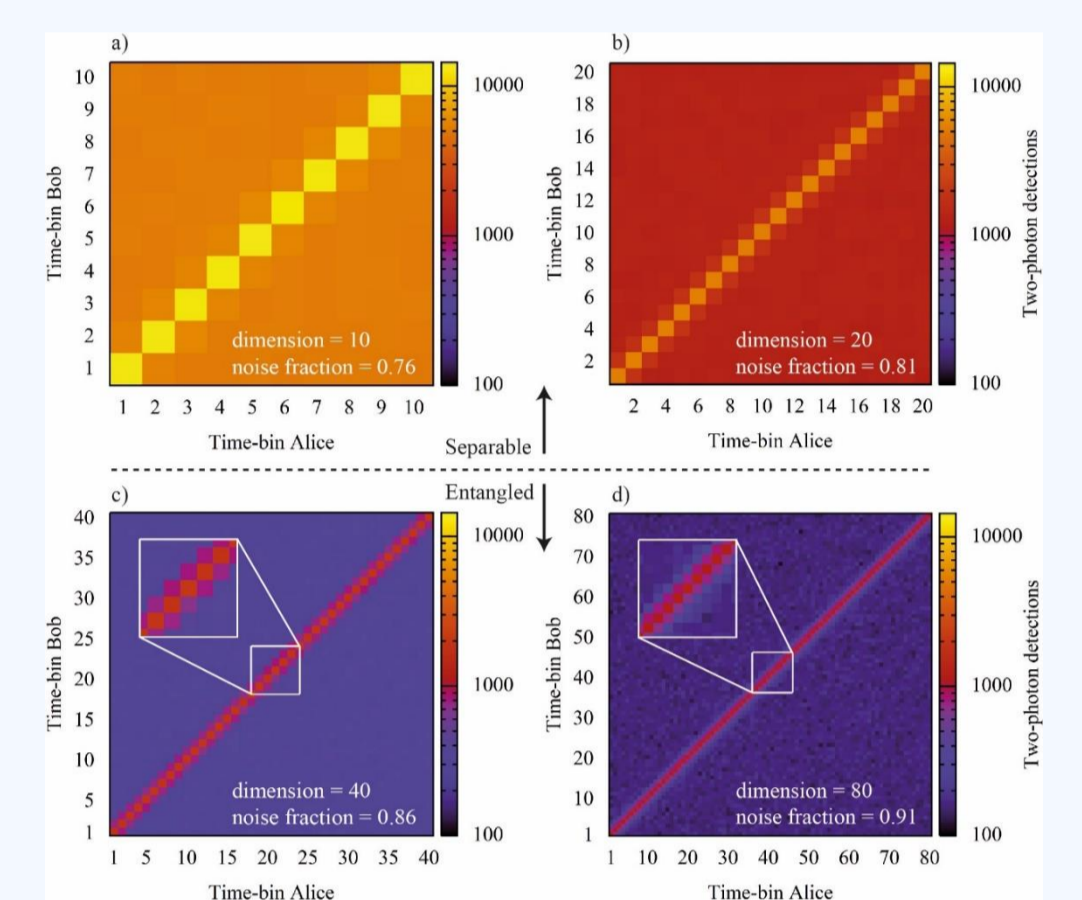
Measure: $C_{ij} = \langle ij | \rho | ij \rangle$ and $\tilde{C}_{ij} = \langle \tilde{i}_k\tilde{j}_k^* | \rho | \tilde{i}_k\tilde{j}_k^* \rangle$
 Bound fidelity: $f(C_{ij}, \tilde{C}_{ij}) \leq \mathcal{F}(|\psi_T\rangle, \rho)$
 Bound Schmidt number
 $k(\rho) = \inf_{\mathcal{D}(\rho)} \left\{ \max_{\psi_i \in \mathcal{D}(\rho)} \left\{ \text{rank}(\text{Tr}_B |\psi_i\rangle\langle\psi_i|) \right\} \right\}$

Results:

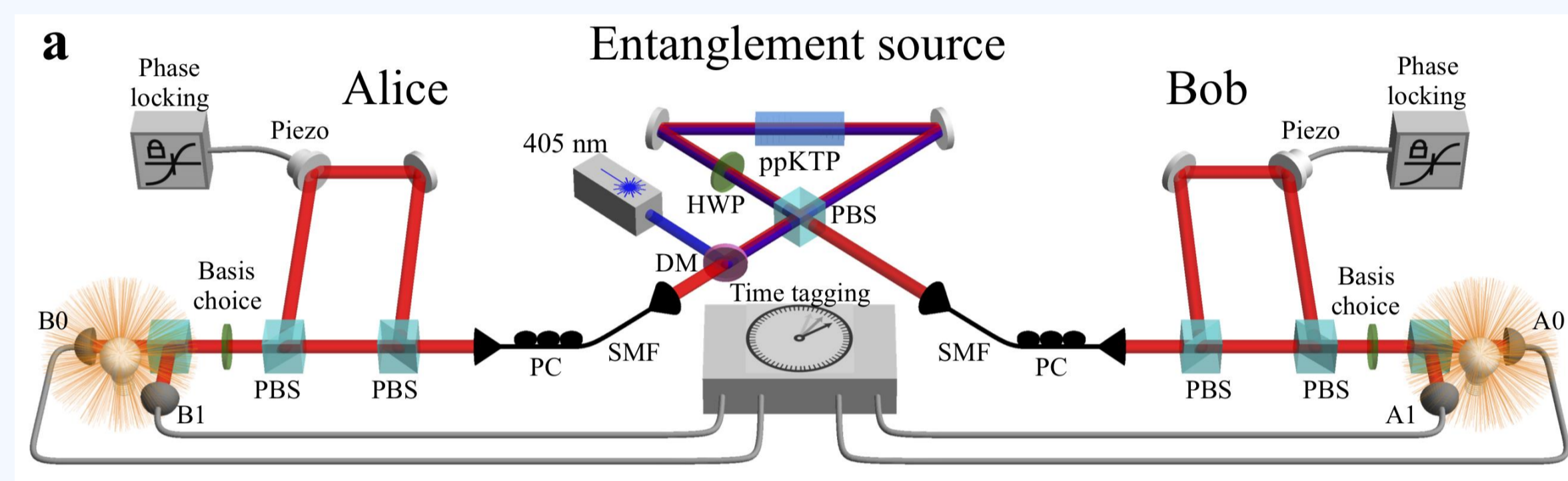
- Fidelity bounds obtained from measurements in M+1 global product basis:
 - Exact for dephased pure states with only two bases (M = 1)
 - Exact in prime dimensions for M = d
 - Free of assumptions about the state
- Schmidt number witness
 - Exact for all pure states and for dephased max. entangled states



Fine grain continuous variable entanglement to dilute the noise (Pathway I and experiment a [6]) and/or measure in additional bases (Pathway II and experiment b [4,6]), thus realizing a central promise of high-dimensional encoding: **resilience to noise**

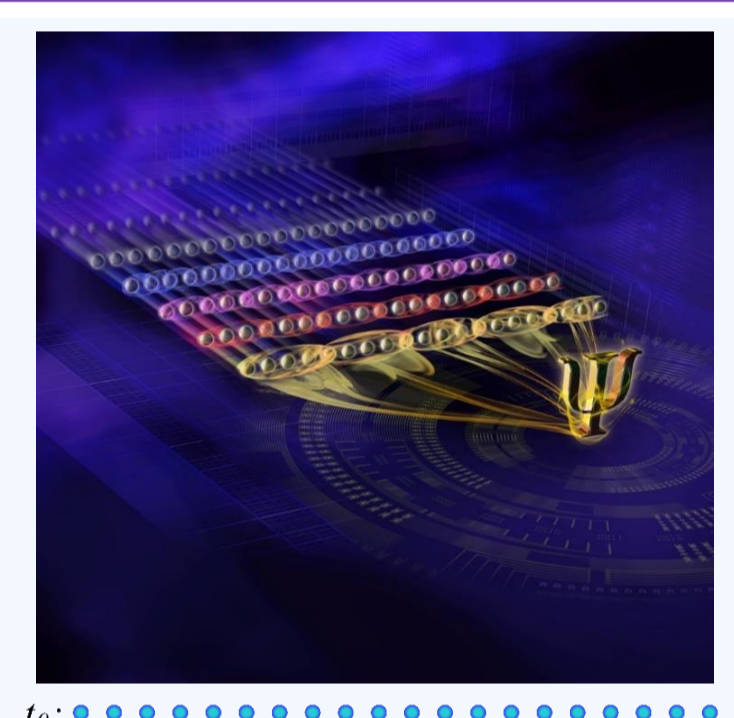


Experimental data of experiment b, showcasing the noise dilution that reveals entanglement by fine-graining the data (Pathway I).



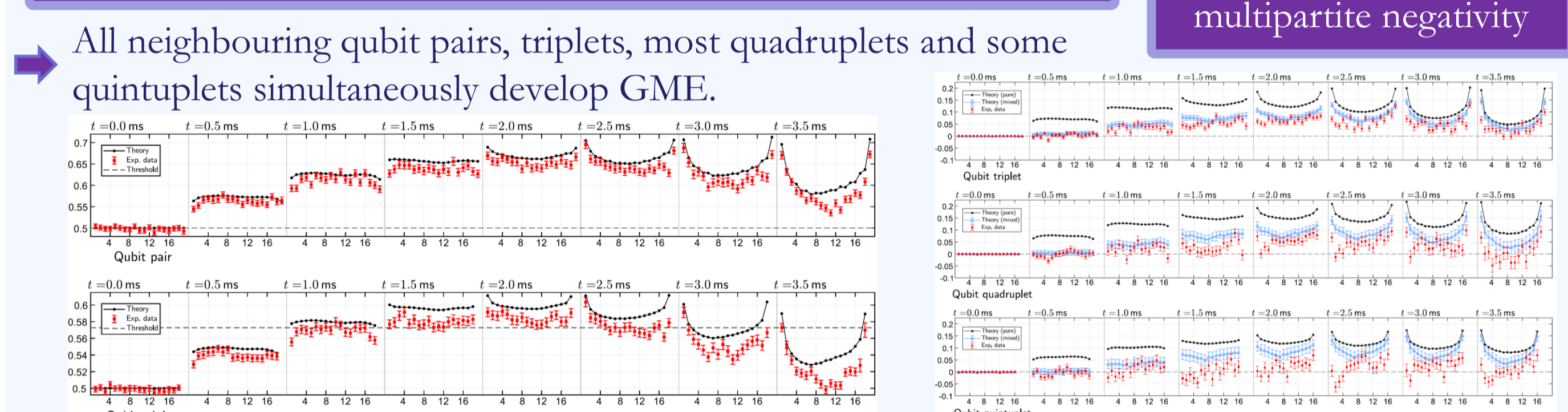
Multipartite Entanglement in Ion Traps [7]

Ion trap with 20 $^{40}\text{Ca}^+$ ions
 Experimental quantum simulation of an XY Hamiltonian
 Time evolution $|\psi(0)\rangle \rightarrow |\psi(t)\rangle = \exp(-iH_{XY}t) |\psi(0)\rangle$
 Complex multipartite entanglement structure
 Measurements in 3^3 global product bases for several time steps
Task: track multipartite entanglement dynamics from limited data



Approach (i) Average Bell Fidelities
 $\bar{\mathcal{F}}_{\text{Bell}}^{(k)} := \frac{1}{4b_k} \left(b_k + \sum_{i,j=1}^k (|\langle \tilde{X}_i \tilde{X}_j \rangle| + |\langle \tilde{Y}_i \tilde{Y}_j \rangle| + |\langle \tilde{Z}_i \tilde{Z}_j \rangle|) \right)$ with $\tilde{O}_i = U_i O U_i^\dagger$
 Quantum state of k qubits for which $\bar{\mathcal{F}}_{\text{Bell}}^{(k)} > \begin{cases} \frac{1}{12}(3 + \sqrt{15}) & \text{for } k=3 \\ \frac{1}{4}(1 + \sqrt{3}) - \frac{1}{2k}(\sqrt{3}-1) & \text{for } k \geq 4 \end{cases}$
 is GME for any choice of U_1, \dots, U_k .

Approach (ii) Numerical Search
 Based on genuine multipartite negativity



And much more...

- Thermal machines generating entanglement [11]
- Characterization of genuine multilevel entanglement [12]
- Entanglement between two spatially separated atomic modes [13]
- High-dim temporal mode entanglement in photon pairs encoded in temporal modes [14,15]



For more information on recent work in these directions see our recent review:
 [1] Entanglement certification from theory to experiment, *Nat. Rev. Phys.* **1**, 72 (2019).

Entropy Inequalities [8,9]

Linear entropy: $S_L(\rho) := 1 - \text{Tr}(\rho^2)$ is of interest for quantum information theory

- Useful for constructing entanglement witnesses
- Related to purity: $\gamma(\rho) = 1 - S_L(\rho)$
- Is an easy to calculate approximation to Von Neumann entropy
- Related to Rényi 2-entropy: applications in privacy amplification in quantum cryptography

Our approach: Exploit relation to Bloch decomposition $S_L(\rho) = 1 - \frac{1}{d} (1 + \|\vec{b}\|^2)$
 Use high-dim. & multipartite Bloch decomp. to derive tight dimension-dependent inequalities

Theorem 1 Let $\rho_{AB} \in \mathcal{H}_A \otimes \mathcal{H}_B$ be the state of a bipartite quantum system. Then:
Dimensionally sharp subadditivity: For $D_A = \frac{d_A-1}{d_A}$ and $D_B = \frac{d_B-1}{d_B}$

$$S_L(\rho_{AB}) \leq S_L(\rho_A) + S_L(\rho_B) - 2D_A D_B \left(1 - \sqrt{1 - \frac{S_L(\rho_A)}{D_A}}\right) \left(1 - \sqrt{1 - \frac{S_L(\rho_B)}{D_B}}\right)$$
 when $S_L(\rho_A) \leq D_A \left(\frac{S_L(\rho_B)}{D_B} - 1 + 2\sqrt{1 - \frac{S_L(\rho_B)}{D_B}}\right)$
Inhomogeneous subadditivity: $S_L(\rho_{AB}) \leq \frac{1}{d_B} S_L(\rho_A) + \frac{1}{d_A} S_L(\rho_B) + \frac{(d_A-1)(d_B-1)}{d_A d_B}$

Together, inequalities give a tight upper bound for $S_L(\rho)$ of a bipartite system of any dimension.

Theorem 2 Let $\rho_{ABC} \in \mathcal{H}_A \otimes \mathcal{H}_B \otimes \mathcal{H}_C$ be the state of a tripartite system. Then:
Strong inhom. subadditivity $S_L(\rho_{ABC}) + \frac{1}{d_A d_B} S_L(\rho_C) \leq \frac{1}{d_B} S_L(\rho_{AC}) + \frac{1}{d_A} S_L(\rho_{BC}) + \frac{d_A d_B + 1 - d_A - d_B}{d_A d_B}$

References

- [1] N. Friis, G. Vitagliano, M. Malik, M. Huber, *Nat. Rev. Phys.* **1**, 72 (2019).
- [2] M. Huber, L. Lami, C. Lancien, A. Müller-Hermes, *Phys. Rev. Lett.* **121**, 200503 (2018).
- [3] P. Erker, M. Krenn, M. Huber, *Quantum* **1**, 22 (2017).
- [4] J. Bavaresco, N. Herrera Valencia, C. Klöckl, M. Pivoluska, P. Erker, N. Friis, M. Malik, M. Huber, *Nat. Phys.* **14**, 1032 (2018).
- [5] F. Bouchard, N. H. Valencia, F. Brandt, R. Fickler, M. Huber, M. Malik, *Opt. Express* **26**, 31925-31941 (2018).
- [6] S. Ecker, F. Bouchard, L. Bulla, F. Brandt, O. Kohout, F. Steinlechner, R. Fickler, M. Malik, Y. Guryanova, R. Ursin, M. Huber, *Phys. Rev. X* **9**, 041042 (2019).
- [7] N. Friis, O. Marty, C. Maier, C. Hempel, M. Holzäpfel, P. Jurcevic, M. B. Plenio, M. Huber, C. Roos, R. Blatt, B. Lanyon, *Phys. Rev. X* **8**, 021012 (2018).
- [8] S. Morelli, C. Klöckl, C. Eltschka, J. Siewert, M. Huber, *Linear Algebra Its Appl.* **584**, 294 (2020).
- [9] P. Appel, M. Huber, C. Klöckl, *J. Phys. Commun.* **4**, 025009 (2020).
- [10] M. Pivoluska, M. Huber, M. Malik, *Phys. Rev. A* **97**, 032312 (2018).
- [11] A. Tavakoli, G. Haack, M. Huber, N. Brunner, J. Bohr Brask, *Quantum* **2**, 73 (2018).
- [12] T. Kraft, C. Ritz, N. Brunner, M. Huber, O. Gühne, *Phys. Rev. Lett.* **120**, 060502 (2018).
- [13] K. Lange, J. Peise, B. Lücke, I. Kruse, G. Vitagliano, I. Apellaniz, M. Kleinmann, G. Tóth, C. Klempt, *Science* **360**, 416-418 (2018).
- [14] A. Martin, T. Guerreiro, A. Tiranov, S. Designolle, F. Fröwis, N. Brunner, M. Huber, N. Gisin, *Phys. Rev. Lett.* **118**, 110501 (2017).
- [15] F. Steinlechner, S. Ecker, M. Fink, B. Liu, J. Bavaresco, M. Huber, T. Scheidl, R. Ursin, *Nat. Commun.* **8**, 15971 (2017).

This work was supported by the Austrian Science Fund (FWF) through the START project Y879-N27, the Lise-Meitner project M 2462-N27, the stand-alone

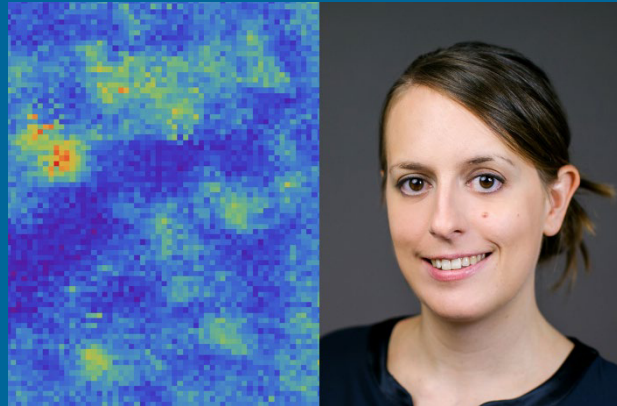


TECHNISCHE
UNIVERSITÄT
WIEN

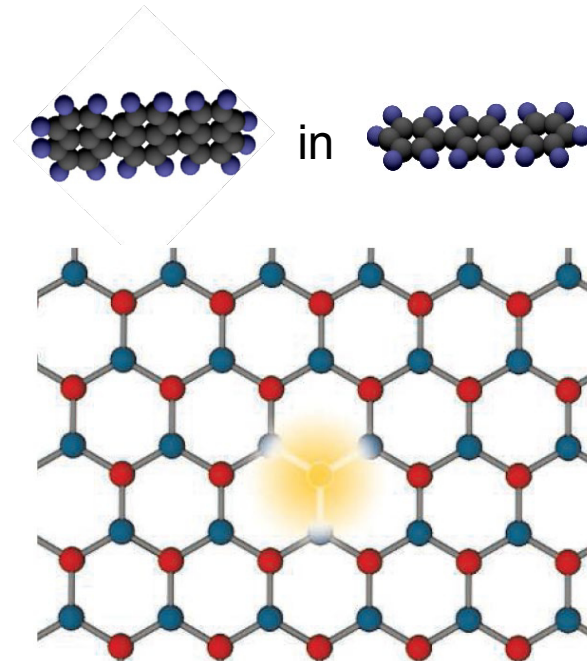
Vienna University of Technology

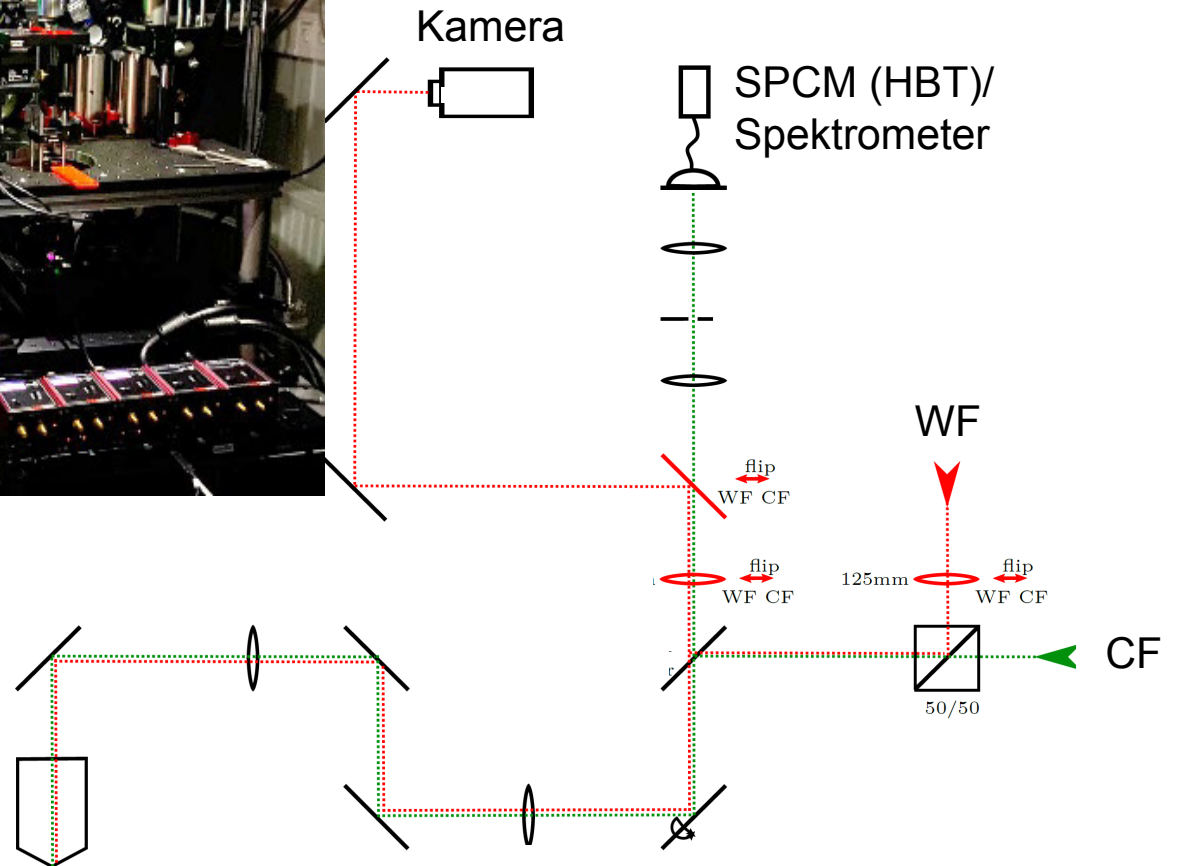
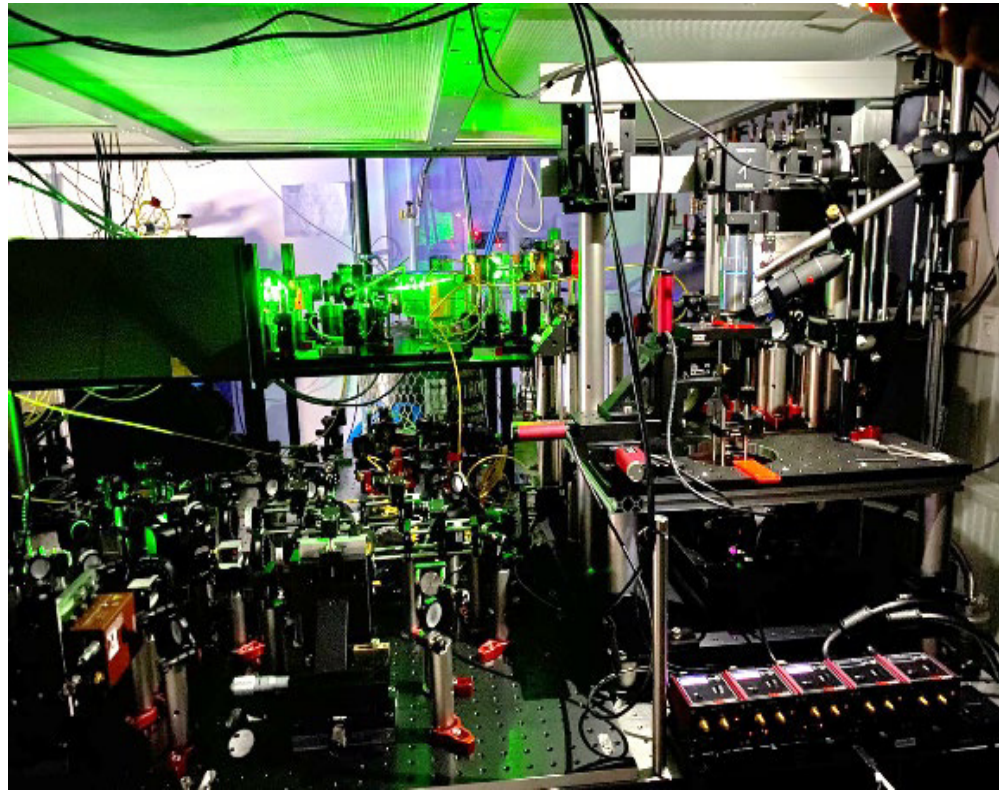
Angewandte Quantenphysik

Sarah M. Skoff
Atominstitut
TU Wien

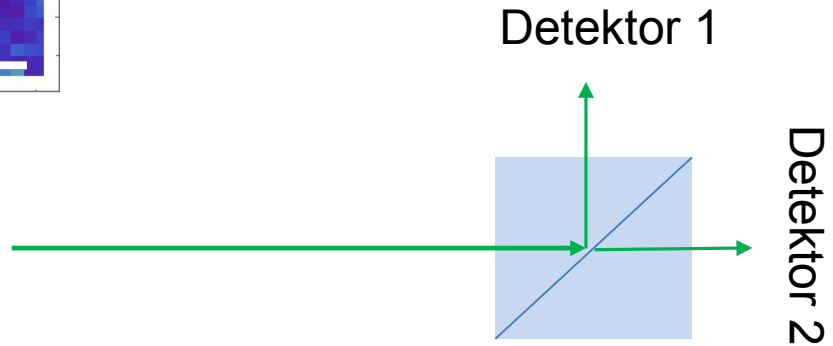
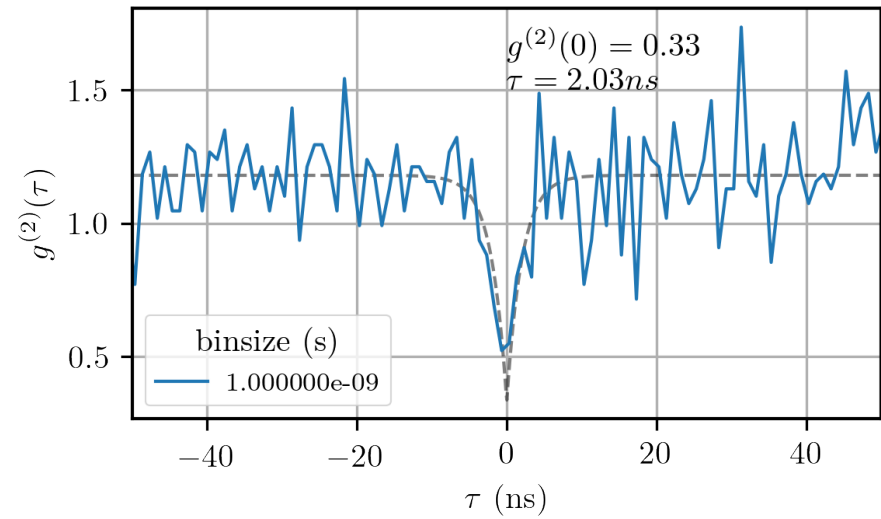
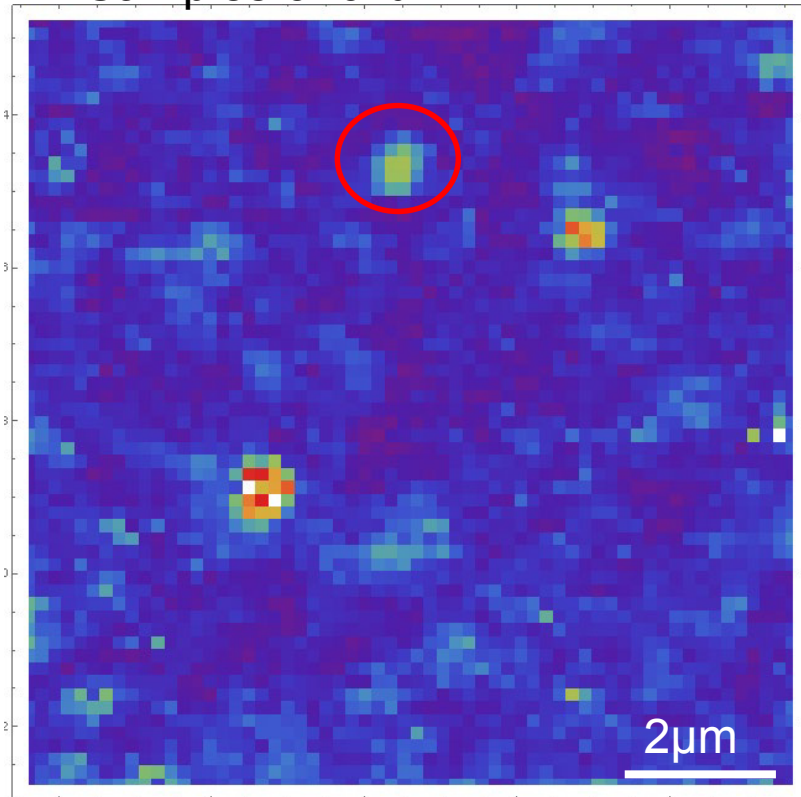


- Wir nutzen die Wechselwirkung von Photonen und Quantenemittern für Sensorik und neue Quantentechnologien
- Unser Medium der Wahl sind Festkörperquantenemitter:
einzelne Moleküle in Festkörpern und Farbzentren in 2D Materialien

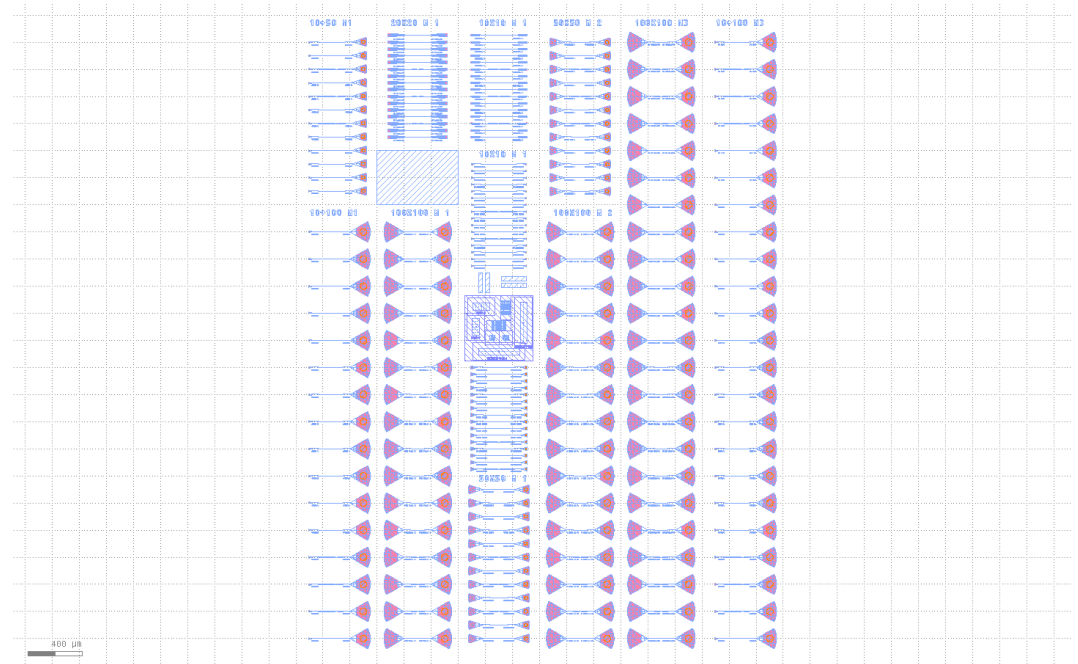
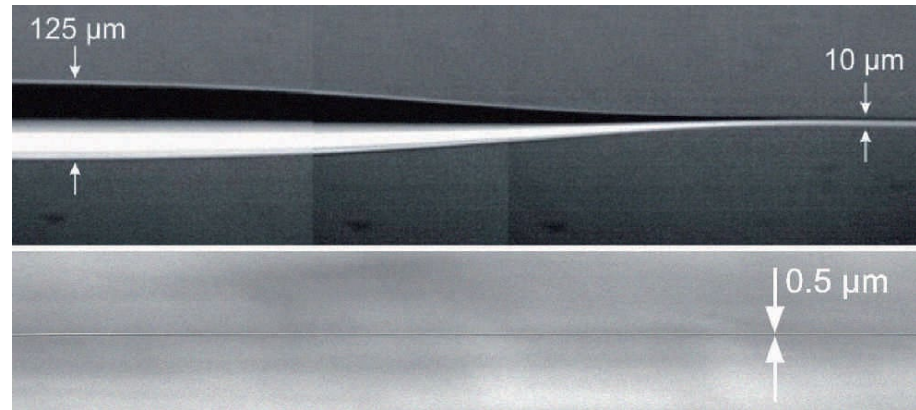


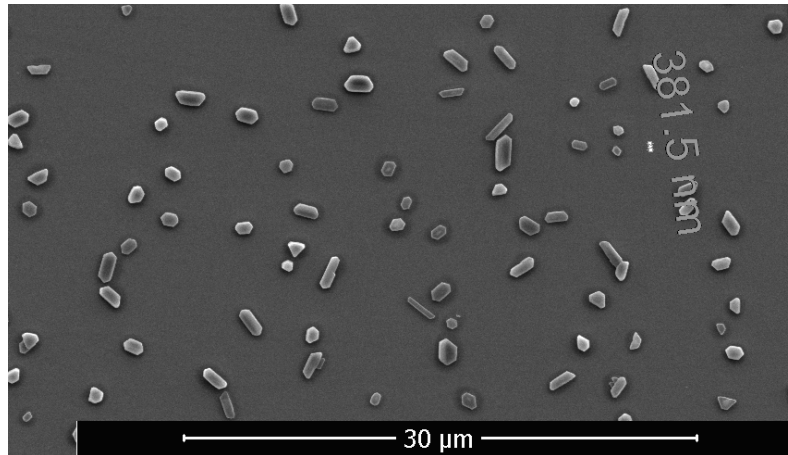


Samples of cvd hBN:

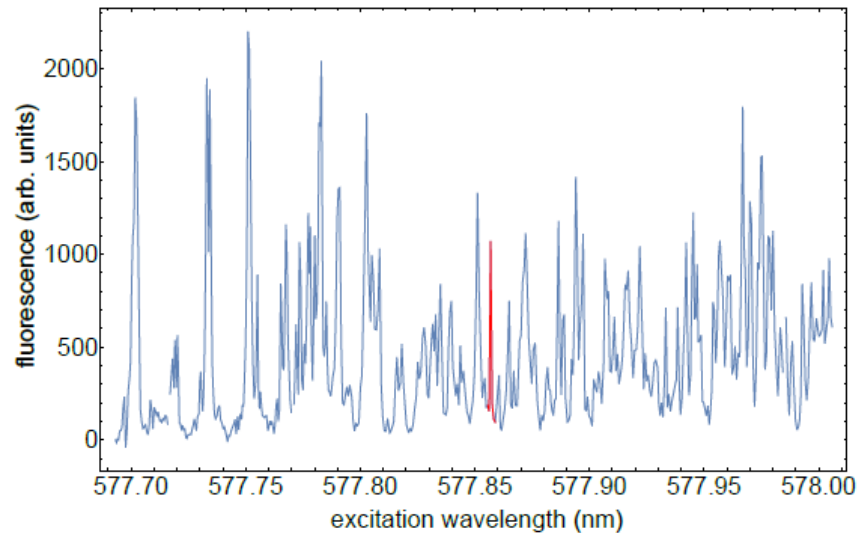


Wellenleiter als Schnittstellen für Quantenemitter und Licht





Spektren einzelner Terrylen Moleküle in einem p-Terphenyl Nanokristall



- Spektroskopie von Quantenemittern in 2D Materialien und einzelnen Molekülen in Festkörpern
- Sensorik mit nanophotonischen Wellenleitern
- Kleinere Aufbauprojekte im Bereich der Laserphysik, Spektroskopie und experimenteller Automatisierung

Für weitere Informationen:

Sarah Skoff (www.skofflab.com)

sarah.skoff@tuwien.ac.at

Strahlenphysik / X-ray physics



Christina Streli – Christina.Streli@tuwien.ac.at

Atominstitut

Proseminar SS 2021



Peter Wobrauschek

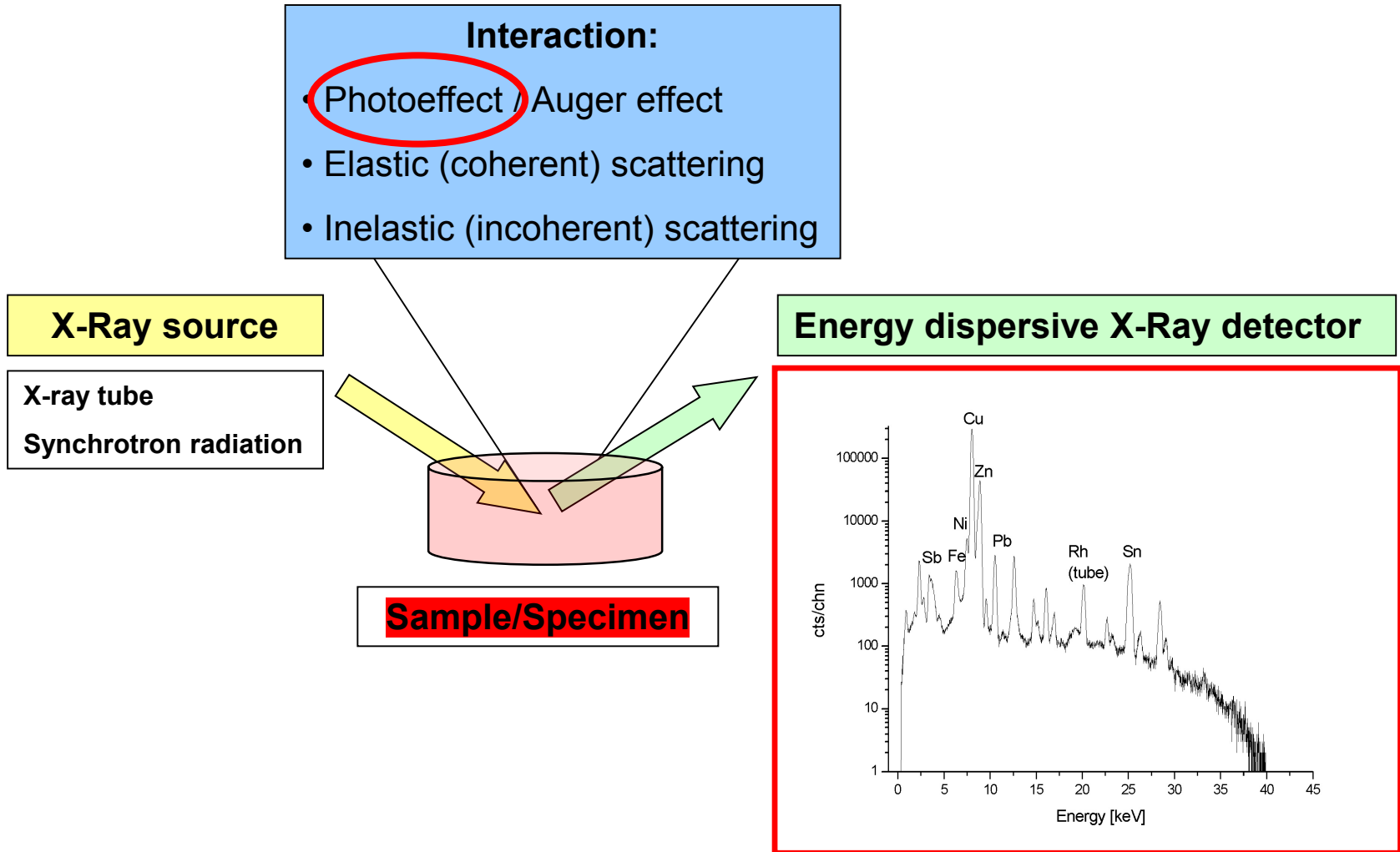
Dieter Ingerle

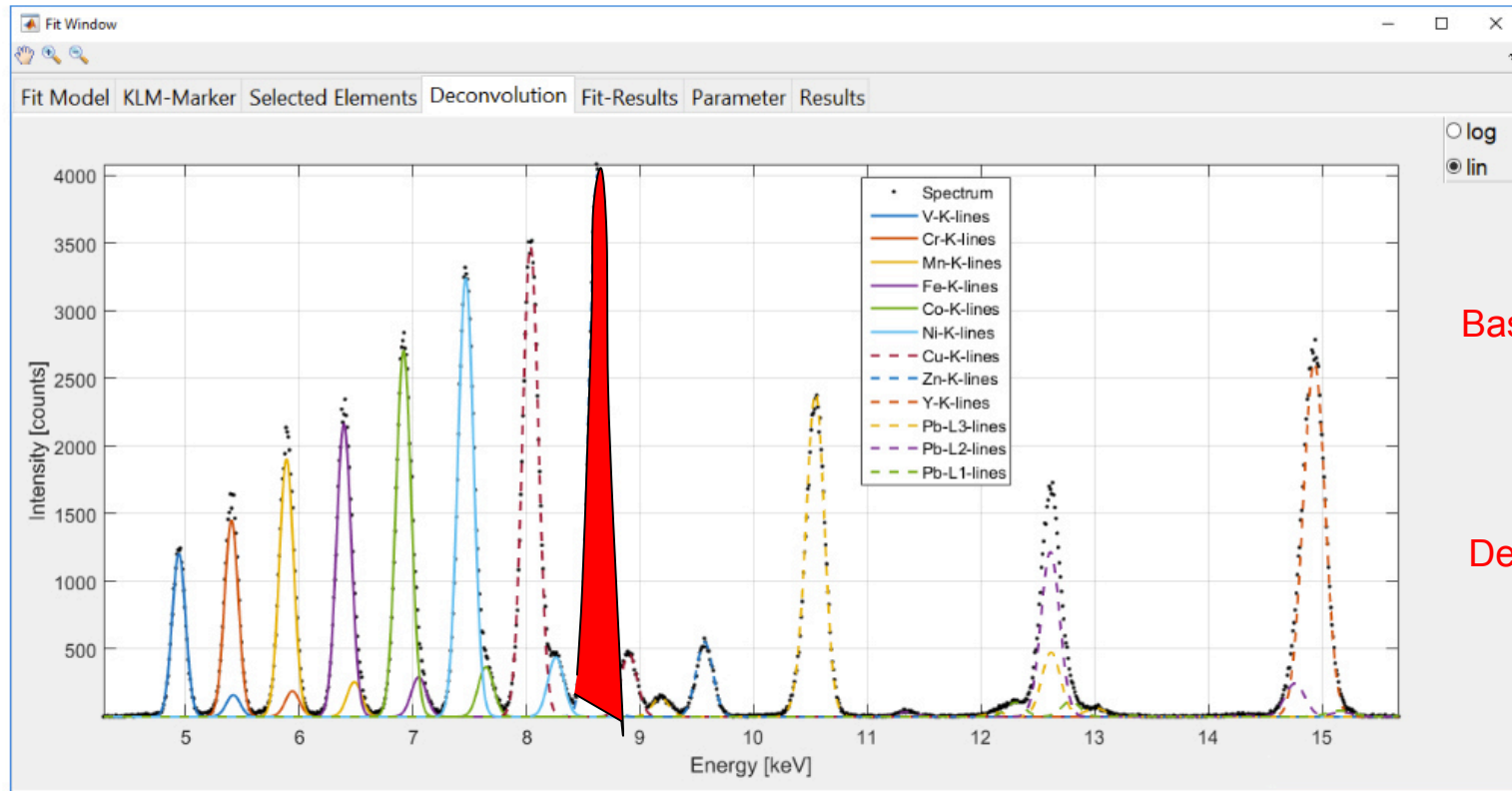
Peter Kregsamer

Michael Iro

Anna Turyanskaya

(EDXRF)



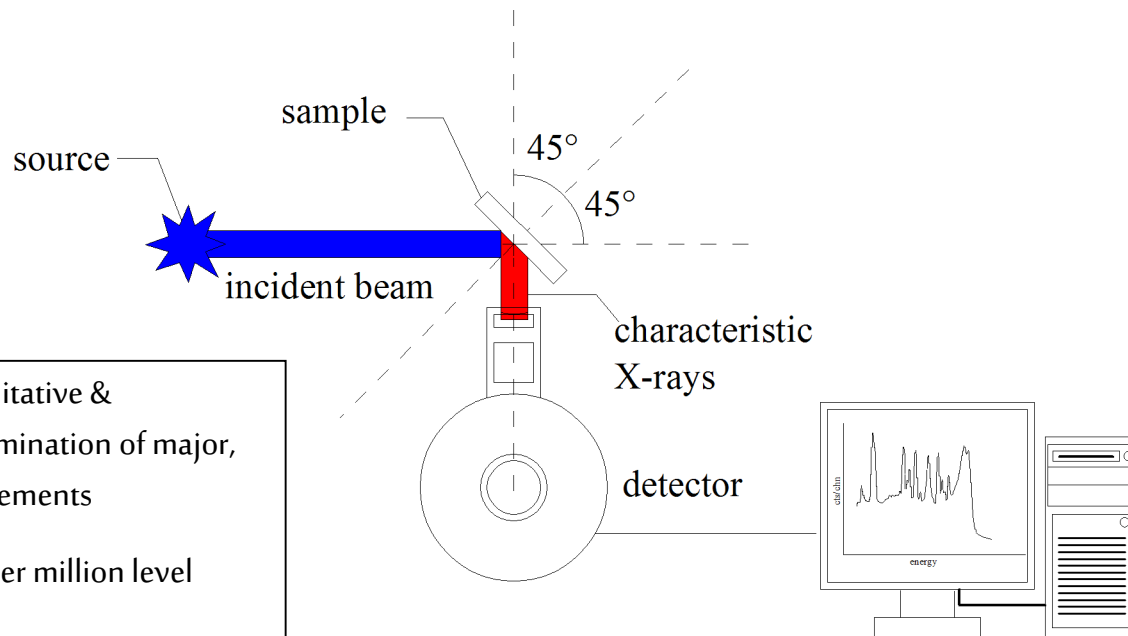
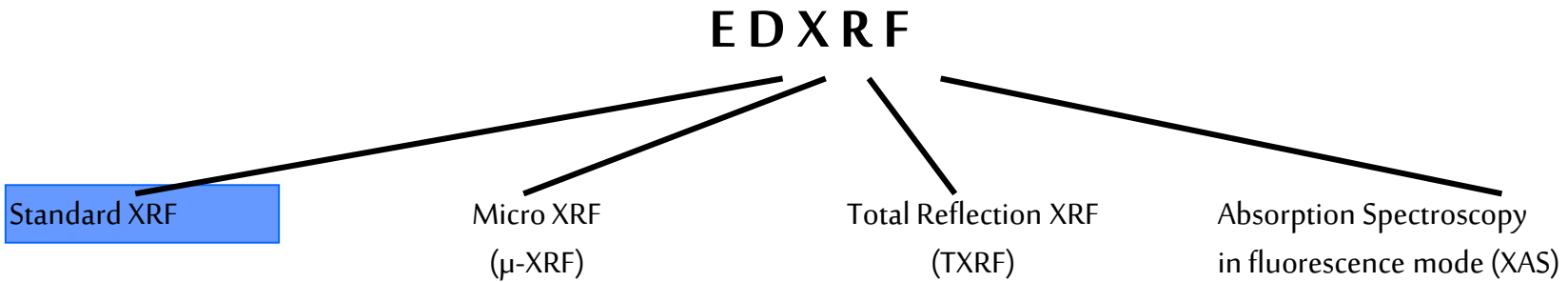


Net peak area
 Basis for quantification

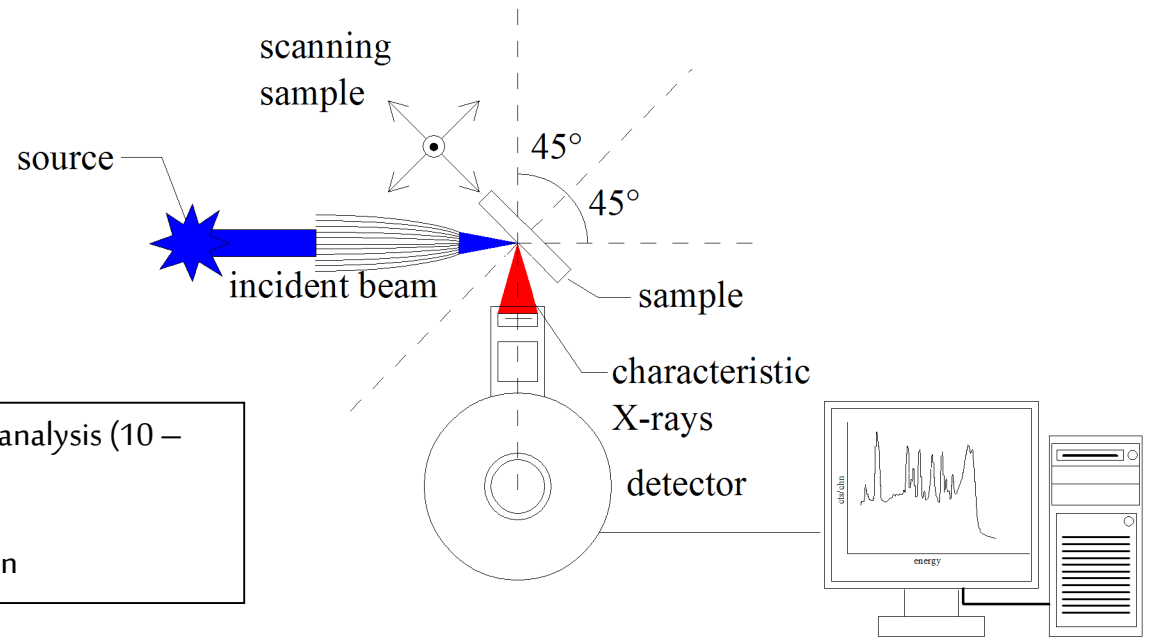
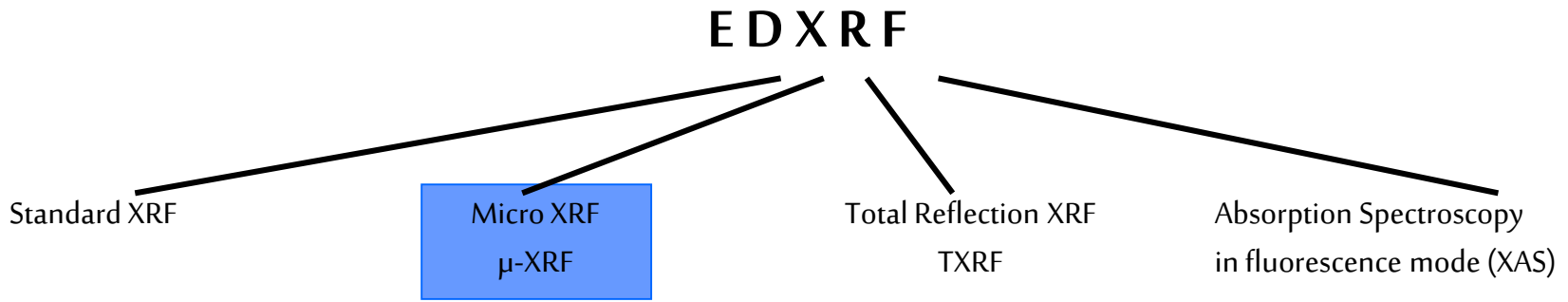
 Peak overlap
 Deconvolution required

Figure 52: "Deconvolution" tab of the MKFIT-Software

From: M.Kraihamer, diplom thesis, TU Wien, Oktober 2017

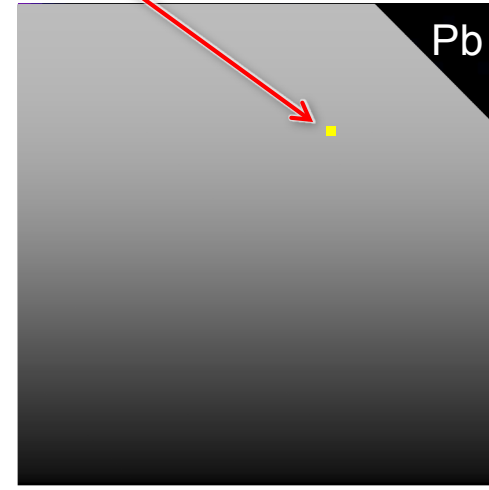
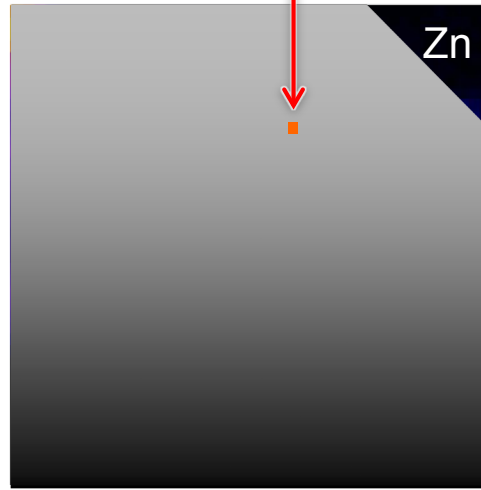
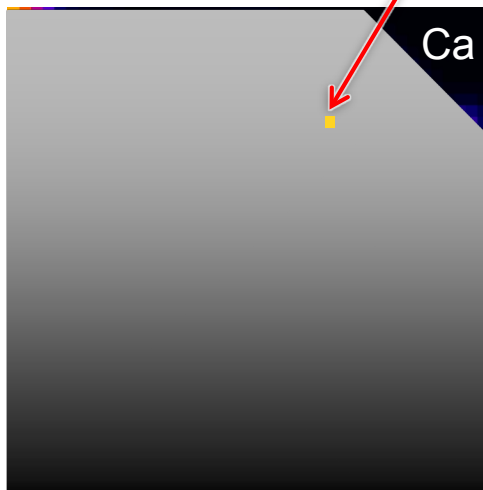
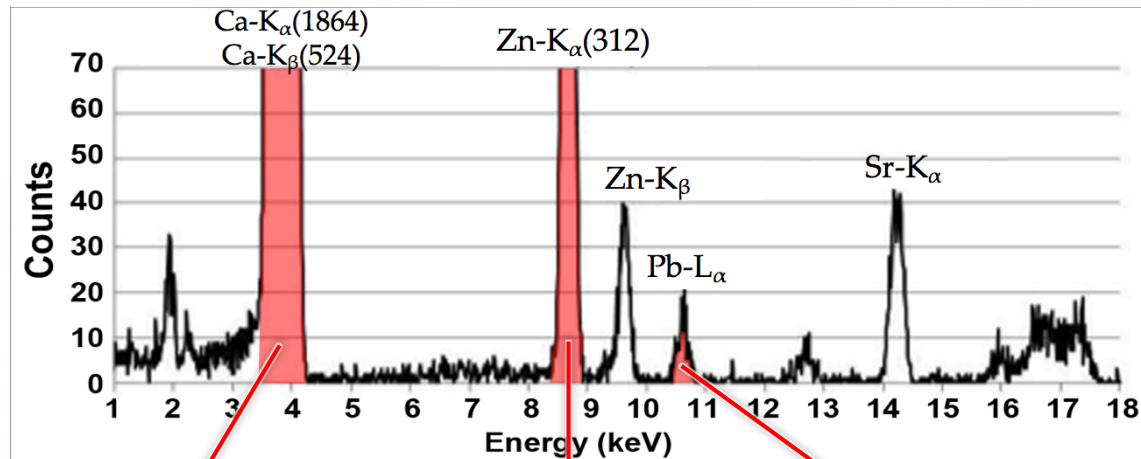


- simultaneous qualitative & quantitative determination of major, minor and trace elements
- down to the part per million level



- spatially resolved analysis (10 – 60 μ m)
- 2D & 3D resolution

Generation of the Element Maps:



Depth from Surface (z)

-15 μm

-30 μm

-45 μm

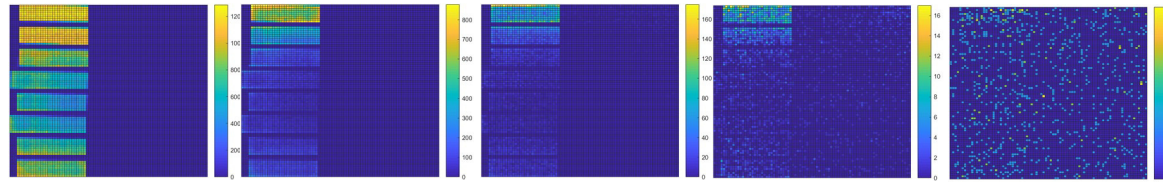
-60 μm

-75 μm

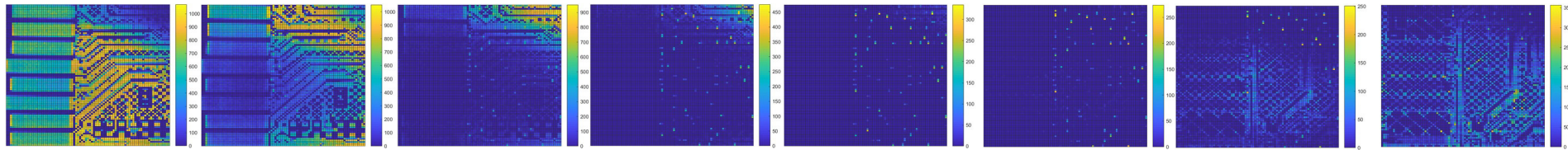
-90 μm

-105 μm

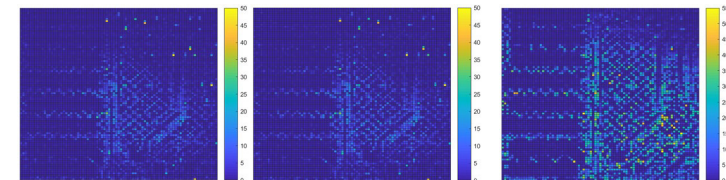
Nickel



Copper

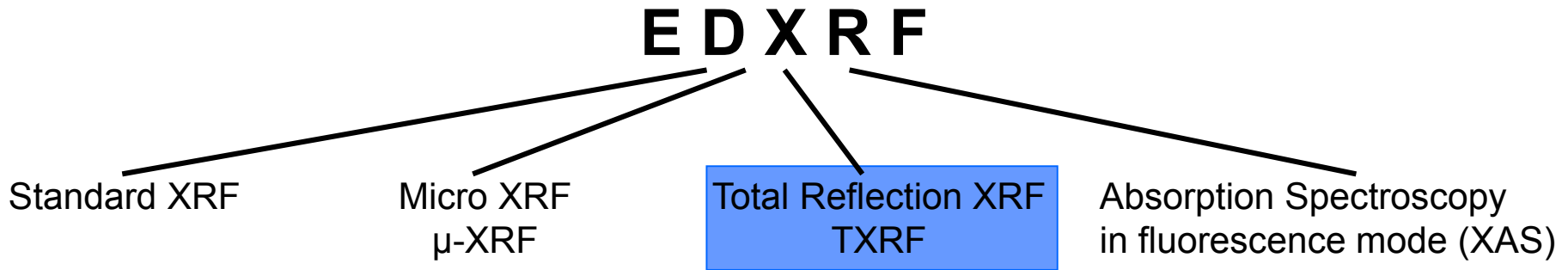


Barium

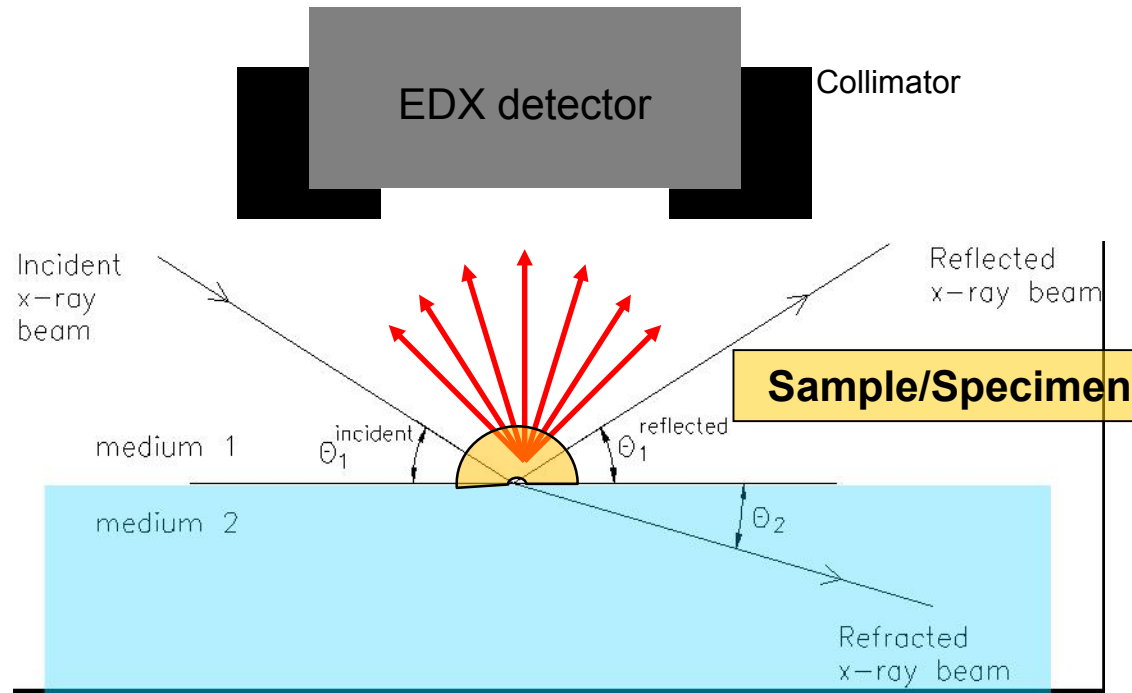


- Confocal scan of a micro SD card
- 100 μm step size in x and y, 15 μm in z
- 15 seconds per point; in total ~11 days

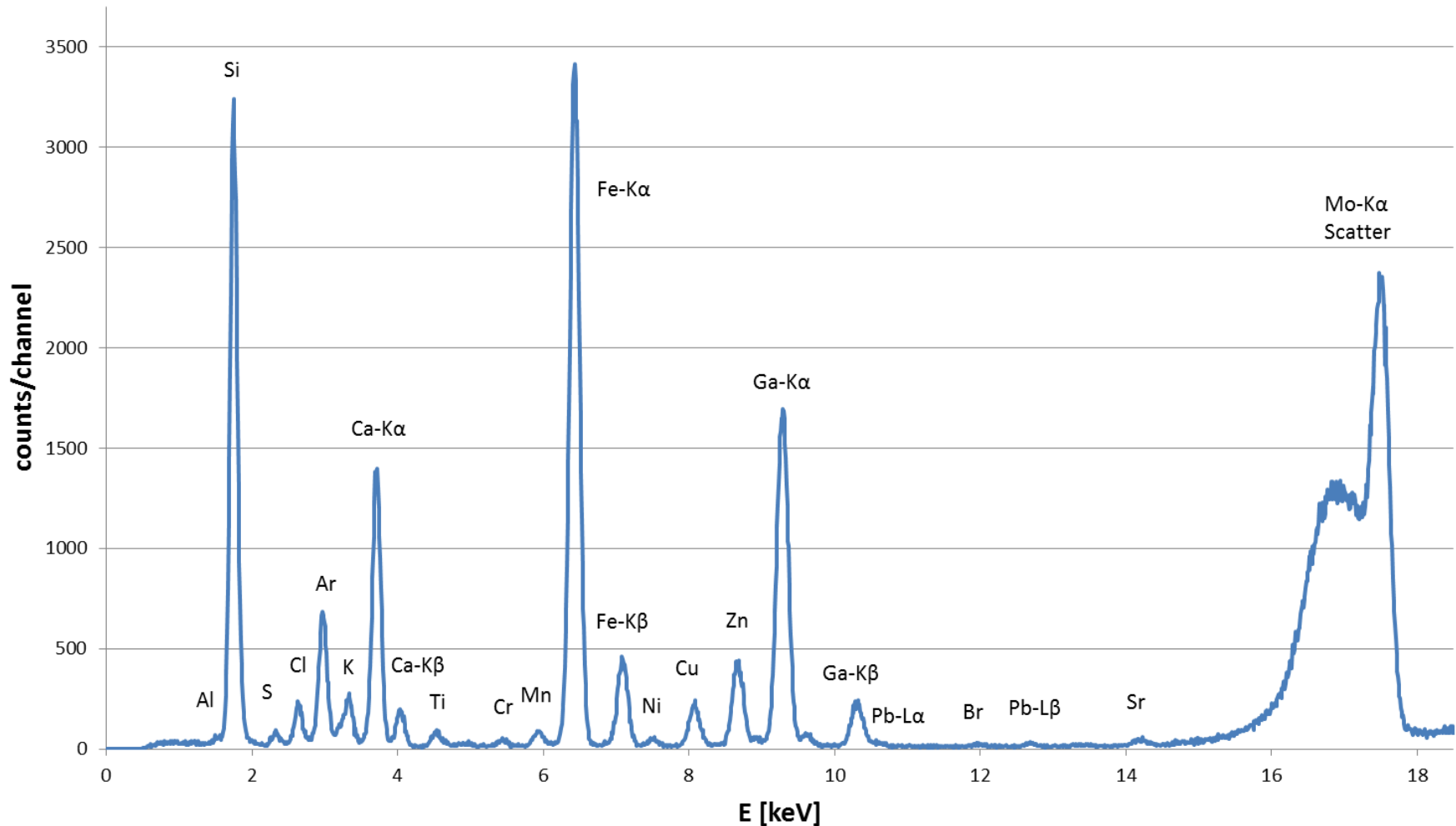




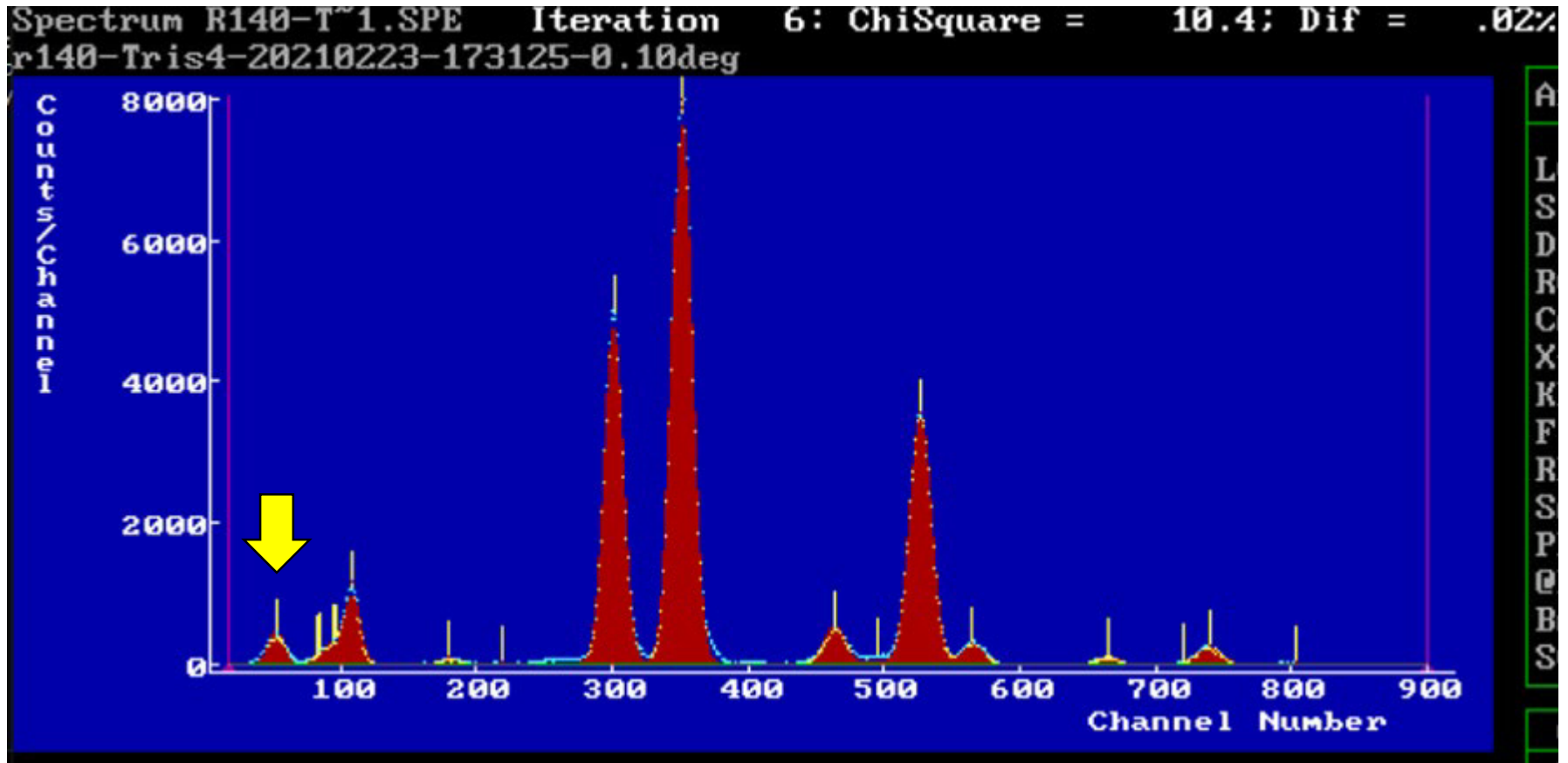
- Low detection limits (parts per billion)
- low sample mass required (few μ - liters)



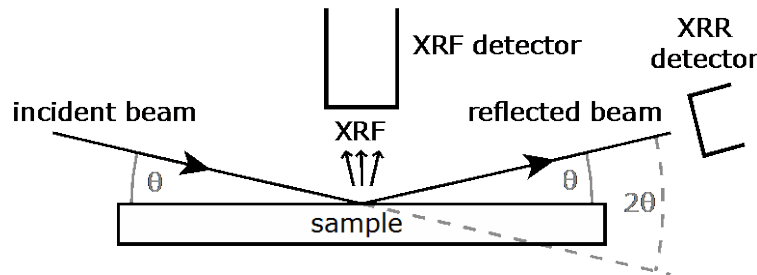
C2 indoor aerosol sample measured with Low Power TXRF (Mo, 50/1, 1000 seconds)



Determination of **Carbon** as representation of nano-plastic in sea water



Combined GIXRF+XRR setup



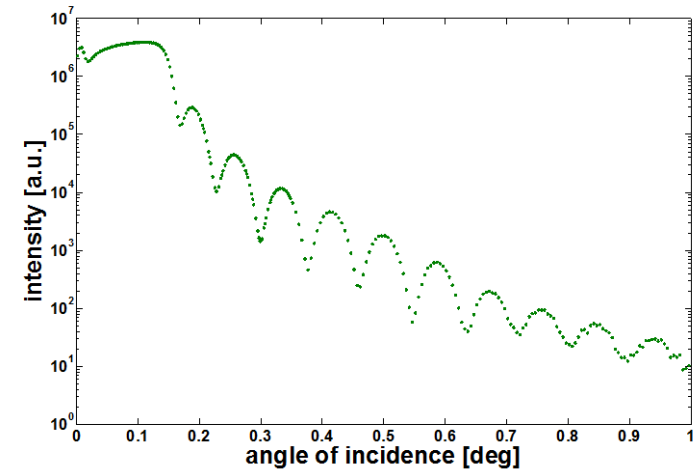
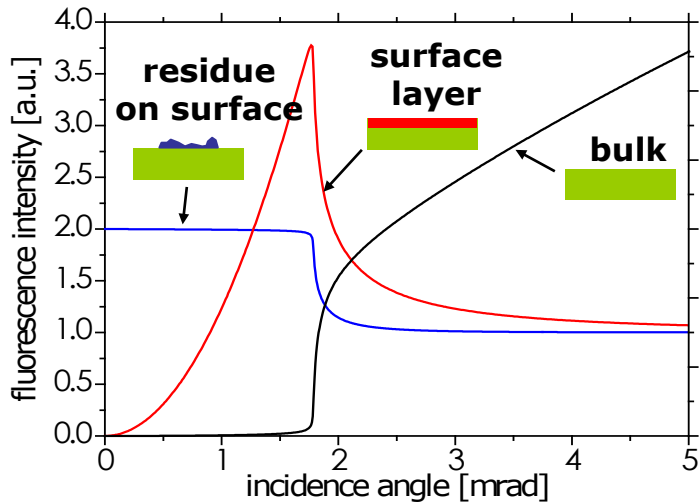
Controlled variation of the angle of incidence

GIXRF:

XRR:

XRF of elements in the sample

Information on electron density in the sample



18 nm nominally thick titanium layer deposited on silicon:

Layer	thickness	Density	roughness
Ti	18.9 nm	4.5 g/cm ³	0.3 nm
TiO ₂	3.9 nm	4.1 g/cm ³	0.1 nm
TiO ₂	0.9 nm	3.5 g/cm ³	0.8 nm



TECHNISCHE
UNIVERSITÄT
WIEN

Medizinische Strahlenphysik @ MedAustron

Forschung & Therapie

A. Hirtl

✉ albert.hirtl@tuwien.ac.at

Atominstitut, Technische Universität Wien

Proseminar Physik, 26. März 2021

Das MedAustron

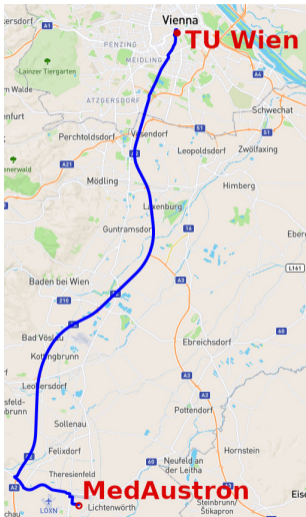


Image: OpenStreetMap

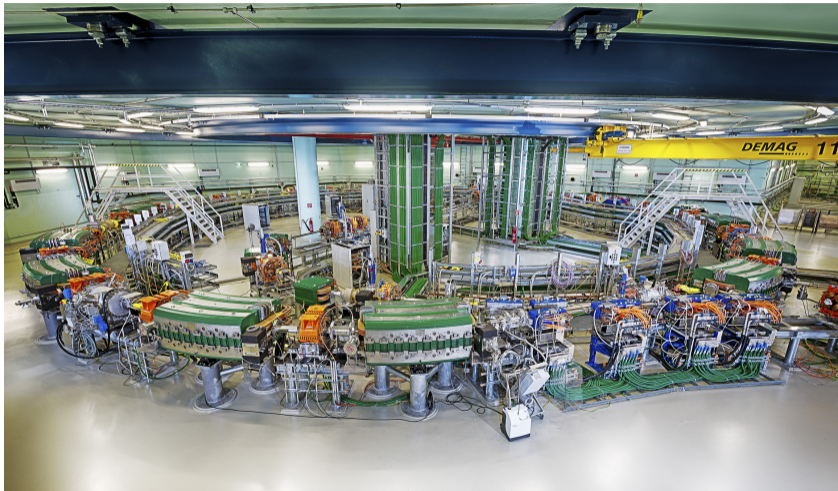


Bild: MedAustron

MedAustron – Allgemein

- **Protonen** und **Kohlenstoff** Strahlen
- besteht aus
 - ▶ einem klinischen Teil für **Krebstherapie**
 - ▶ einem Teil für **nichtklinische Forschung**

Vier Gruppen für **nichtklinische** Forschung

- *Medical Radiation Physics with Specialisation in Ion Therapy* ⇐ **TU Wien** (J. Schieck, A. Hirtl)
 - ▶ *Institute of High Energy Physics (Hephy), Austrian Academy of Sciences* ⇐ **J. Schieck, T. Bergauer**
- Accelerator Physics ⇐ **TU Wien** (M. Benedikt)
- Medical Radiation Physics and Oncotechnology ⇐ **MedUni Wien** (D. Georg)
- Applied and Translational Radiation Biology ⇐ **MedUni Wien** (currently vacant)

Vorteile der Ionentherapie

Dosisprofil

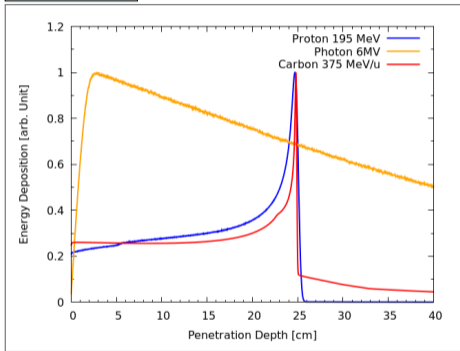


Bild: H. Fuchs

Physikalische und biologische Vorteile

- invertiertes Tiefendosisprofil
- gut definierte Eindringtiefe der Ionen
- Behandlung von resistenten Tumoren (Kohlenstoff Ionen!)
⇒ erhöhte radiobiologische Wirksamkeit

Medizinische Vorteile

- Behandlung von Tumoren nahe an radiosensitiven Organen, z. B. optischer Nerv
- Reduktion der integralen Dosis
 - ▶ vorteilhafte Behandlung von Kindern
 - ▶ geringeres Risiko für Sekundärtumore

Herausforderung (eine von vielen 🤖👤)

- Unsicherheit der Reichweite

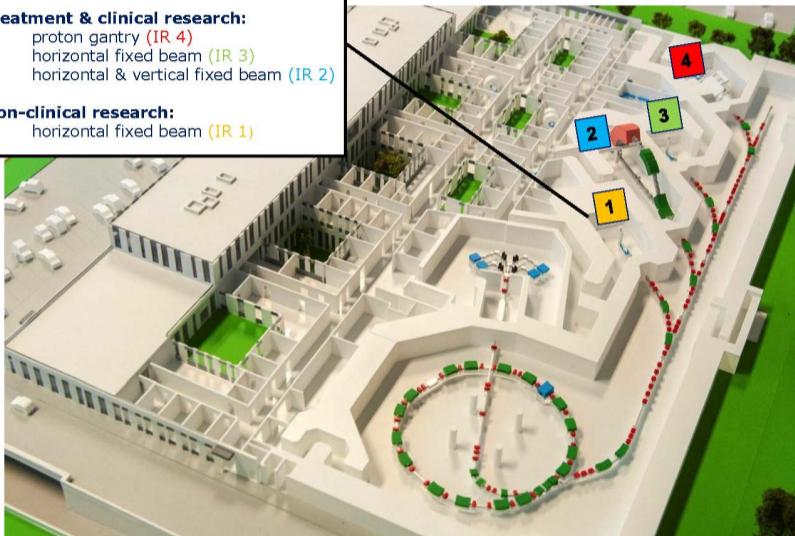
Bestrahlungsräume am MedAustron

treatment & clinical research:

- proton gantry (IR 4)
- horizontal fixed beam (IR 3)
- horizontal & vertical fixed beam (IR 2)

non-clinical research:

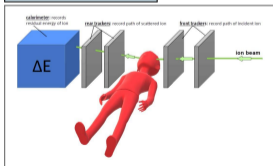
- horizontal fixed beam (IR 1)



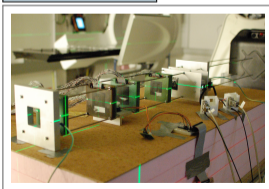
Tätigkeitsfelder der MedAustron Gruppe

- ➔ Bildgebung mittels Ionen (CT mit Protonen, pCT) ⇒ Reichweite
- ➔ Dosimetrie mittels Thermoluminiszenzdosimetern (TLD)
- ➔ Bestimmung des linearen Energietransfers (LET)
 - ▶ mikrodosimetrische Messungen zur Korrelation mit biologischen Effekten
- ➔ Monte Carlo Simulation (diverse Frameworks)
- ➔ Hardwarenahe Programmierung (VHDL, FPGA)

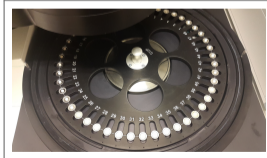
pCT Prinzip



pCT Aufbau



TLDs



Torsophantom

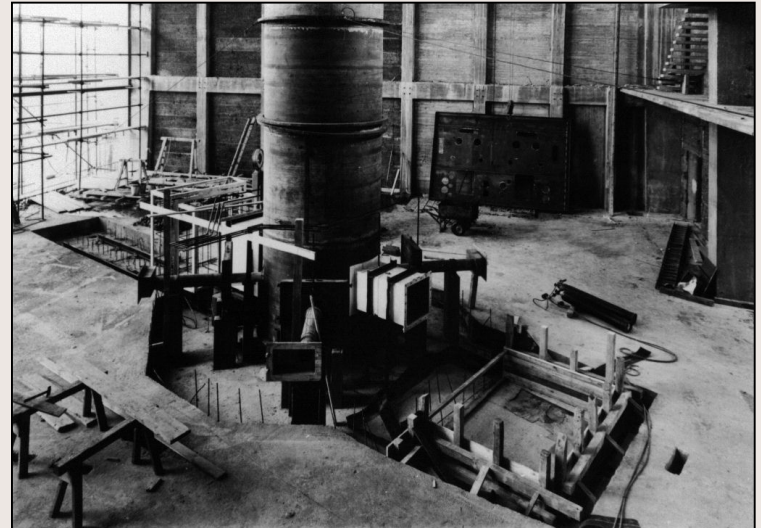
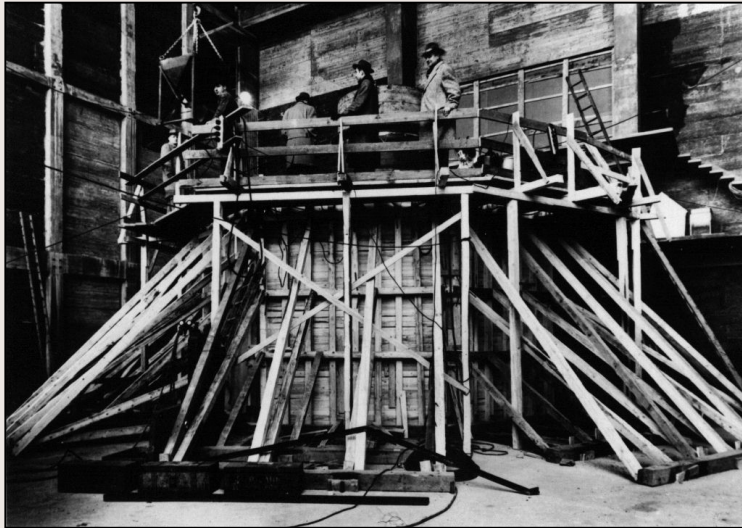


Der TRIGA MARK II Reaktor

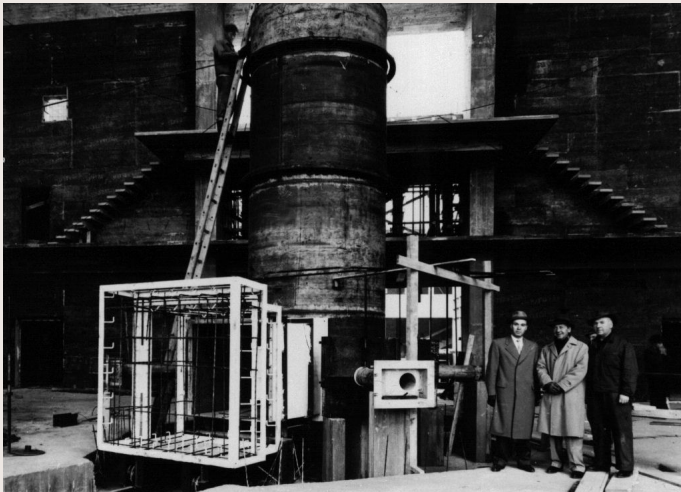
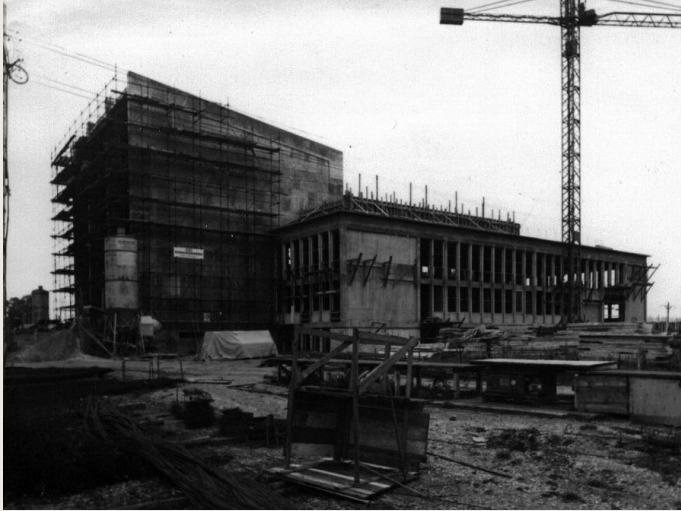
Technische Universität Wien
TRIGA Center Atominstitut
Stadionallee 2, 1020 Vienna, Austria
++43-1-58801 141371
mario.villa@tuwien.ac.at

Der TRIGA MARK II Reaktor

- Gebaut von General Atomics (1959 bis 1962)
- Inbetriebnahme am 7. März 1962, 12:04 Uhr



Bauphasen

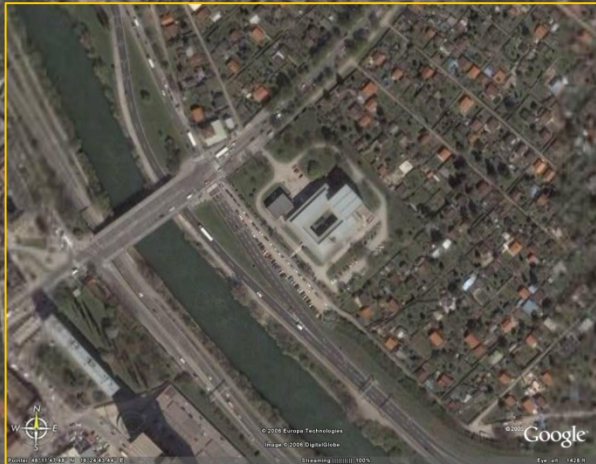




IAEA (VIC)

Downtown

ATI



Pointer 48°12'51.80" N 16°23'28.05" E

© 2005 Google

Eye alt 19573 ft

Lehrveranstaltungen um den Reaktor

- Reaktorphysik (VO – 2.0)
 - Grundlagen der Reaktorphysik
- Reaktortechnik I – Nuclear Engineering I (VO – 2.0)
 - Aufbau und Funktionsweise moderner Kernkraftwerke
- Reaktortechnik II (VO – 2.0)
 - Grundlagen des Brennstoffkreislaufes
- Praktische Übungen am Reaktor (PR – 4.0)
 - 12 Übungen rund um den Reaktor
- Praktische Übungen aus Reaktorinstrumentierung (PR – 4.0)
 - Signalverarbeitung am einzigen Forschungsreaktor Österreichs
- Seminar aus Reaktorsicherheit (SE – 2.0)
 - Aktuelle Themen zur Kernenergie

TRIGA MARK II

Atominstytut Vienna

1962

2021



TRIGA Mark II Research Fields

Thermal white beam: general purpose neutron facility

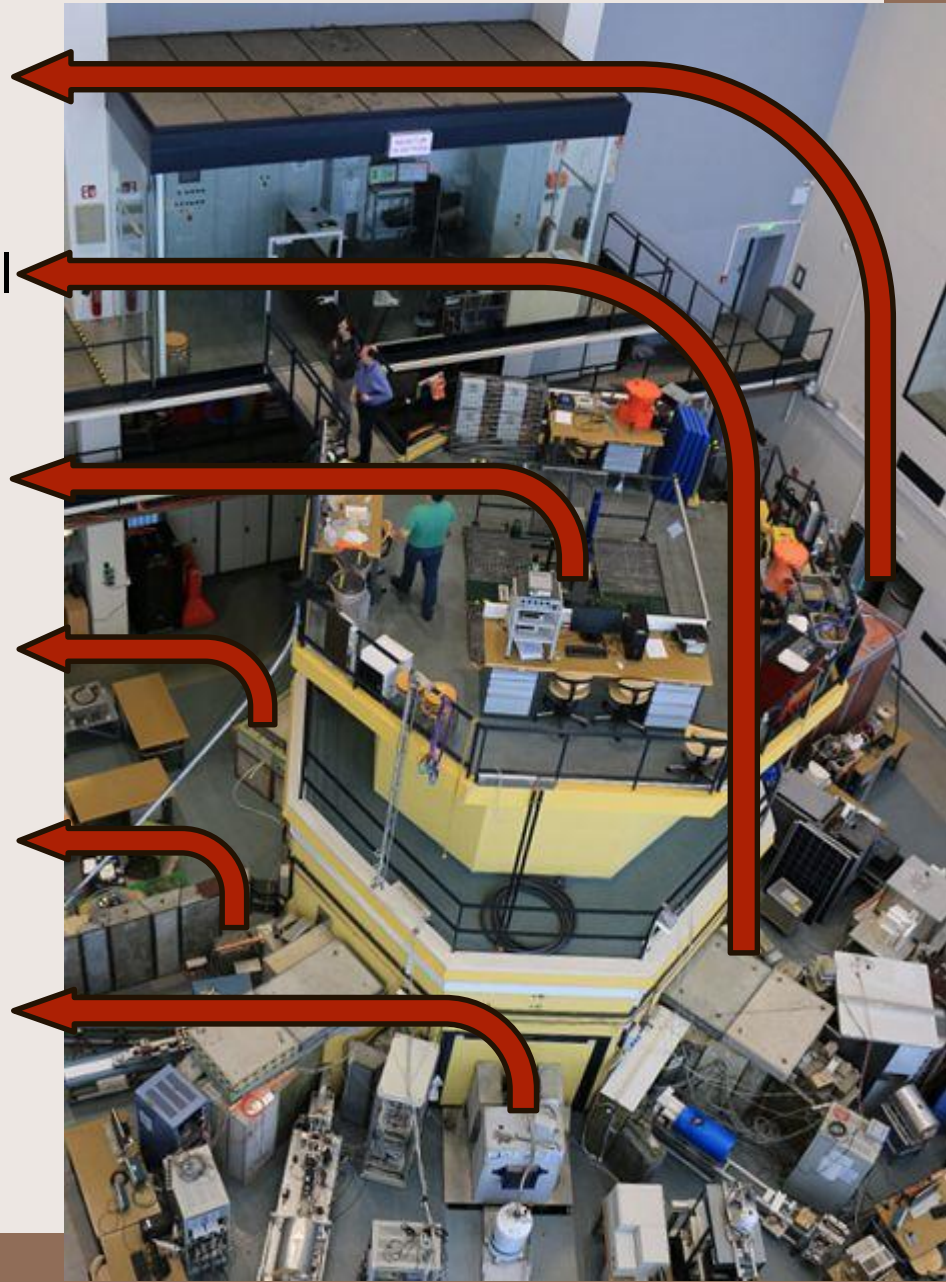
Neutron interferometry, material science

Reactor physics, neutron activation in tubes, CIT

Fully automized ultra fast NAA (planned)

Neutron spin manipulations, uncertainty relations

Neutron radiography



Technische Daten des Triga Mark II Reaktor Wien (1)

1. Reaktor

Brennstoff-Moderator Material	8,5 wt% Uran 89,9 wt% Zirkon 1,6 wt% Wasserstoff
Urananreicherung	19,8 % Uran-235
Aktives Kernvolumen	49,5 cm Durchmesser 38,1 cm Höhe
Kernladung	82 Brennelemente
U-235 Menge je Brennelement	ca. 38 g
Reflektor	Graphit
Regeleinrichtung	2 Borkarbidregelstäbe mit Elektromotor 1 Borkarbidregelstab mit Druckluft prompter negativer Temperaturkoeffizient des Brennstoffes

Technische Daten des Triga Mark II Reaktor Wien (2)

2. Dauerbetrieb

Maximale thermische Leistung	250 kW
Maximale thermische Neutronenflußdichte	$1 \times 10^{13} \text{ cm}^{-2} \text{ s}^{-1}$
Maximale Brennstofftemperatur	220 °C
Maximale Primärwassertemperatur	35 °C

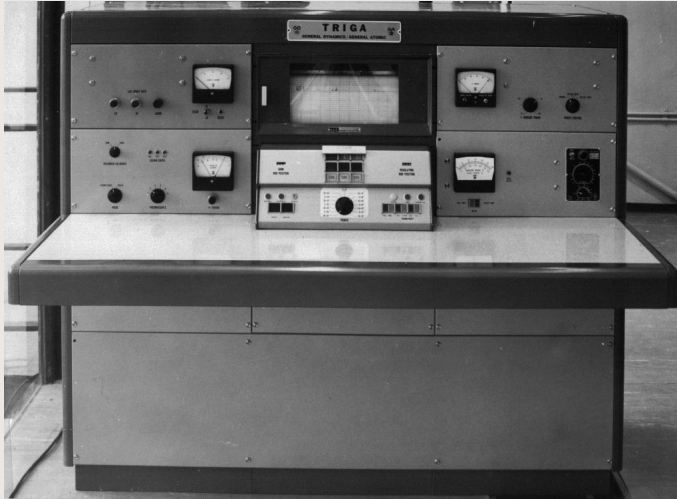
3. Impulsbetrieb

Spitzenleistung	250 MW
Impulsarbeit	12 MWs
Dauer des prompten Impulses	40 ms
Minimale Reaktorperiode	10 ms
Maximale Brennstofftemperatur	360 °C

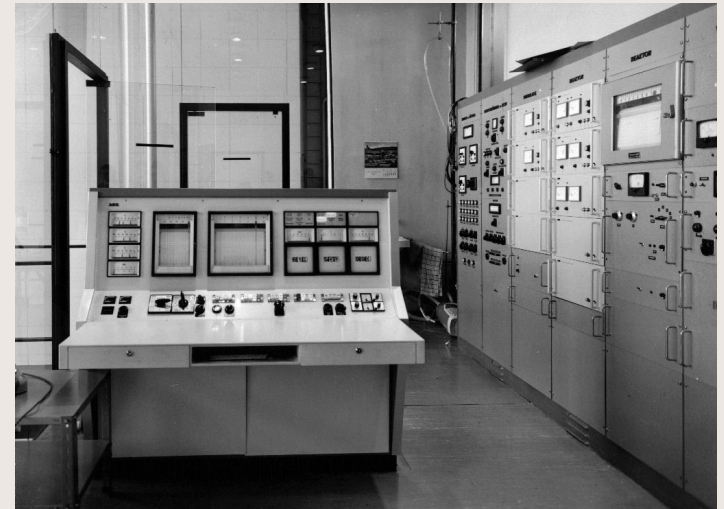
Bestandteile eines TRIGA Brennstabes



Reaktor Instrumentierung



1962



1968

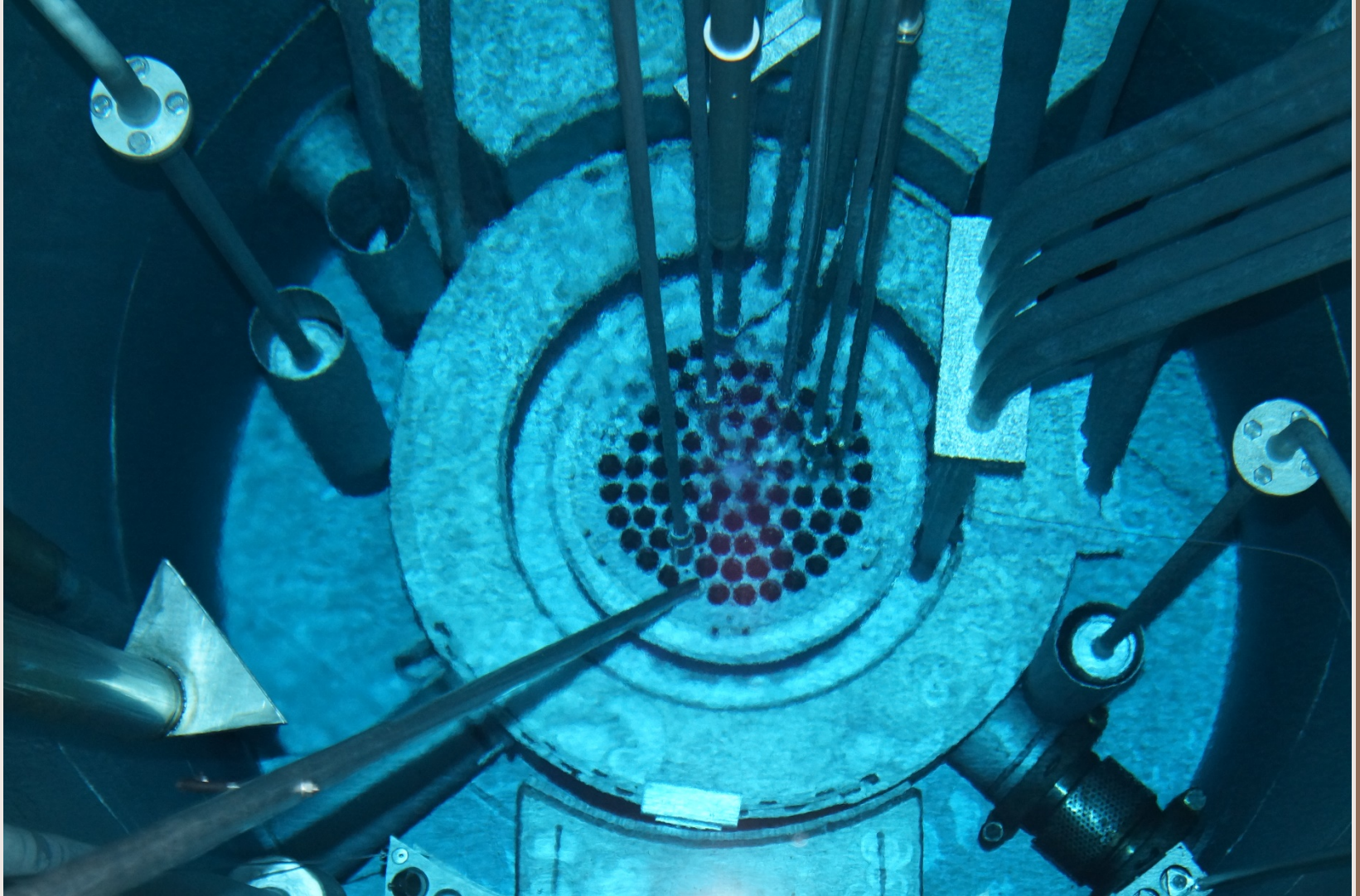


1992

Die neue Instrumentierung

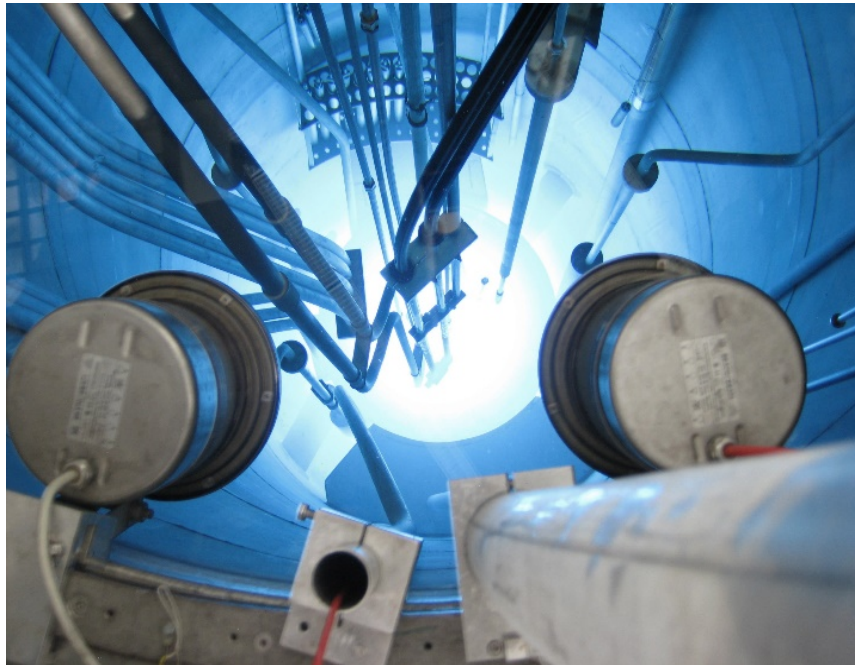


Blick in den Reaktor!





Particle Physics @ Atominstitut Neutronen- und Quantenphysik



Information by Y. Hasegawa, A. Ivanov, E. Jericha,
M. Pitschmann, I. Pradler, S. Sponar, R. Sedmik, M.
Zawisky, H. Abele

Das Neutron und seine Eigenschaften



Vorkommen

- Erde: 50% n 50% p
- Universum: 14% n, 86 % p
- 1s nach Big Bang: 17% n, 83% p

Zerfall

- Lebensdauer 881s

The Big Bang

to explain why „missing antimatter in the univers“

EDM

qBOUNCE

Beta-Asymmetry etc.

Baryogenesis

CANEX

qBOUNCE

N-TOF

???



Neutron lifetime

18 degrees

Spin-Clocks

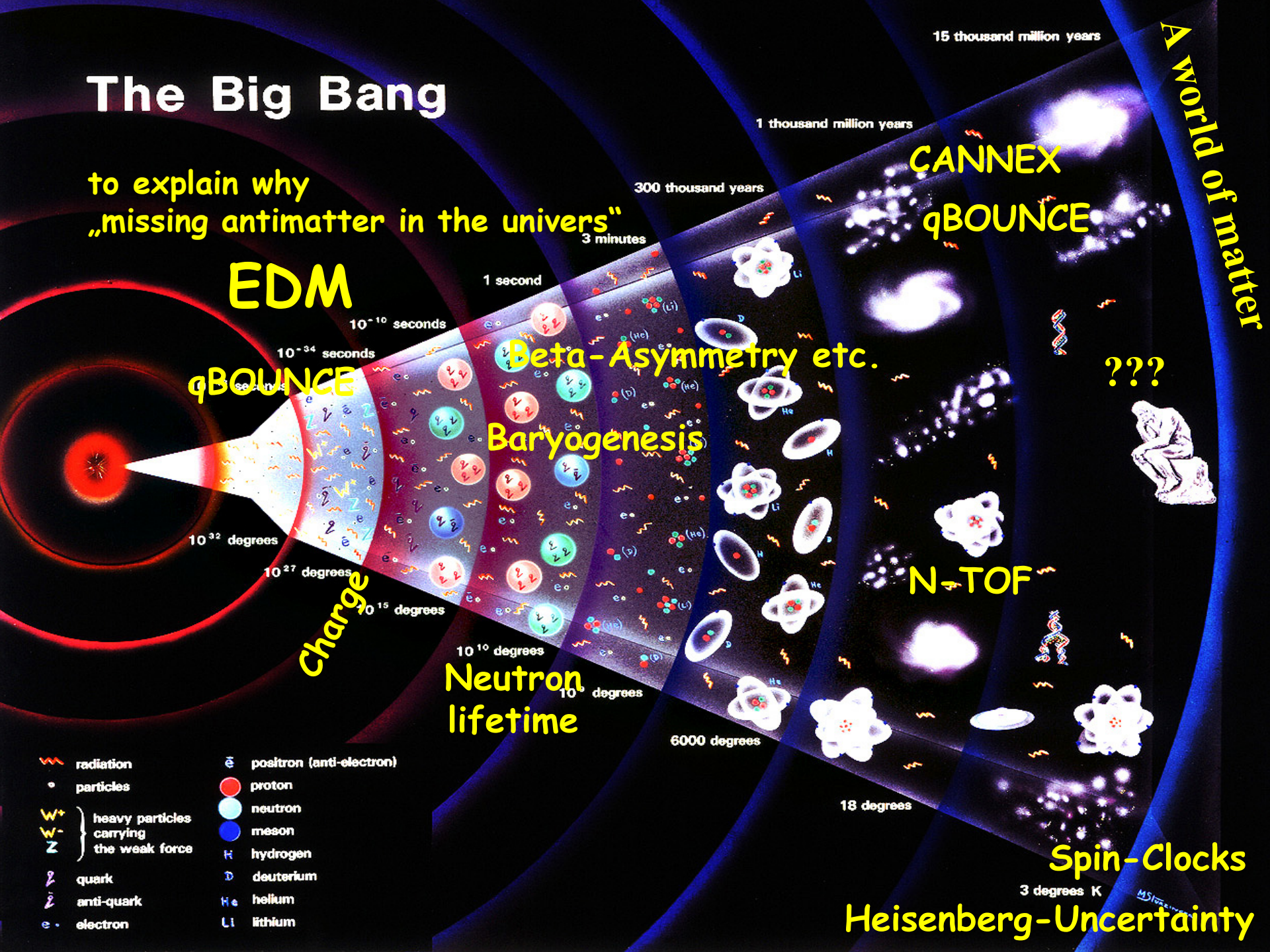
3 degrees K

Heisenberg-Uncertainty

A world of matter

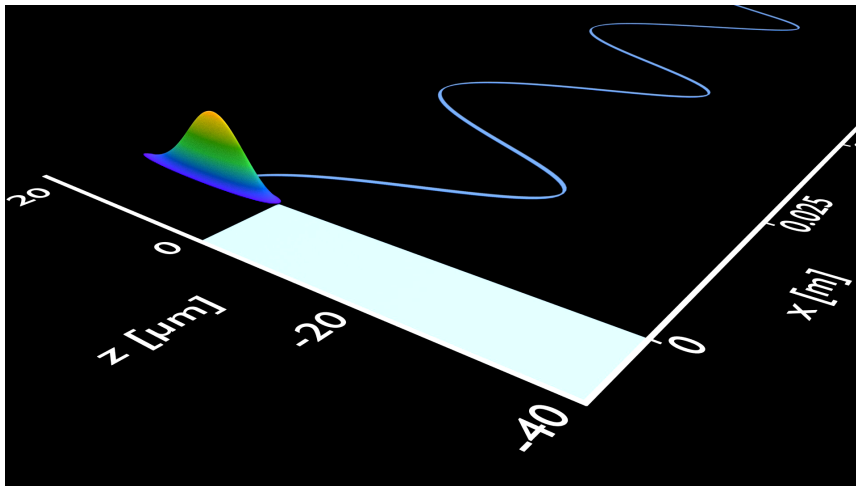
Charge

- radiation
- particles
- W^+ } heavy particles carrying the weak force
- W^- }
- Z }
- quark
- anti-quark
- e^- electron
- e^+ positron (anti-electron)
- proton
- neutron
- meson
- H hydrogen
- D deuterium
- He helium
- Li lithium

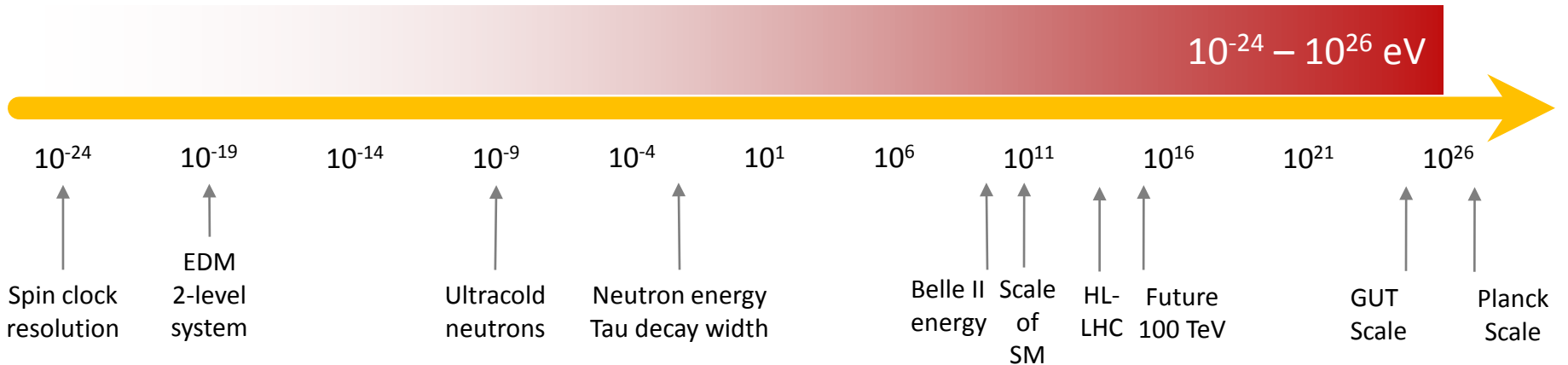
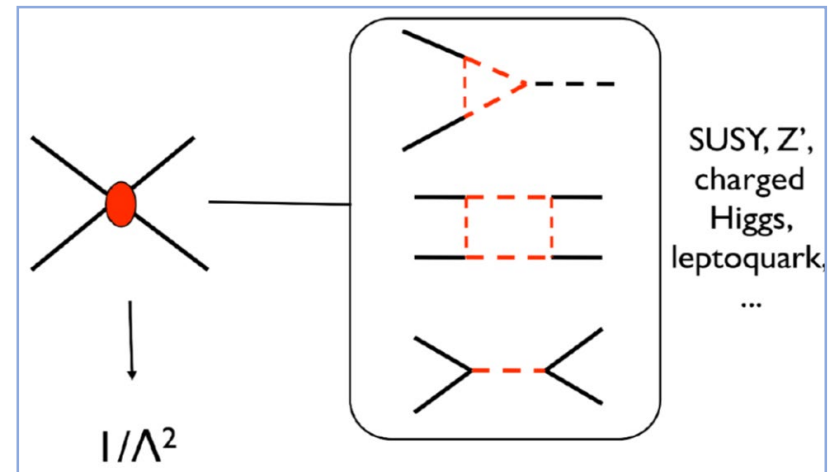


Neutron and Quantum

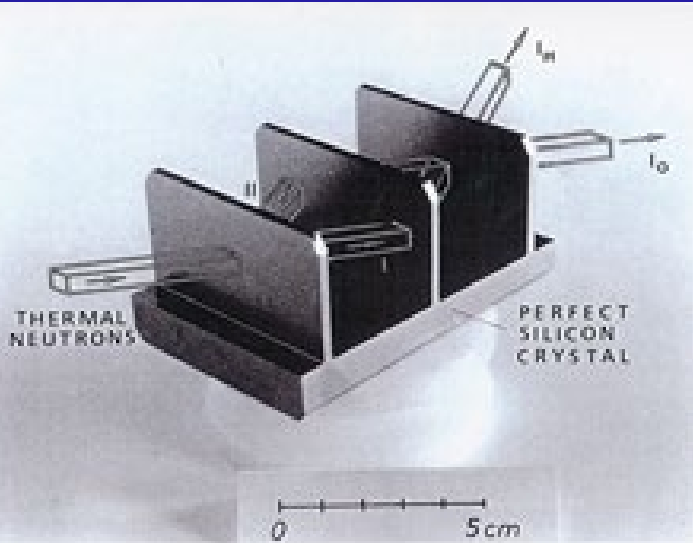
Quantum bouncing ball



Search for New Physics through EFTs

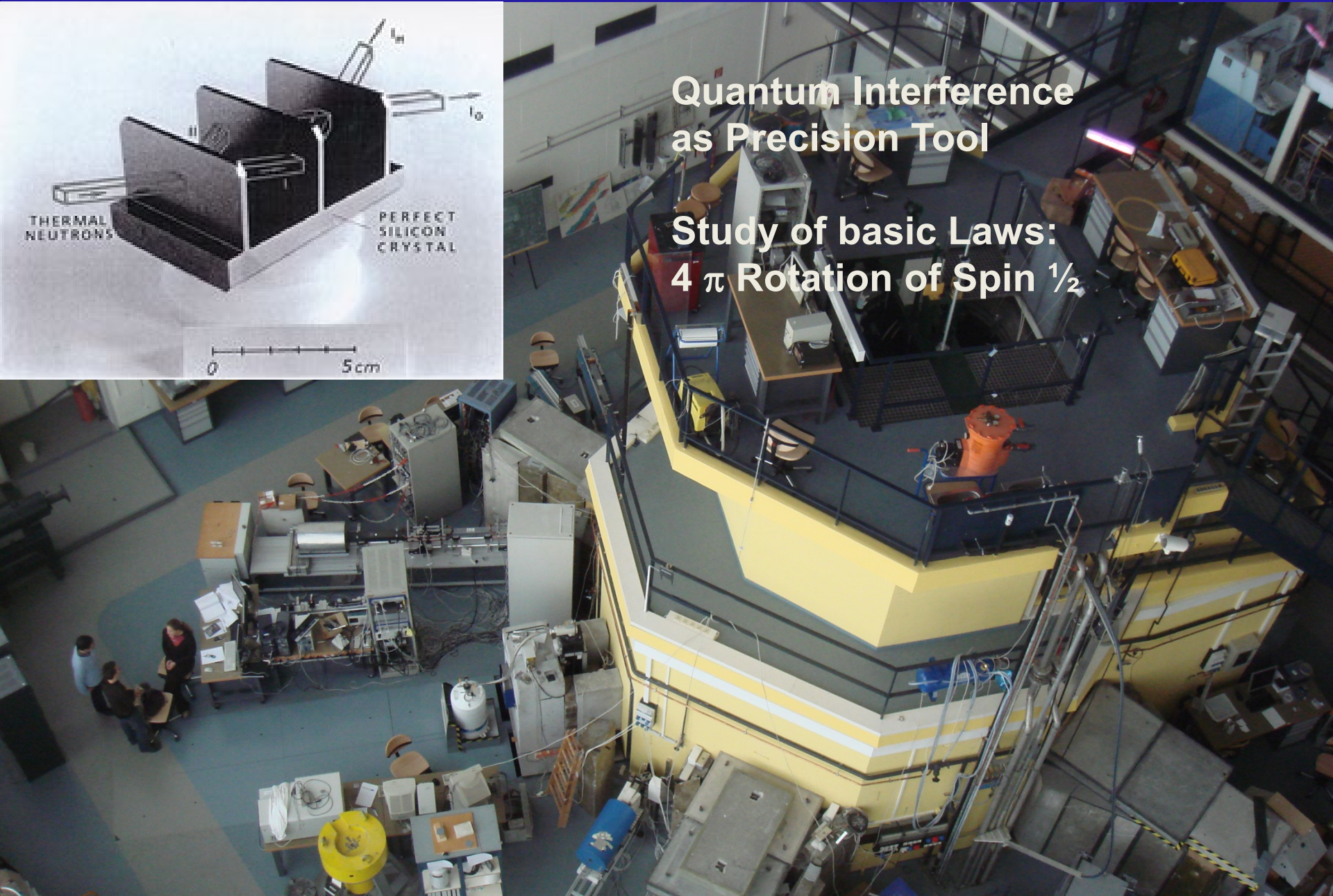


Das Neutron und seine Eigenschaften



Quantum Interference
as Precision Tool

Study of basic Laws:
 4π Rotation of Spin $\frac{1}{2}$



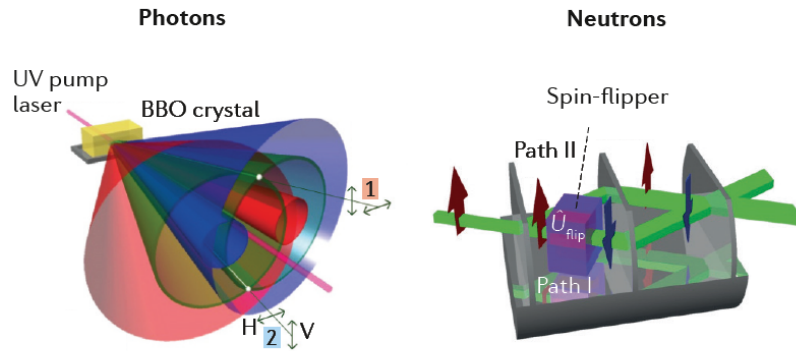
Topics 2021:

● Gravitation and Cosmology

- Interferometry: Spin Rotation Coupling
 - CANNEX: Casimir Forces
 - qBOUNCE: Einstein – Cartan - Gravity
-

Hasegawa, Sponar et al.: Interferometer

Bipartite: maximally entangled Bell-state



$$|\Psi_{\text{Bell}}^{2\gamma}\rangle = \frac{1}{\sqrt{2}} (|H\rangle_1 |V\rangle_2 + |V\rangle_1 |H\rangle_2)$$

$$|\Psi_{\text{Bell}}^n\rangle = \frac{1}{\sqrt{2}} (|I\rangle |\downarrow\rangle + |II\rangle |\uparrow\rangle)$$

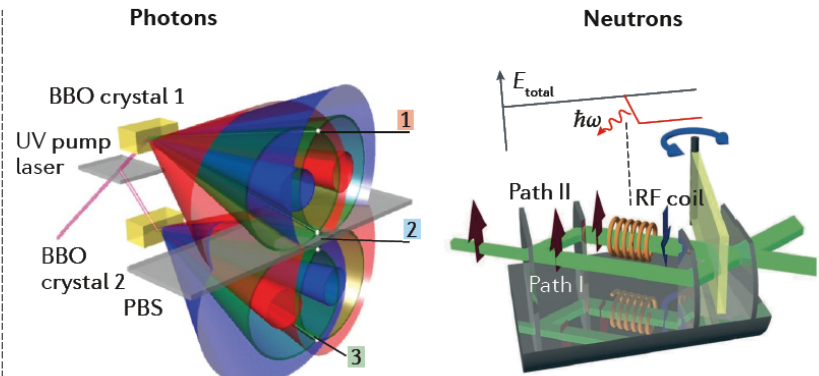
Bell inequality tests:

- | | |
|---|--|
| ① ${}^{2\gamma}S_{\text{Bell}}^{1998} = 2.73(2) \not\leq 2 = S_{\text{Bell}}^{\text{real}}$ | ③ ${}^n S_{\text{Bell}}^{2003} = 2.051(19) \not\leq 2 = S_{\text{Bell}}^{\text{real}}$ |
| ② ${}^{2\gamma}S_{\text{Bell}}^{2018} = 2.65(2) \not\leq 2 = S_{\text{Bell}}^{\text{real}}$ | ④ ${}^n S_{\text{Bell}}^{2014} = 2.365(13) \not\leq 2 = S_{\text{Bell}}^{\text{real}}$ |

Kochen-Specker (KS) theorem :

- | | |
|---|--|
| ⑤ ${}^{2\gamma}S_{\text{KS}} = 4.55(25) \not\leq 4 = S_{\text{KS}}^{\text{real}}$ | ⑥ ${}^n S_{\text{KS}} = 2.291(8) \not\leq 1 = S_{\text{KS}}^{\text{real}}$ |
|---|--|

Multipartite: Greenberger-Horne-Zeilinger state



$$|\Psi_{\text{GHZ}}^{3\gamma}\rangle = \frac{1}{\sqrt{2}} (|H\rangle_1 |H\rangle_2 |H\rangle_3 + |V\rangle_1 |V\rangle_2 |V\rangle_3)$$

$$|\Psi_{\text{GHZ}}^n\rangle = \frac{1}{\sqrt{2}} (|I\rangle |\uparrow\rangle |E_0\rangle + |II\rangle |\downarrow\rangle |E_0 - \hbar\omega\rangle)$$

Greenberger-Horne-Zeilinger (GHZ):

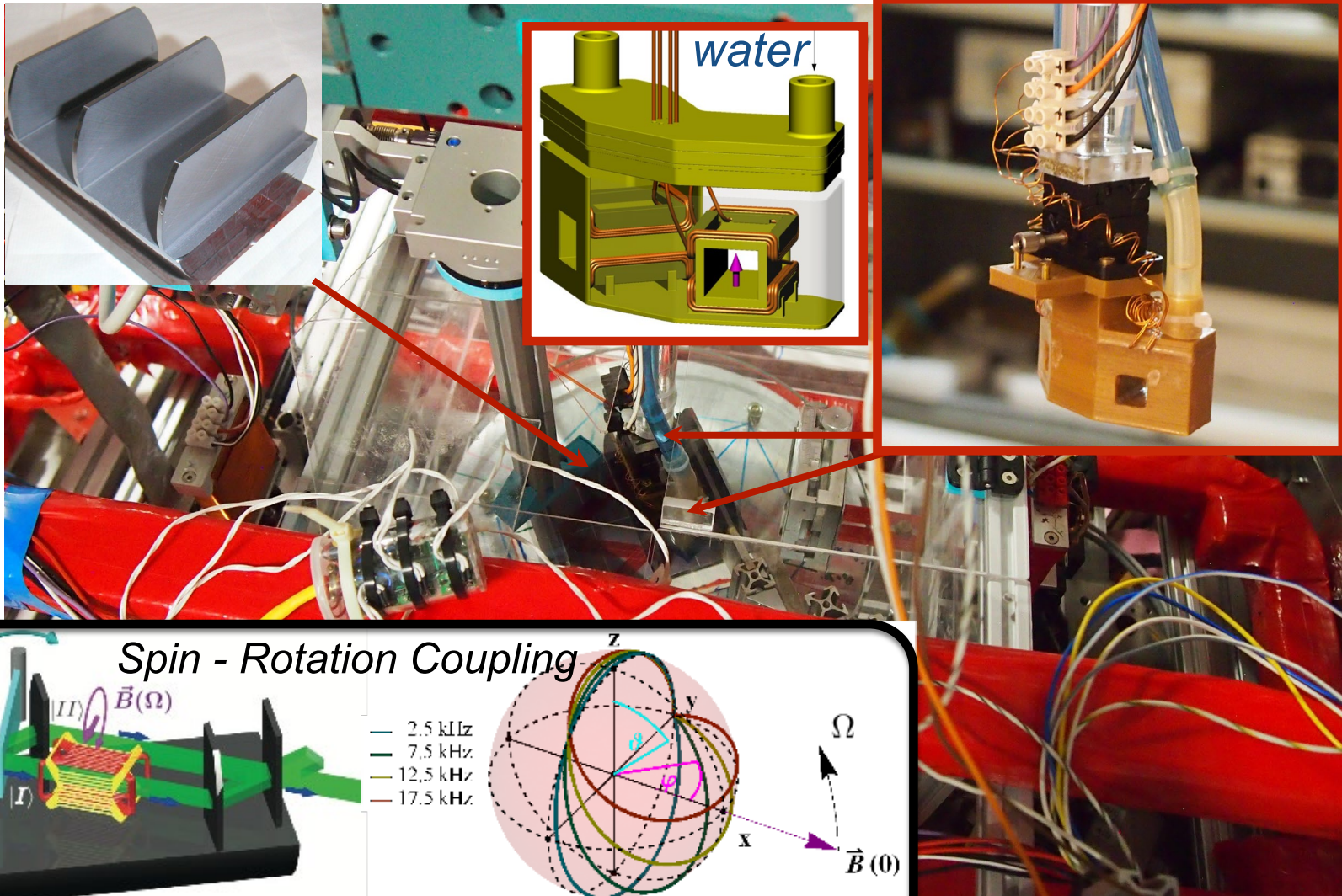
- | | |
|--|--|
| ⑦ ${}^{3\gamma}M_{\text{GHZ}} = 3.48(16) \not\leq 2 = M_{\text{GHZ}}^{\text{real}}$ | ⑧ ${}^n M_{\text{GHZ}}^{2010} = 2.291(8) \not\leq 2 = M_{\text{GHZ}}^{\text{real}}$ |
| ⑩ ${}^{4\gamma}M_{\text{GHZ}} = 4.433(32) \not\leq 2 = M_{\text{GHZ}}^{\text{real}}$ | ⑨ ${}^n M_{\text{GHZ}}^{2020} = 3.052(24) \not\leq 2 = M_{\text{GHZ}}^{\text{real}}$ |

Entanglement

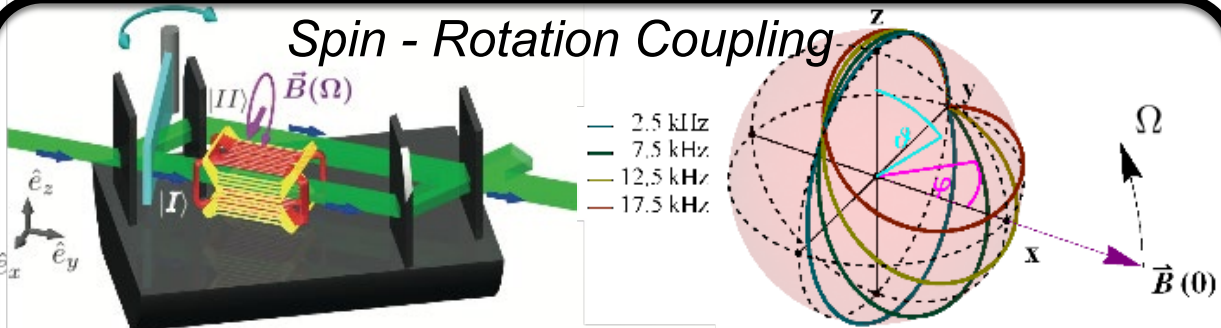
- Between path and spin
- And path, spin and energy

Nature Review, in print

Spin Rotation Coupling



Spin - Rotation Coupling



A. Danner, S. Sponar, and Y. Hasegawa, npj Quantum Information 6,23 (2020)

H. Geppert, T. Denkmayr, Stephan. Sponar, H. Lemmel, T. Jenke and Y. Hasegawa, *Phys. Rev. A* **97**, 052111 (2018)

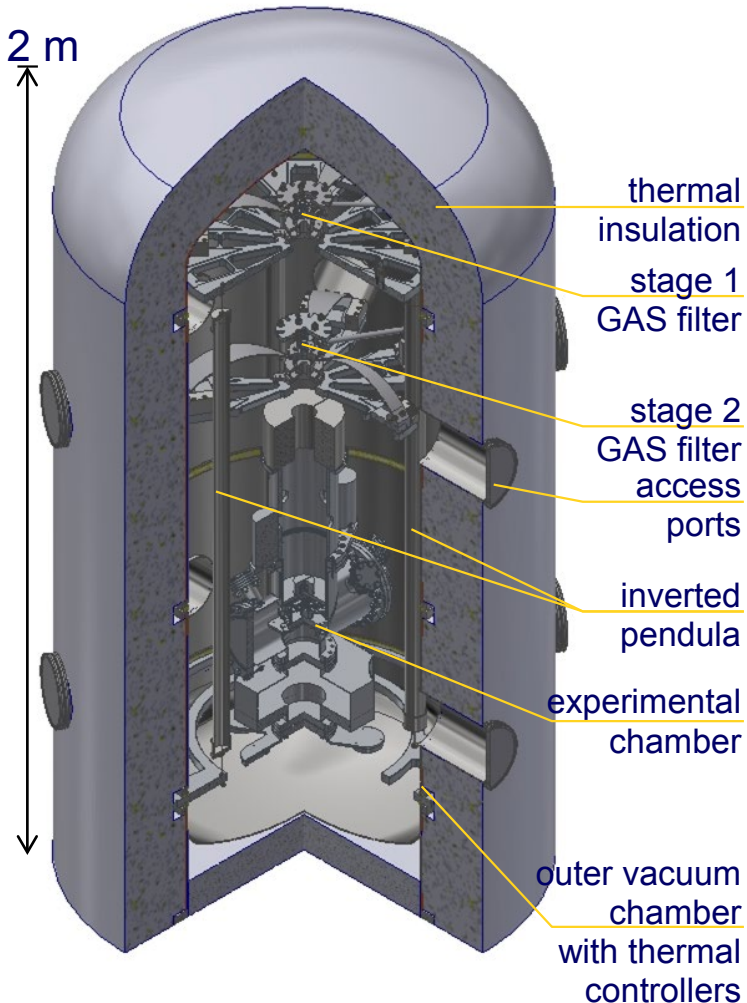
T. Denkmayr, H. Geppert, H. Lemmel, M. Waegell, J. Dressel, Y. Hasegawa, and S. Sponar, *Phys. Rev. Lett.* **118**, 010402 (2017)

T. Denkmayr, H. Geppert, S. Sponar, H. Lemmel, A. Matzkin, J. Tollaksen, and Y. Hasegawa, *Nature Communications* **5**, 4492 (2014)

S. Sponar, Tobias Denkmayr, H. Geppert, H. Lemmel, A. Matzkin, J. Tollaksen, and Y. Hasegawa, *Phys. Rev. A* **92**, 062121 (2015)

René Sedmik: Casimir Force Measurements

CANNEX – Casimir And Non-Newtonian force EXperiment



Worldwide only force metrology platform operating in the geometry of plane parallel plates.

Recent progress:

Design for two-staged active/passive seismic isolation system to form
“the most quiet space in Austria”

Updated core design for perfect thermal control with mK precision.

Prospective limits for chameleon, symmetron, dilaton dark energy, scalar axions, scalar-pseudoscalar interactions, Yukawa forces... as well as the most precise measurements of Casimir forces.

In preparation:

.Financing for construction phase

René Sedmik et al.: qBOUNCE- Experiment

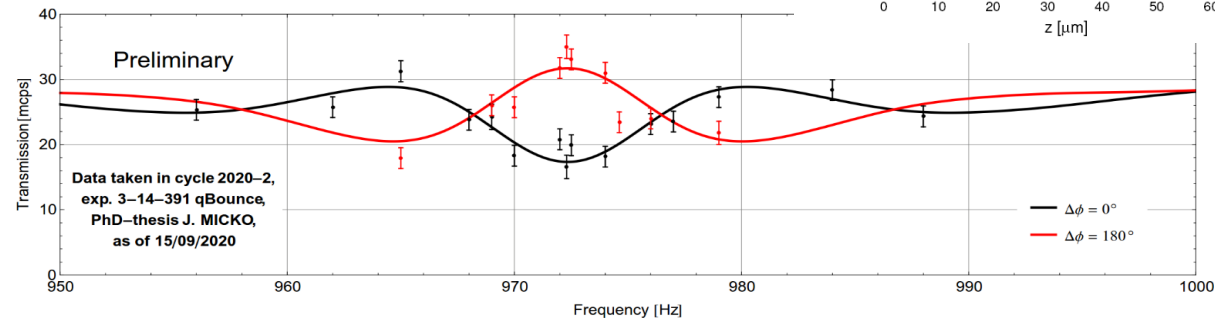
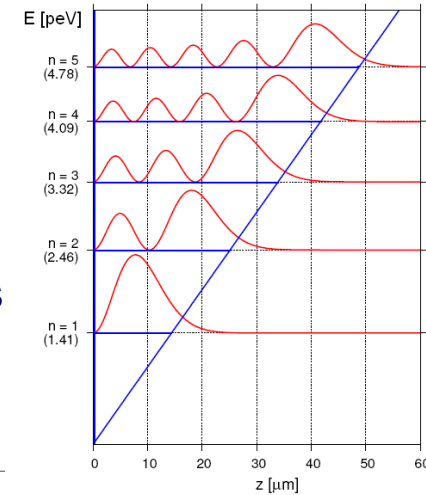
Ramsey spectroscopy with gravitational quantum states of neutrons

qBounce Experiment



Recent progress:

Reduction of systematics.
Sensitivity improved to 8×10^{-16} eV/ $\sqrt{\text{days}}$
First observation of transition



In preparation:

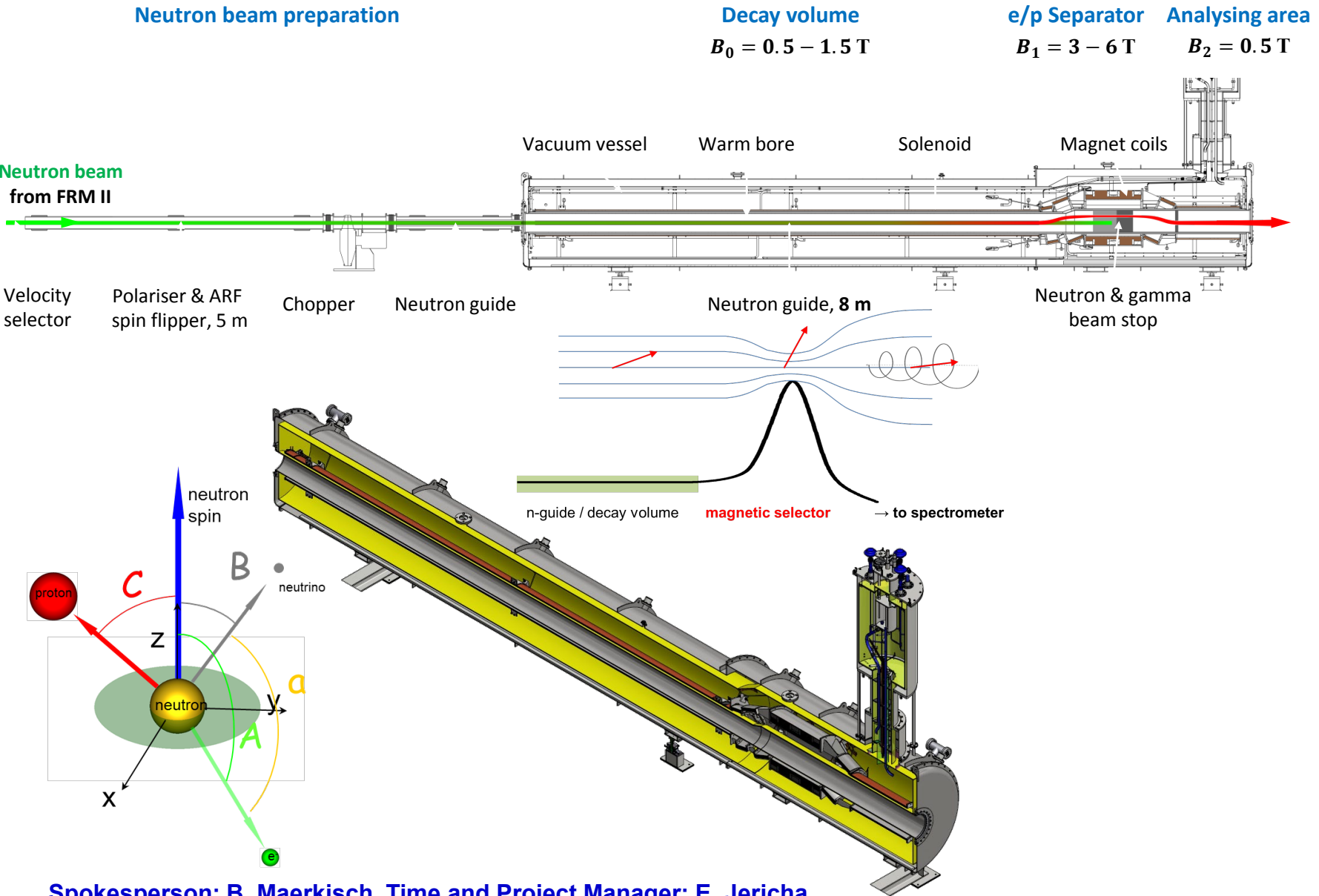
Weak Equivalence Principle test with neutrons and ^{87}Rb
UCN quantum waveguides in Si channels
Search for Einstein Cartan Gravity

Topics 2021:

● Particle Physics

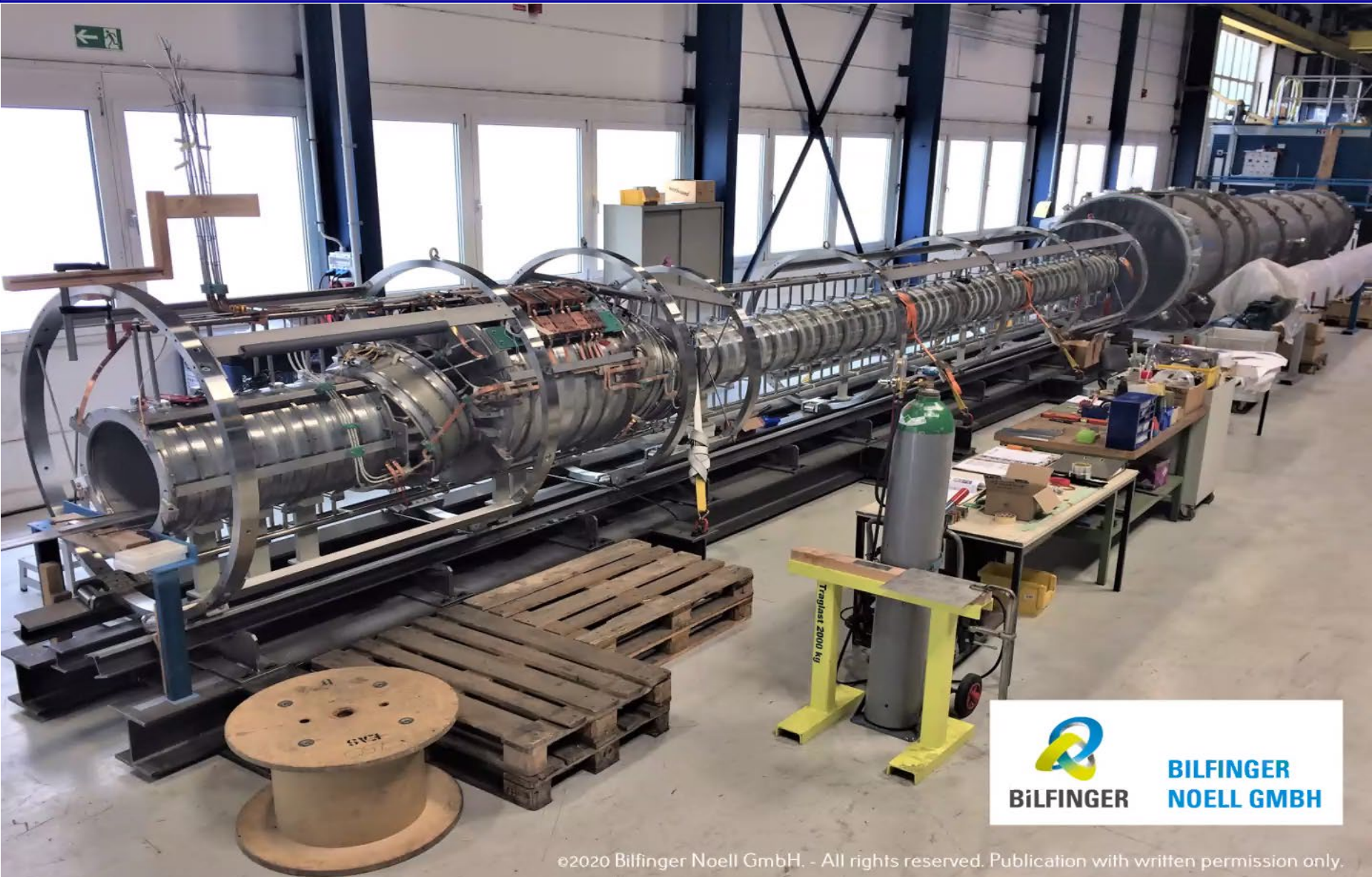
- Neutron Beta Decay
 - Delivery of PERC Facility @ TUM
 - Cyclotron Radiation Emission Spectroscopy (CRES)
 - Coherent Neutrino Scattering
 - nTOF @ CERN
-

Neutron Beta Decay & High Precision Experiments with PERC



Spokesperson: B. Maerkisch, Time and Project Manager: E. Jericha

PERC @ BNG



BILFINGER
NOELL GMBH

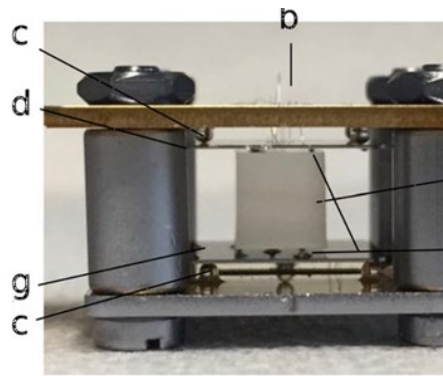
Jericha et al.: Betas, PERC Facility & the CRAB Experiment

PERC Magnet System

Delivery to FRM II
Early spring 2021

CRES

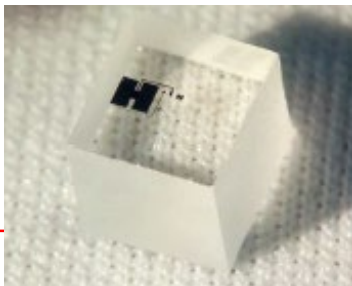
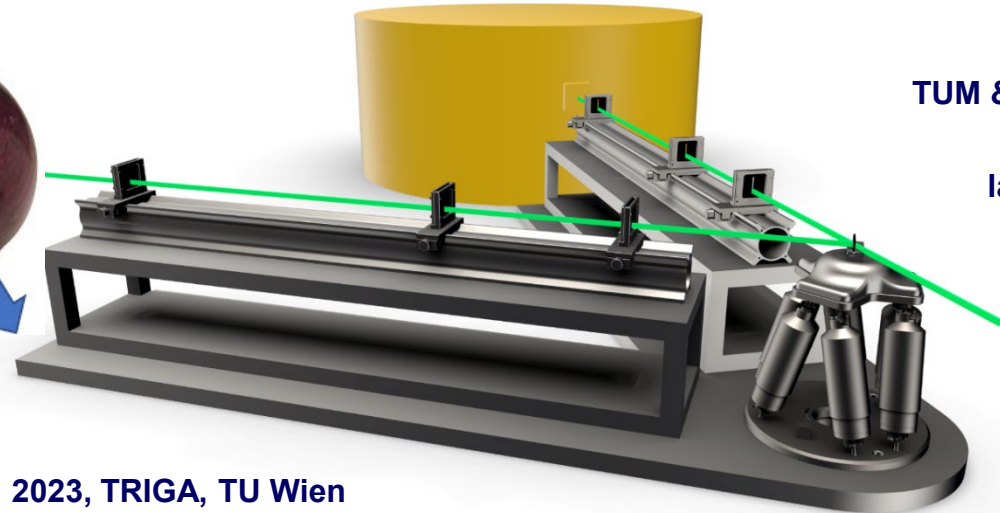
I. Pradler: Cyclotron Radiation
Emission Spectroscopy



Neutrinos and Dark Matter CRC – Project N07

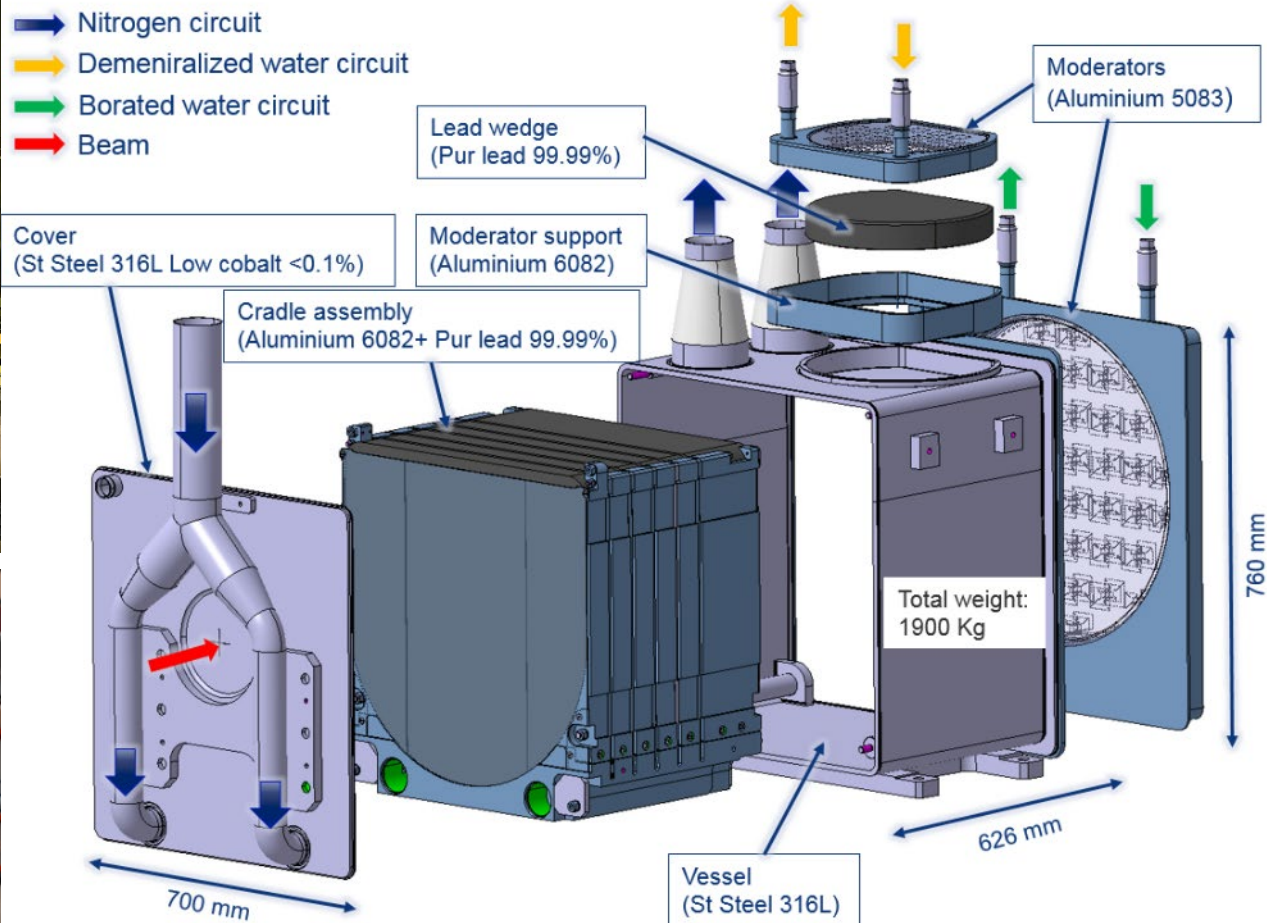
TUM & TU Wien

Review
last 2 days



CRAB: 2023, TRIGA, TU Wien

Jericha: n_TOF @ CERN: Pb Spallation Target #3



- Tests with cold nitrogen: operational – February 2021
- Installation in the target pit – March 2021
- Beamline installations – finished by end of June 2021
- 1st proton beam on target – planned 19.07.2021

Pitschmann et al.: Theory Group @ AT1

- Search for Dark Energy and Modified Gravity with Tabletop Experiments
- Standard Model Tests on the 10^{-4} level

Topics 2020/21:

● Neutron Radiography

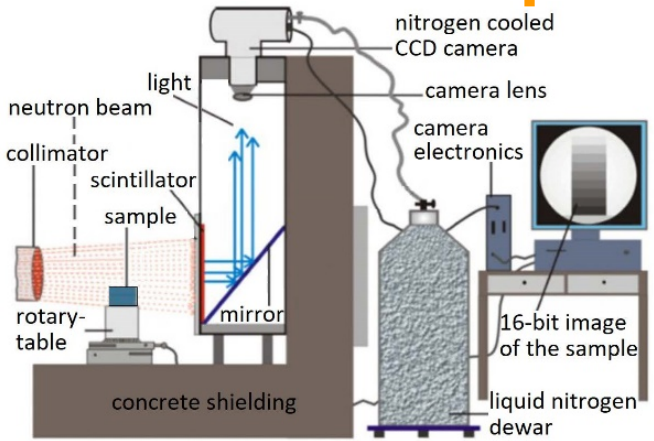
- Rock Analysis
 - Dental Checks
 - Floor Screed Analysis
-

Zawisky et al.: Neutron Radiography

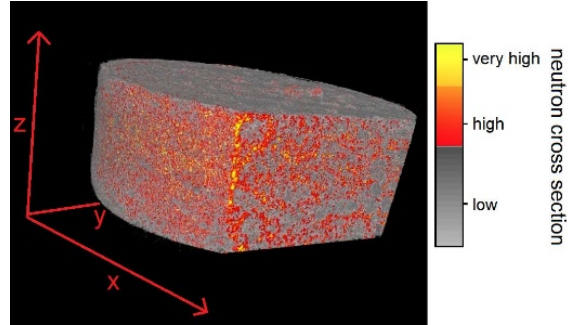
Drying Process of Screed Samples



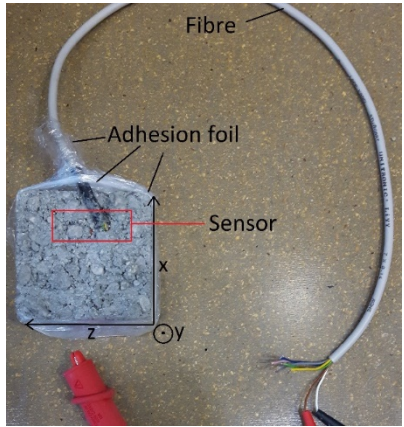
Estrichproben



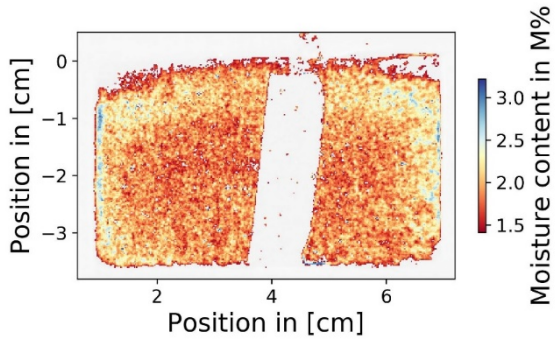
Neutronenradiographie am ATI



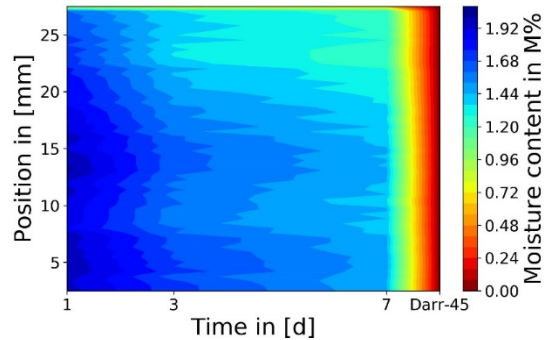
3D Feuchteverteilung



Estrichprobe mit Feuchtesensor zum Vergleich



2D Feuchteverteilung



Trocknungsverhalten



TECHNISCHE
UNIVERSITÄT
WIEN



Abteilung für Tieftemperaturphysik und Supraleitung

M. Eisterer, *Atominstytut, TU Wien*



ATI, 25. März 2021

Tiefemperaturphysik und Supraleitung (LTP)

Universitätspersonal

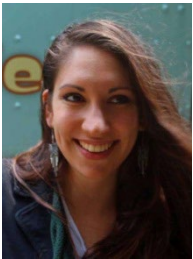


Franz Sauerzopf

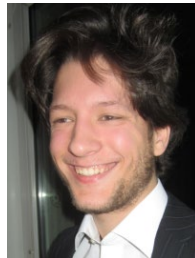


Michael Eisterer

ProjektassistentInnen:



Sigrid Holleis



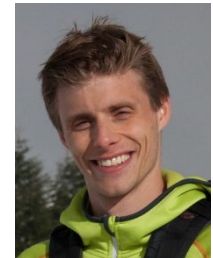
David Bader



Mattia Ortino



Florian Semper



Raphael
Unterrainer

1 Masterstudent, 9 Projektstudierende

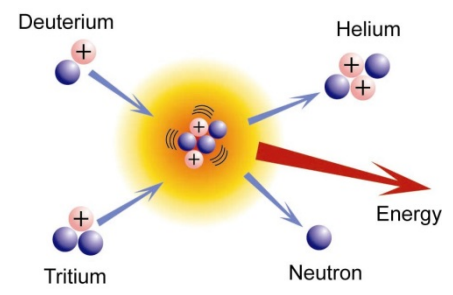
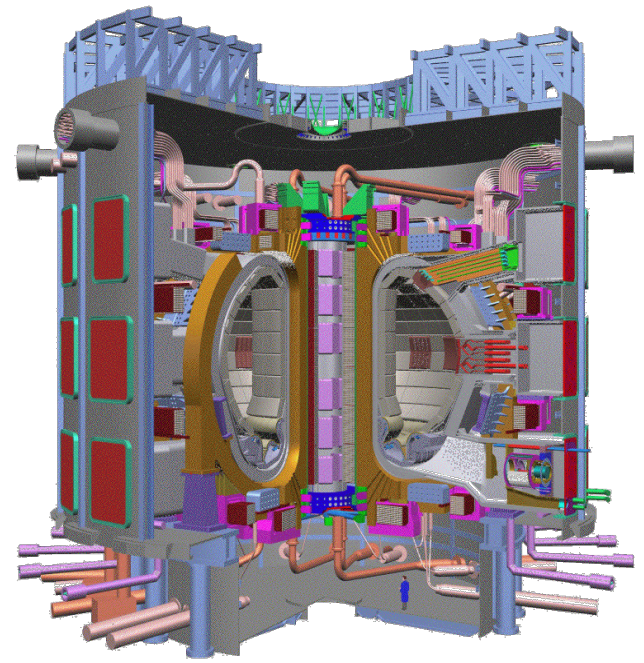
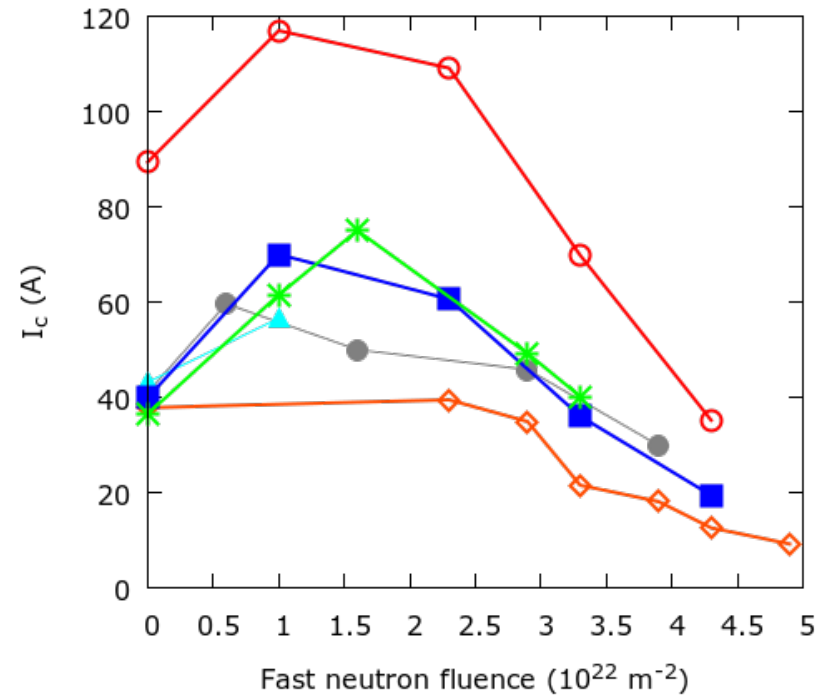


AKTUELLE PROJEKTE



EUROfusion

Influence of neutron radiation on coated conductor performance

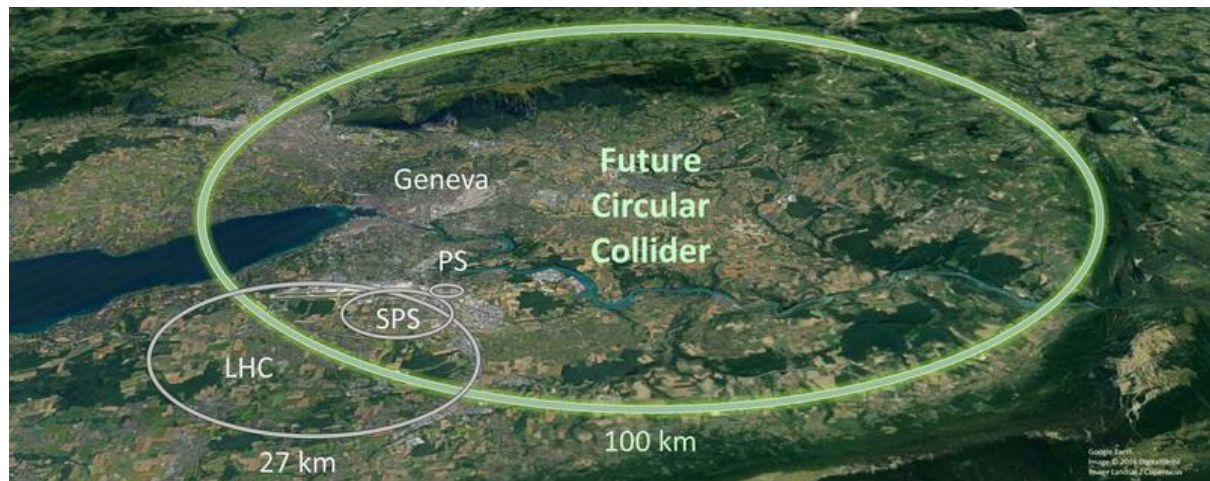


Zusammenarbeit mit MIT, Universität Oxford...

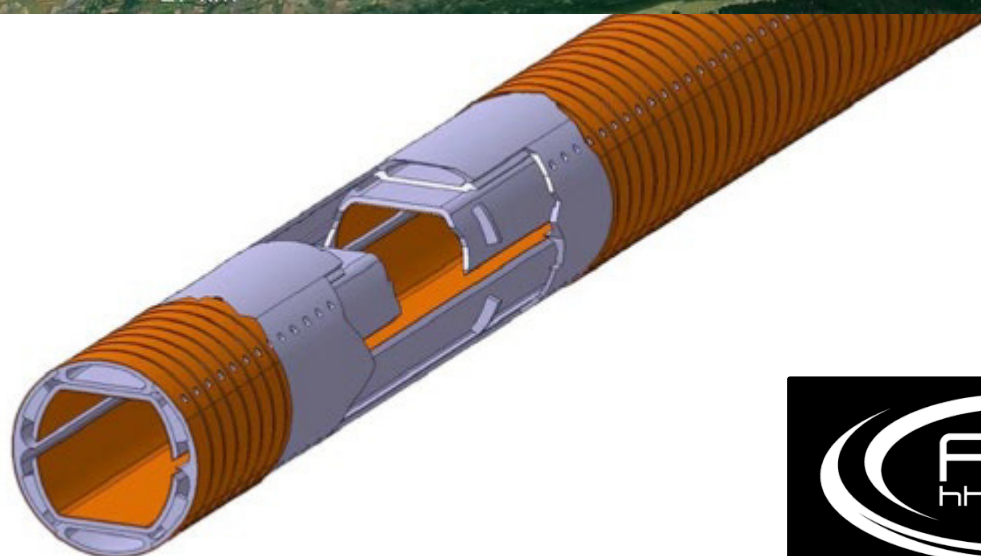
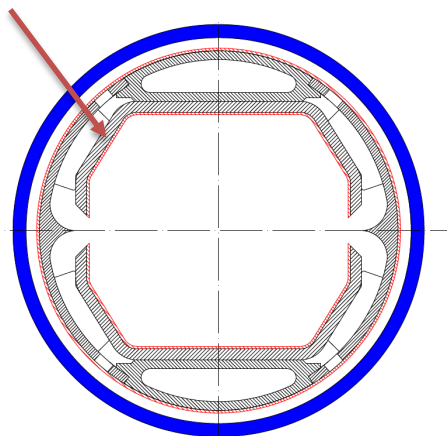


Zusammenarbeit mit dem CERN (FCC)

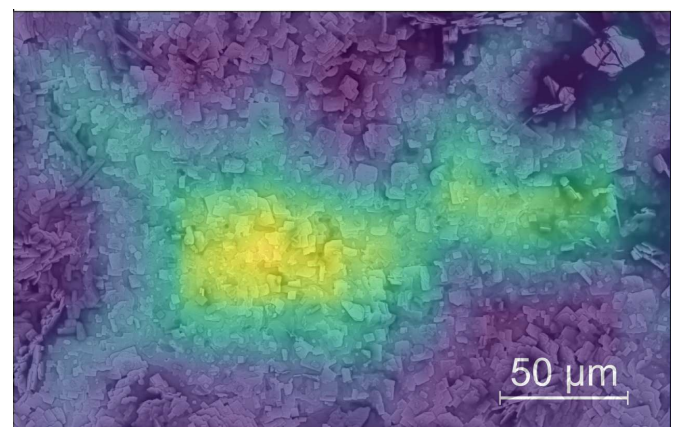
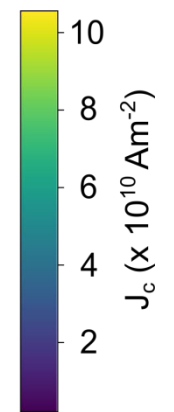
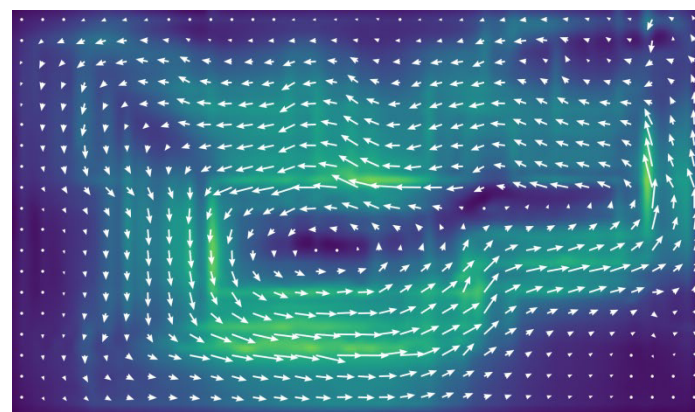
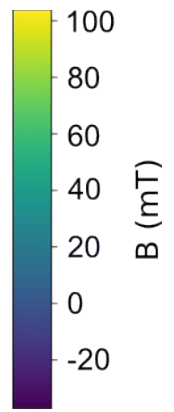
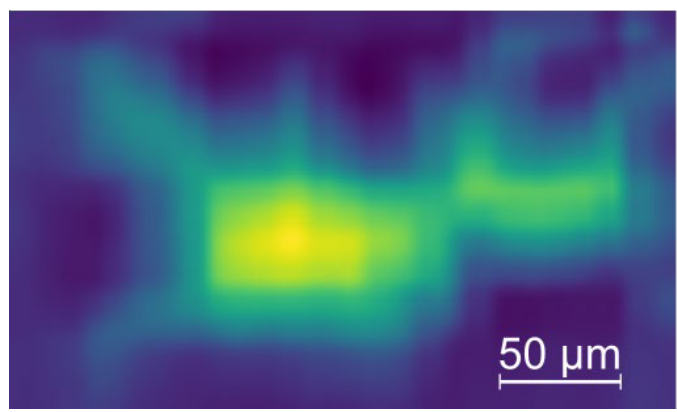
Entwicklung einer
supraleitenden
Strahlabschirmung



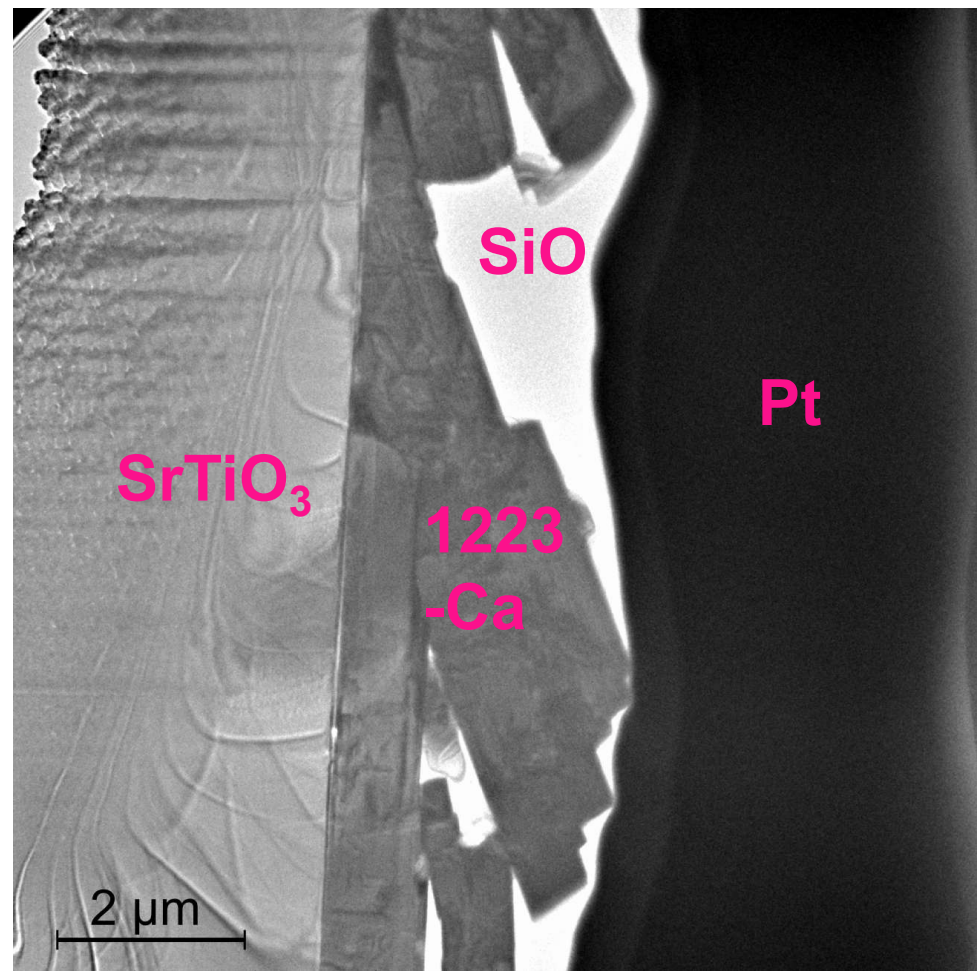
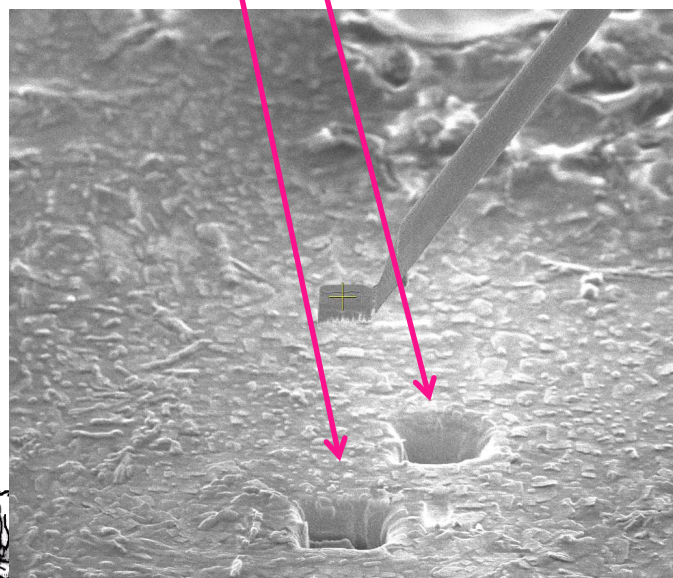
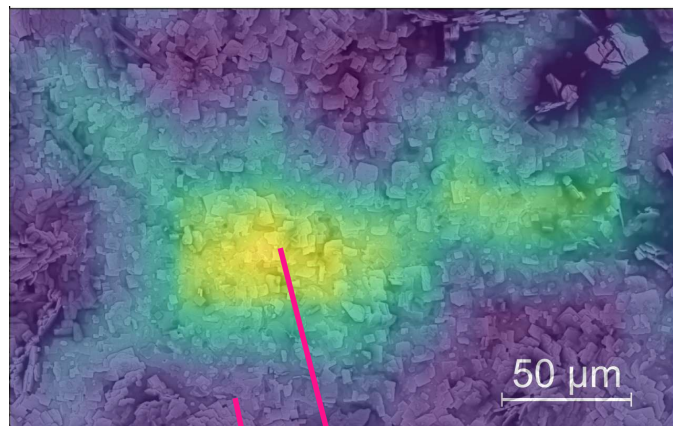
Supraleitende Beschichtung



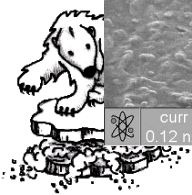
Erste Versuche der Beschichtung



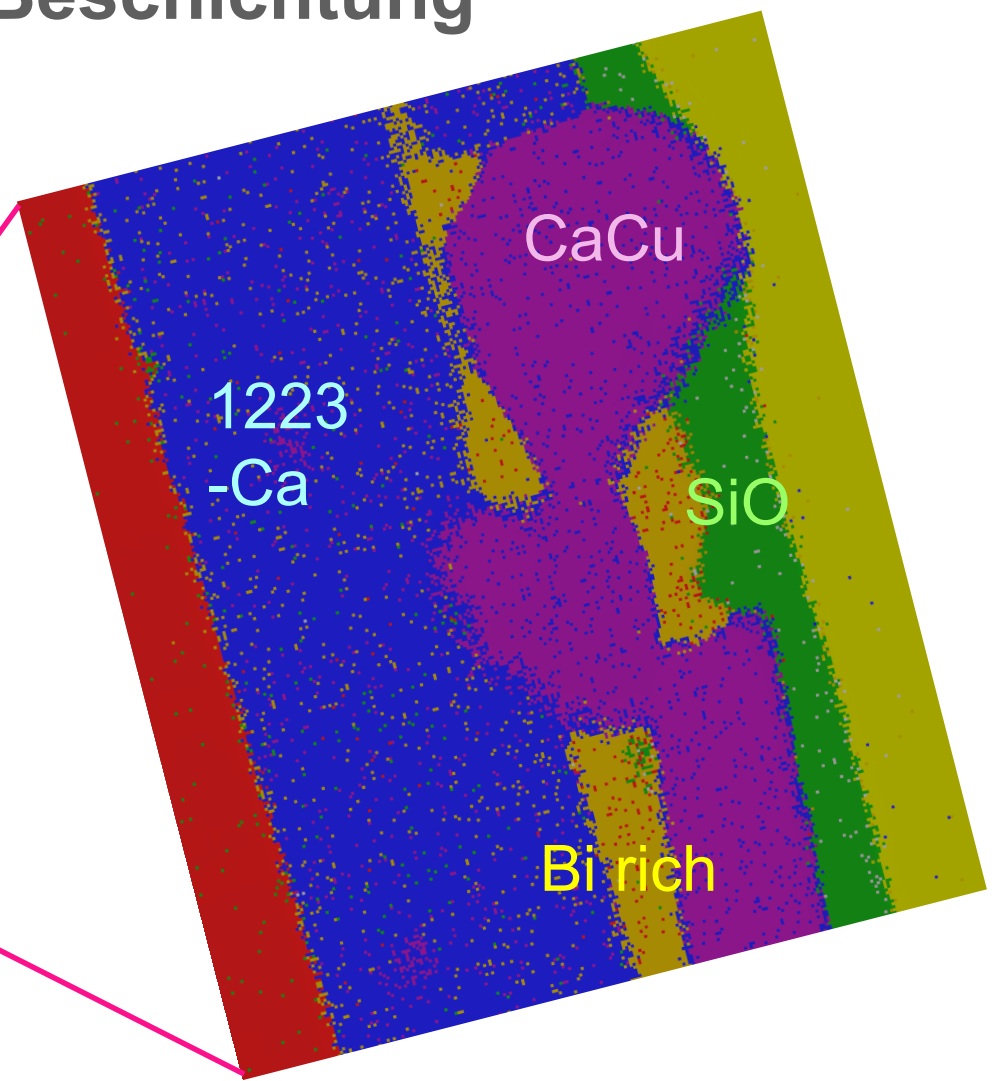
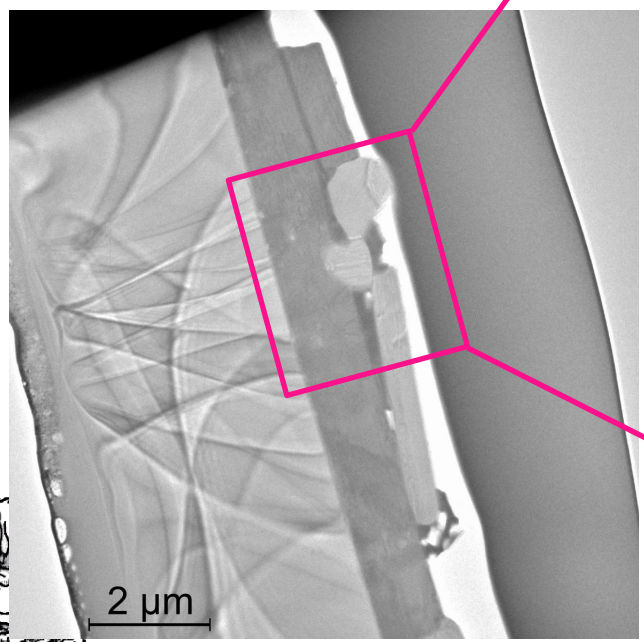
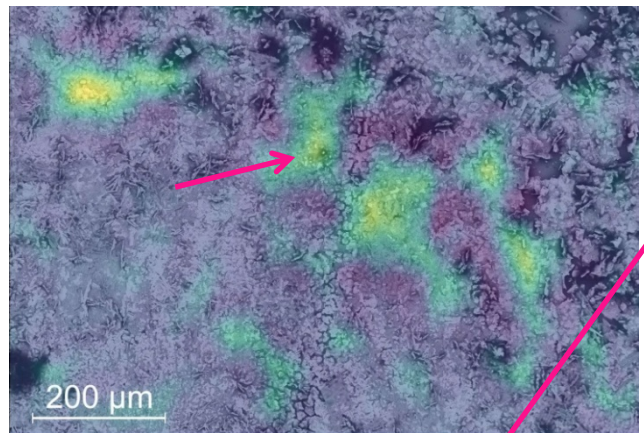
Erste Versuche der Beschichtung



curr	det	HV	mag	WD	tilt	HFW	
0.12 nA	ETD	10.00 kV	600 x	15.1 mm	52 °	249 μm	50 μm



Erste Versuche der Beschichtung

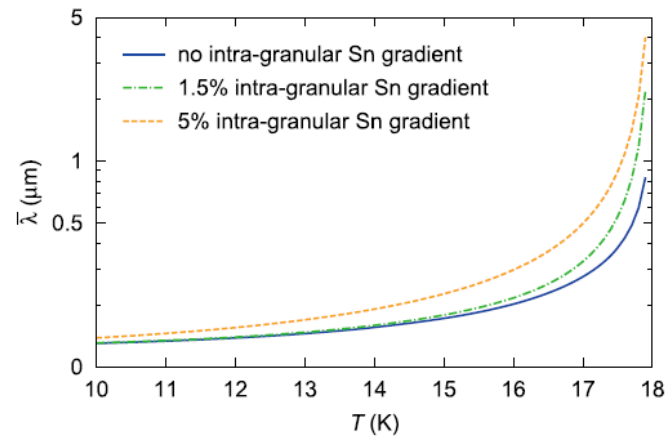
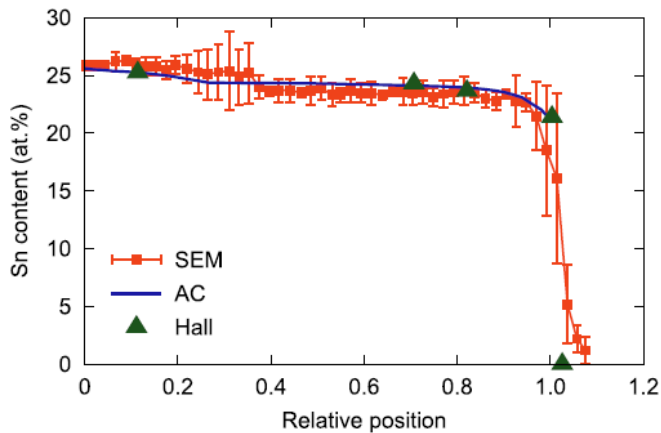
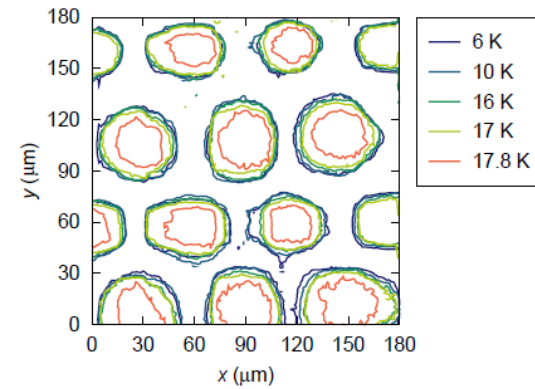
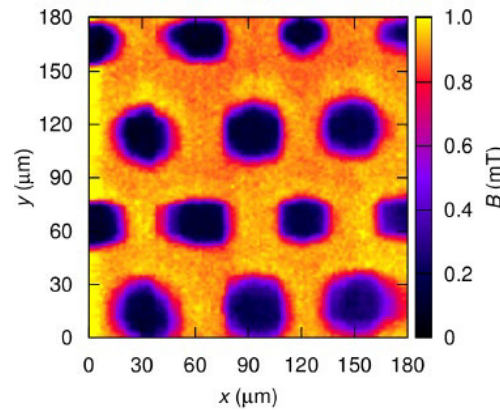
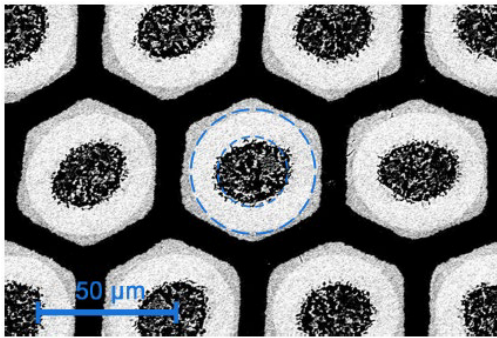


Mikrostrukturuntersuchungen am USTEM

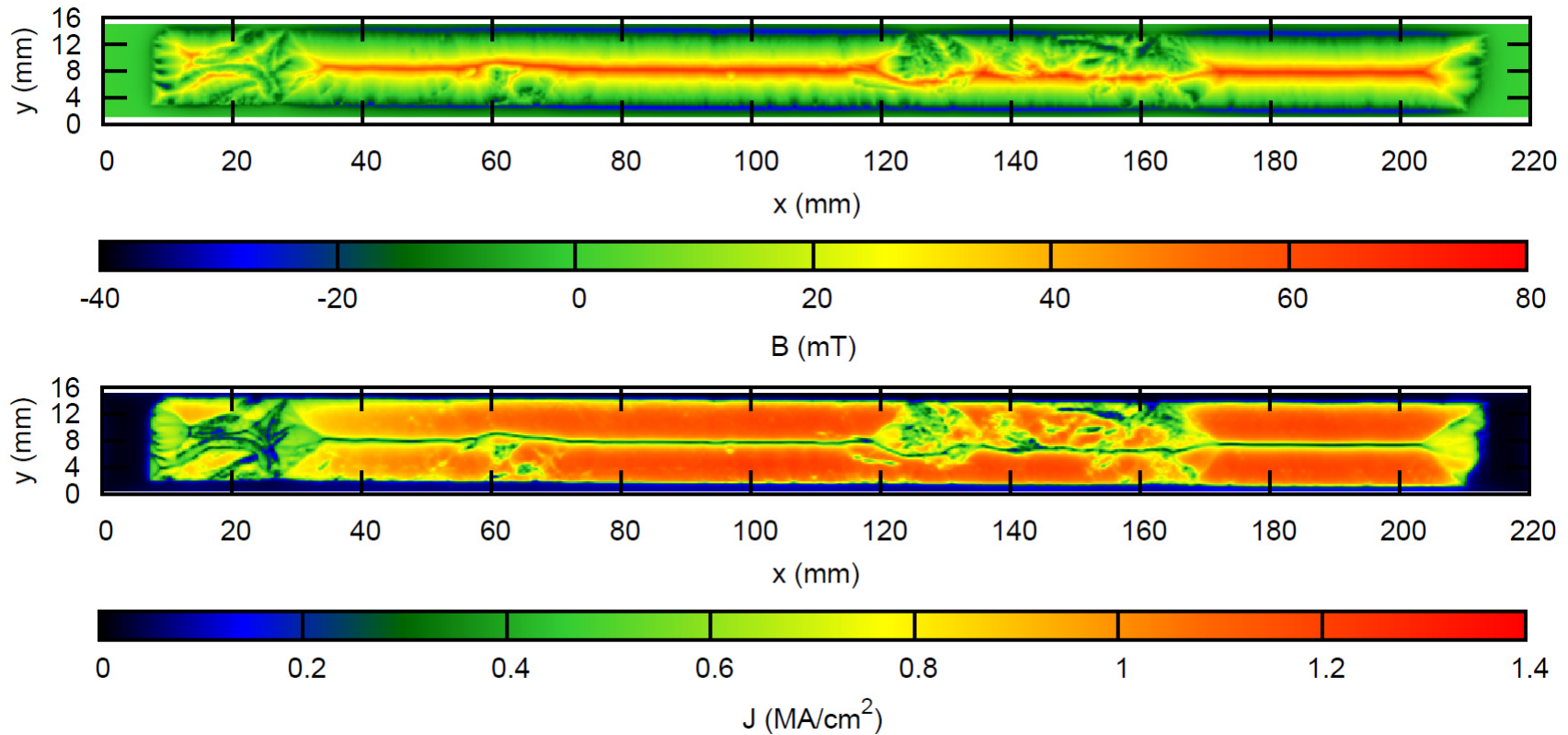


Zusammenarbeit mit dem CERN (FCC)

- Leiterentwicklung für die 16 T Dipol-Magnete:



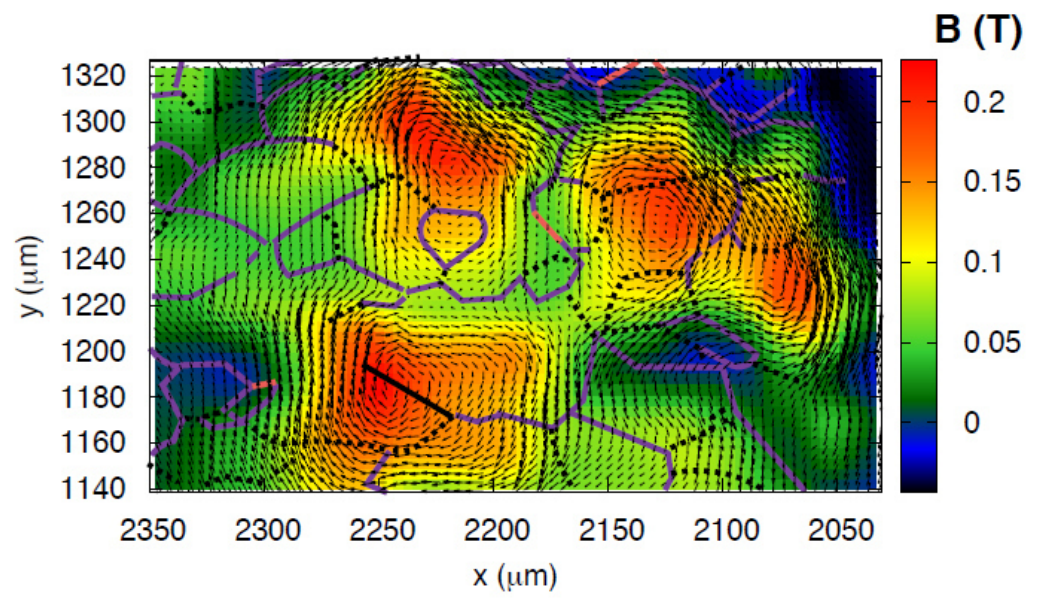
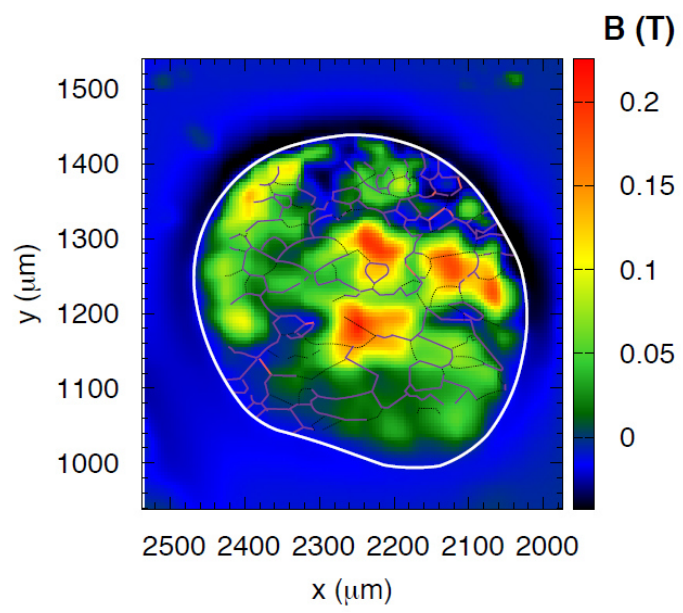
Supraleitende Bandleiter (FP-7, FWF)



Raster-Hallsondenmikroskopie



Supraleitende Bandleiter (FP-7, FWF)



Was behindert den Stromfluss?



Aufgabenstellungen für Bachelor-, Projekt- und Masterarbeiten

- In aktuelle Forschung eingebunden
- Messungen/Auswertung/Interpretation
- Numerische Simulationen
- Experimentelle Aufbauten
- Prozesssteuerung

Video Laborführung 

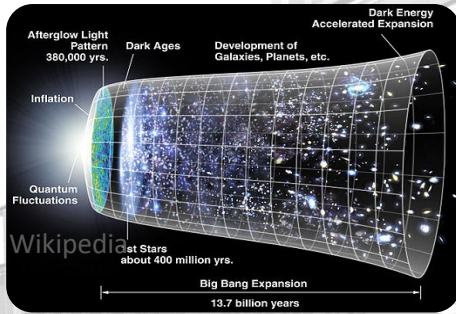


Atom- interferometrie

Philipp Haslinger
www.haslingerlab.com

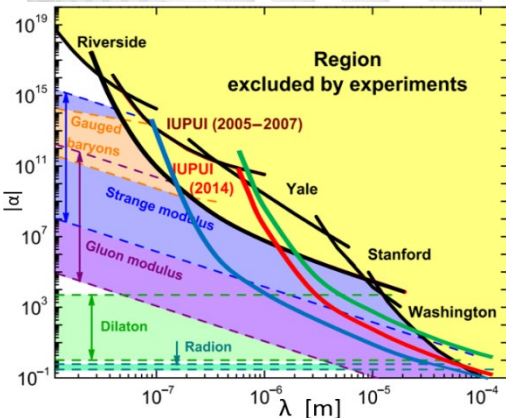


The Dark Universe

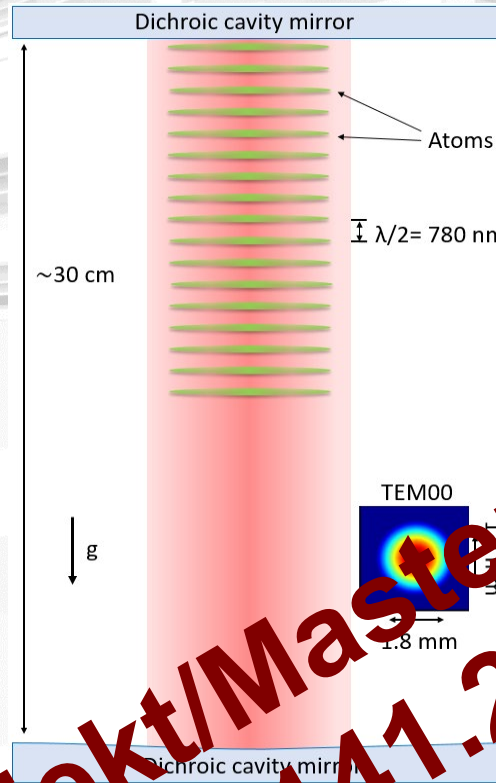


- Discover or rule out many models

Short Range Forces



- At $10 \mu\text{m}$, forces $>10^4 \times$ gravity possible
- Sense effects beyond the standard model: string theory...

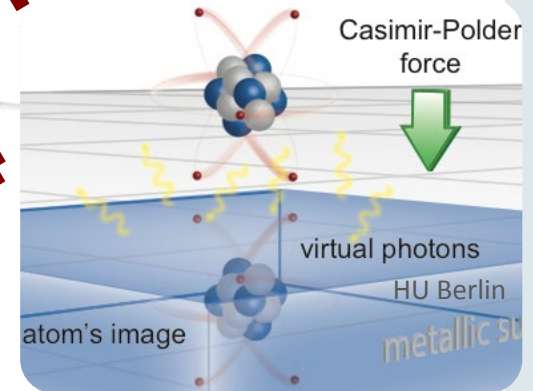


Light-Induced Interaction



- Mechanical effects of thermal light
- BEC, Ultracold gases, astrophysics,...

Casimir-Polder Interaction



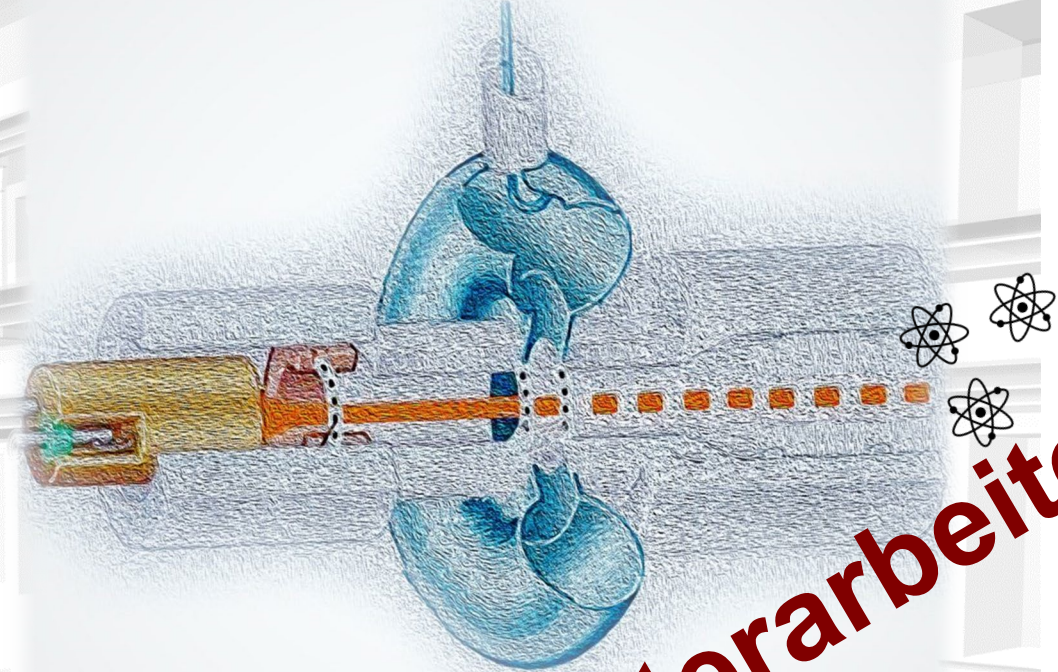
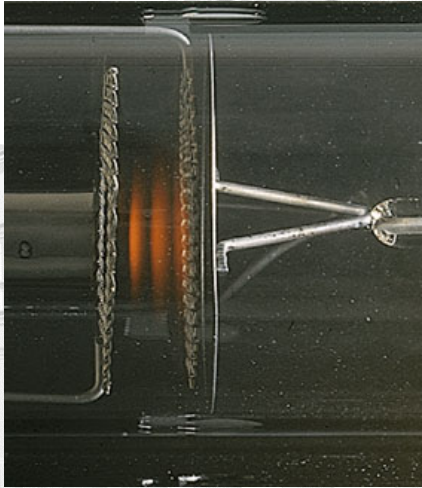
- Interaction from quantum fluctuations
- Temperature & spatial dependence

Projekt/Masterarbeiten
141.214

- Atoms: perfect test-particles
- Ultra long interaction times
- Map pot. energy landscape
- Miniaturized quantum sensor

Coherent Electron – Matter Interaction

Franck Hertz



*A Quantum Klystron –
Controlling Quantum Systems with Modulated Electron Beams*
D. Rätzel, D. Hartley, O. Schwartz, P. Haslinger
arXiv:2004.10168

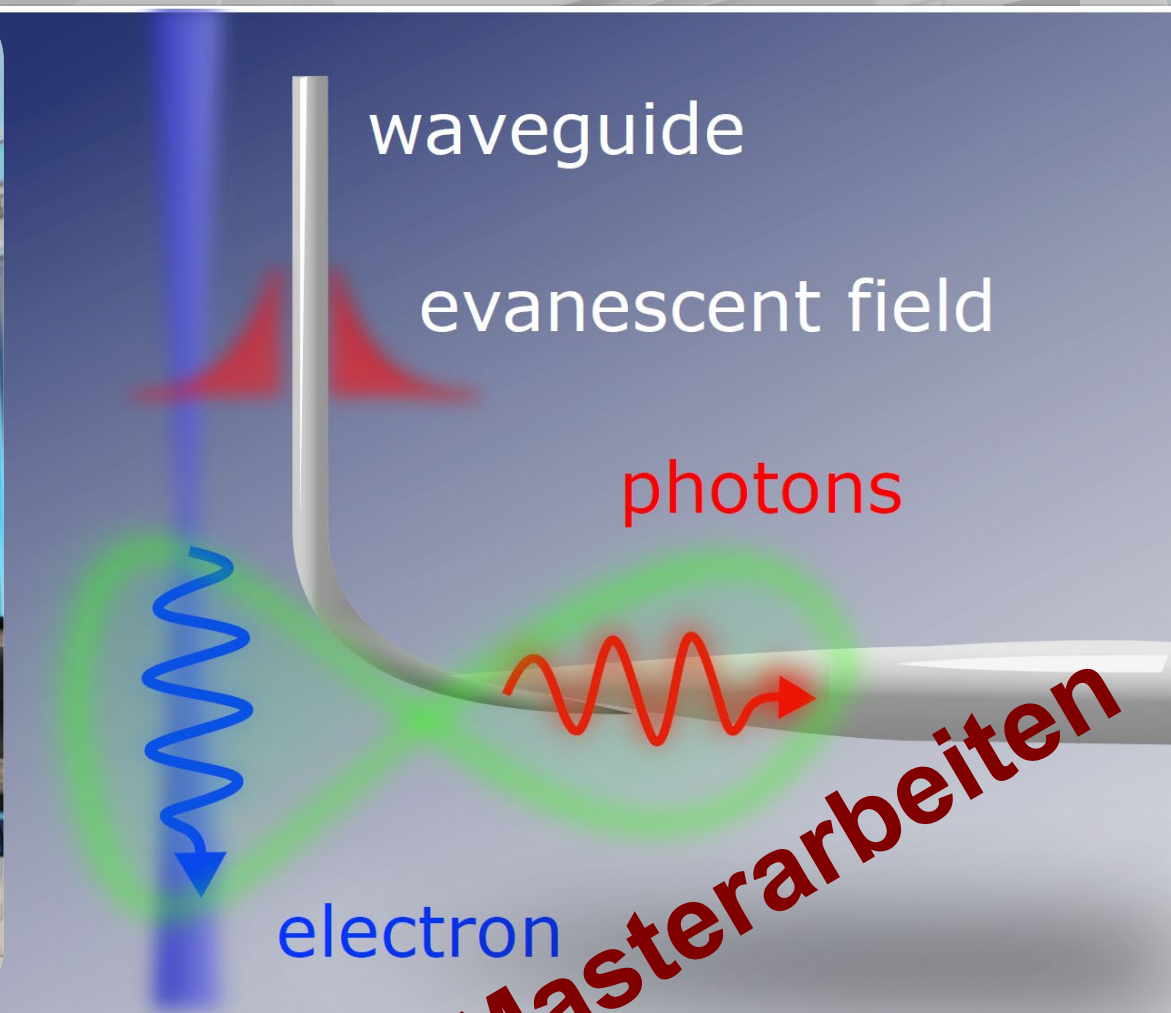
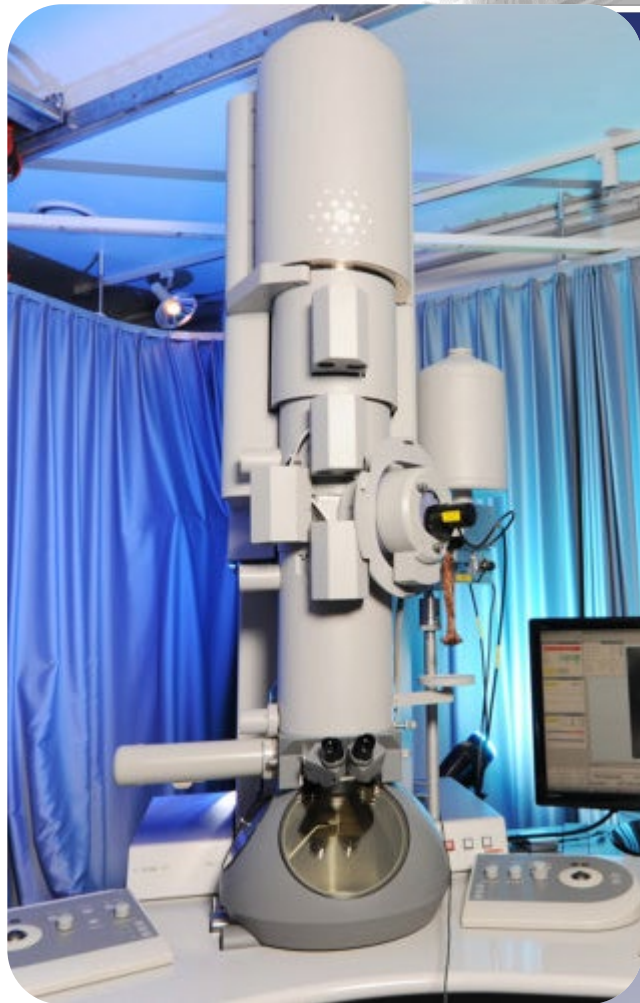
**Projekt/Masterarbeiten
141.214**

ESQ

Discovery

Electron – Photon Pairs

for Electron microscopy



Masterarbeiten

ESQ

Discovery

www.haslingerlab.com

philipp.haslinger@tuwien.ac.at

ATOM UND QUANTENPHYSIK



QUANTUM SIMULATION
QUANTUM THERMODYNAMICS
QUANTUM CIRCUITS

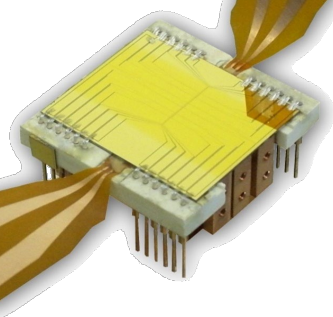
QUANTUM PHYSICS ON CHIPS

SCHMIEDMAYER – LAB

ANDREAS ANGERER

SEBASTIAN ERNE

IGOR MAZETS



Our Quantum Systems

Ultracold Quantum Gases Spins on quantum circuits

- Bose Einstein Condensate of Atoms and Molecules
- Degenerate Fermi Gas
- Low dimensional systems

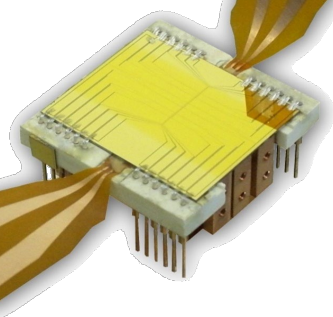
- Superconducting electronics
- Electron spins in Diamant
- Impurities in Quantum Crystals

Trapped and manipulated in microscopic traps (AtomChip)

20 mK environments in Cryostats

Single atom detection

MW electronics

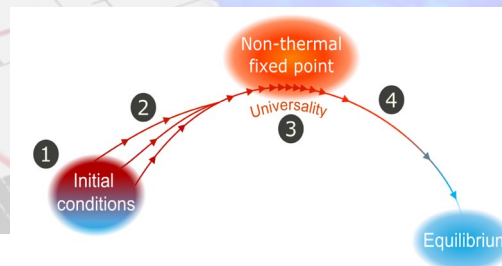
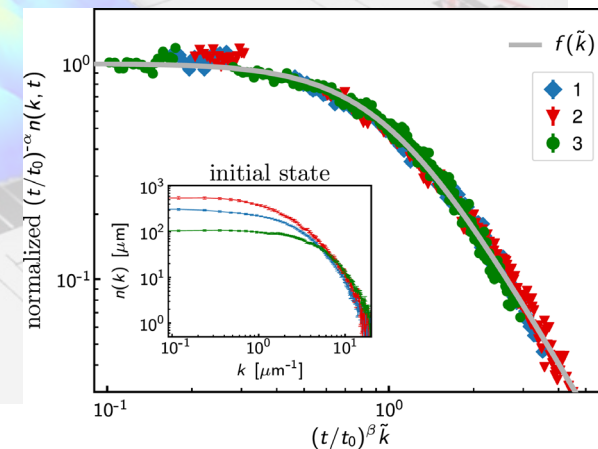
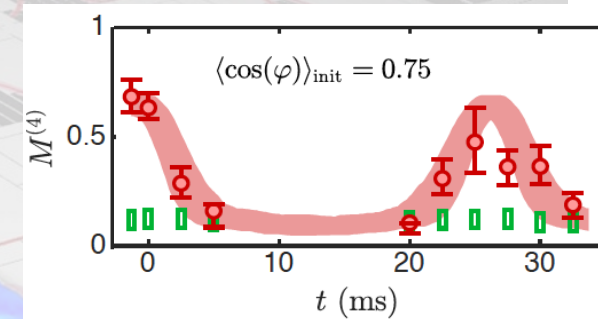


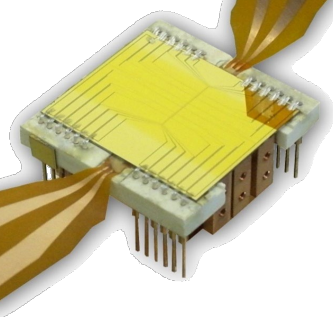
Quantum Simulation

quantum systems out of equilibrium

Does an isolated Quantum System Relax?

- How does classical physics emerge from the unitary evolution of quantum systems at the microscale?
- How to describe quantum systems far from equilibrium?
- Emergent physics from quantum evolution
- Universality



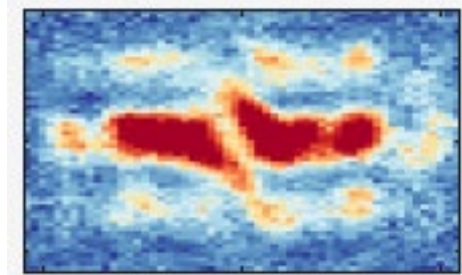


Quantum Simulation

Quantum Field Theory in the Lab

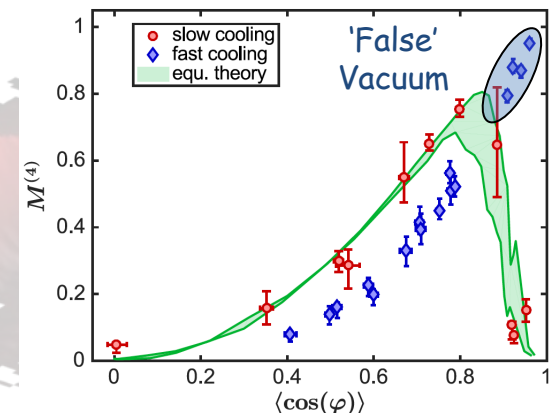
Quantum Gases are ideal tools to **quantum simulate QFTs**

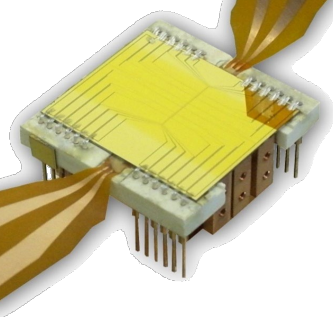
$T=0$ \leftrightarrow vacuum
 excitations \leftrightarrow particles
 energy density \leftrightarrow geometry
 ...



Building and probing Quantum Field Theories in the Lab

- Sine-Gordon Model
- What is the **quantum Vacuum**
 - Unruh radiation (what sees accelerated detector?)
 - Decay of **false vacuum**
 - Cosmological particle creation and **Inflation**
- Quantum simulating **physics in curved spacetime**





Quantum Thermo Dynamics

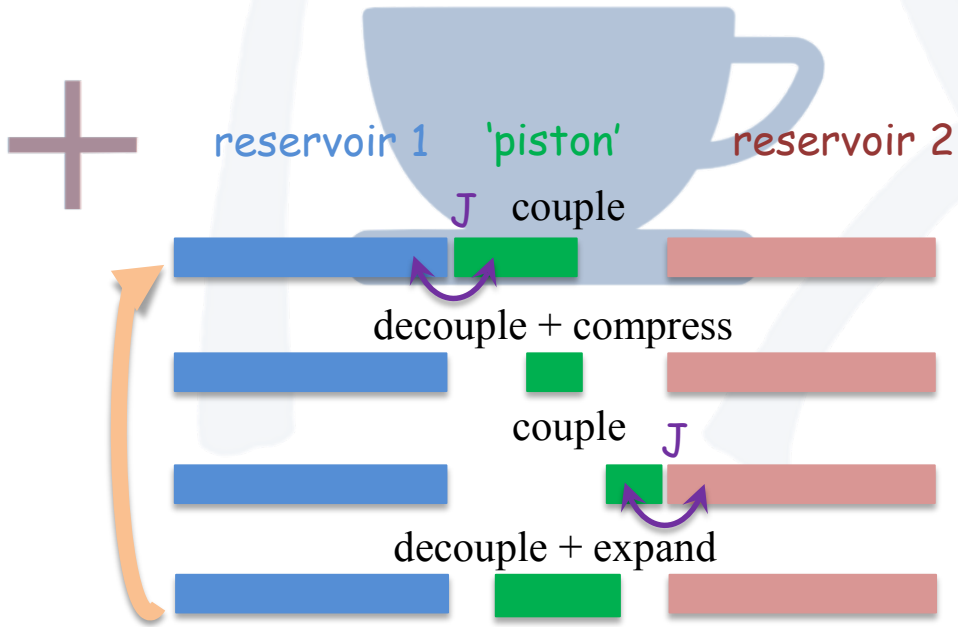
Thermal machines in the quantum world

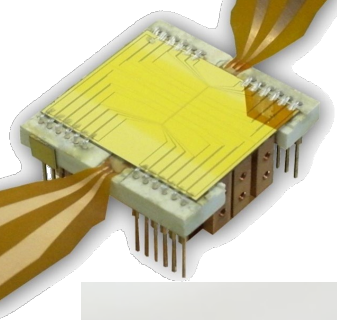
Quantum Field Machine

Build small thermal machines from quantum fields

Study interface between quantum physics and thermo dynamics

- What are the roles of quantum correlation?
- Can information fuel thermal machines?
- What is work and heat in the quantum world





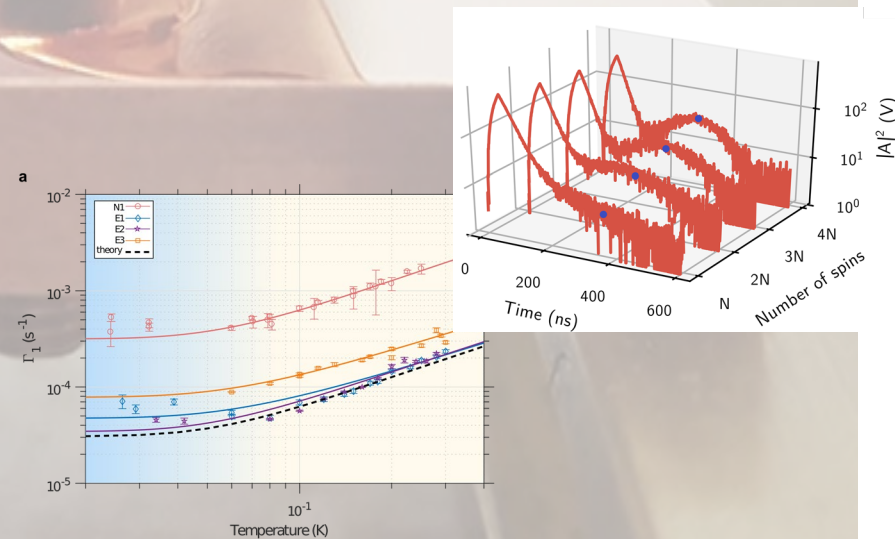
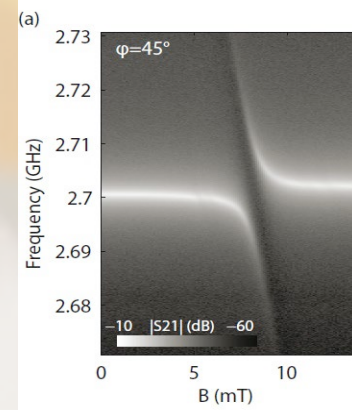
Superconducting Quantum Circuits

Couple **Spins** trapped in a solid state environment to
Superconducting Quantum Circuits

- **NV⁻** color center in Diamond
- Novel system: impurities in quantum crystals
 - Para-Hydrogen
 - Solid He
 - Other spin-0 noble gas crystals

Physics:

- **Superradiance**
- **Quantum battery**
- **Quantum memory**
- **Quantum sensors**



ATOM UND QUANTENPHYSIK

QUANTUM SIMULATION
QUANTUM THERMO DYNAMICS

QUANTUM CIRCUITS
QUANTUM PHYSICS ON CHIPS

BACHELOR, UND MASTER ARBEITEN
IM SCHMIEDMAYER – LAB

Andreas Angerer

andreas.angerer@tuwien.ac.at

Sebastian Erne

sebastian.erne@tuwien.ac.at

Igor Mazets

igor.mazets@gmail.com

Jörg Schmiedmayer

schmiedmayer@atomchip.org

www.atomchip.org



TECHNISCHE
UNIVERSITÄT
WIEN
Vienna University of Technology

Experimentelle Hochenergiephysik

Jochen Schieck
Jochen.Schieck@tuwien.ac.at

Institut für Hochenergiephysik der Österreichischen Akademie der Wissenschaften
und
Atominstitut der Technischen Universität Wien

www.hephy.at

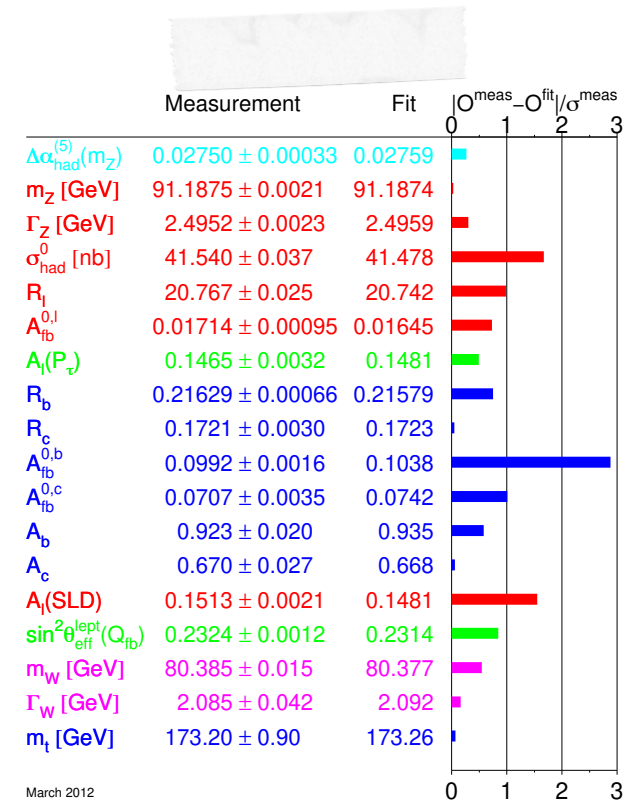
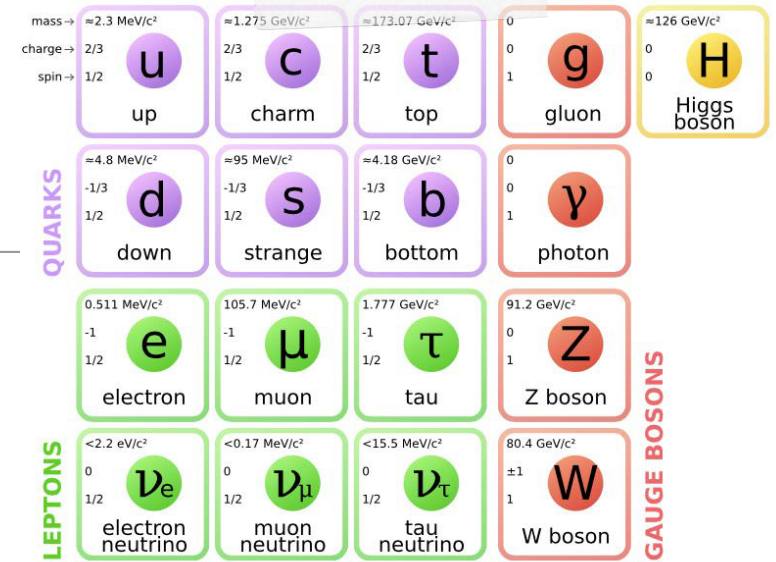


Experimentelle Hochenergiephysik

- Womit beschäftigt sich die Hochenergie(=Teilchen)physik?
 - Untersuchung der Eigenschaften der fundamentalen Bausteine des Universums
 - Wechselwirkung der fundamentalen Bausteine untereinander
- Mit welchen experimentellen Methoden wird untersucht?
 - Detektoren zum Nachweis der fundamentalen Bausteine
 - Beschleuniger um unentdeckte Massenzustände zu finden und zu untersuchen (“ $E=mc^2$ ”)

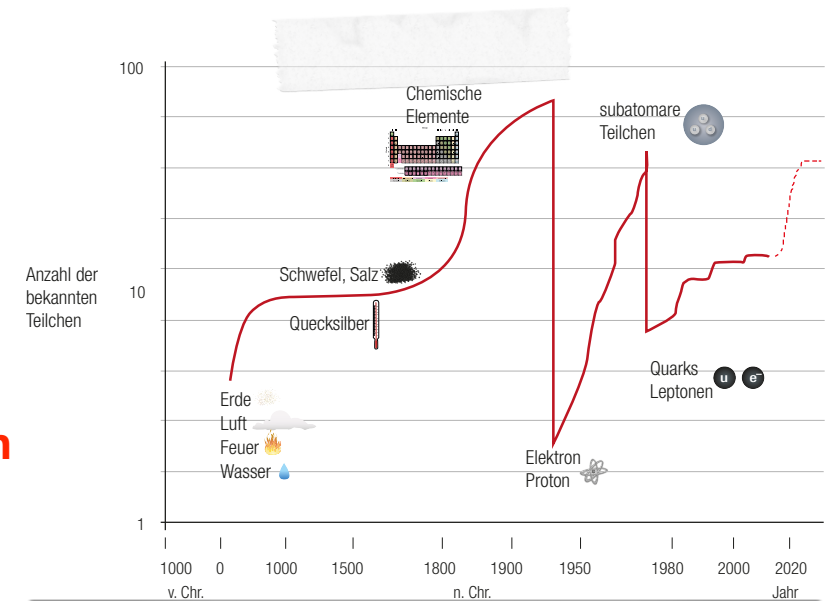
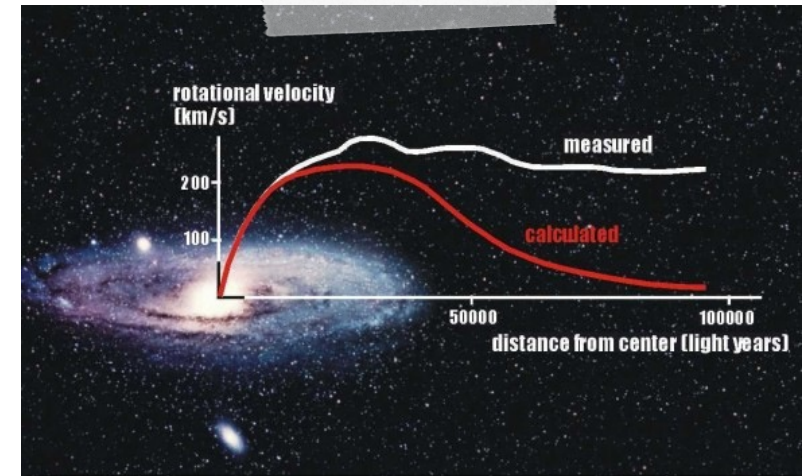
Einleitung

- mit dem Standardmodell der Teilchenphysik können alle mikroskopischen Phänomene erfolgreich beschrieben werden
- mit dem Higgs-Boson wurden alle Teilchen des Standardmodells experimentell nachgewiesen
 - das am LHC beobachteten Higgs-Boson hat die Eigenschaften des Higgs-Boson des Standardmodells
- man erwartet, daß das Standardmodell der Teilchenphysik nur eine "effektive Theorie" einer umfangreicheren Theorie ist



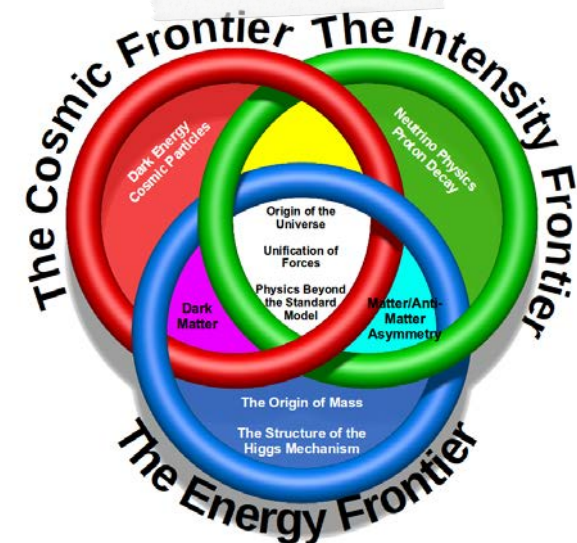
Das Standardmodell: offene Fragen

- es existieren Beobachtungen auf astrophysikalischen Skalen, die sich nicht mit Teilchen und Wechselwirkungen aus dem Standardmodell beschreiben lassen
- das Standardmodell der Teilchenphysik
 - erklärt nicht die Gravitation
 - enthält keinen Kandidaten für die “Dunkle Materie”
 - enthält nicht genug CP-Verletzung um die Baryon-asymmetrie zu erklären
- Standpunkt eines Teilchenphysikers: diese neuen Phänomene müssen durch neue Teilchen und Kräfte beschrieben werden
- **Suche nach neuen Teilchen und neuen Symmetrien**



Trinität der Teilchenphysik

- ein schlüssiges Bild der Physik jenseits des Standardmodells erfordert eine kohärente Interpretation mit unterschiedlichen Ansätzen
 - **Energie:** $E=mc^2$
("Entdeckung des Higgs")
 - **Intensität:**
Vergleich von Präzisionsmessungen mit theoretischen Vorhersagen
 - **Kosmische Untersuchungen:**
Bestätigung des Teilchencharakters als Ausgangspunkt der astrophysikalischen Beobachtungen



Das Institut für Hochenergiephysik (HEPHY)

- zentraler Punkt der modernen Hochenergiephysik:
Suche nach einer Physik jenseits des Standardmodells
- Am HEPHY werden alle drei Ansätze verfolgt
 - Forschung am CMS-Experiment am LHC am CERN
 - B-Flavour-Physik am Belle / Belle II-Experiment am KEK in Tsukuba (Japan)
 - Suche nach “Dunkler Materie” mit dem CRESST /EURECA-Detektor

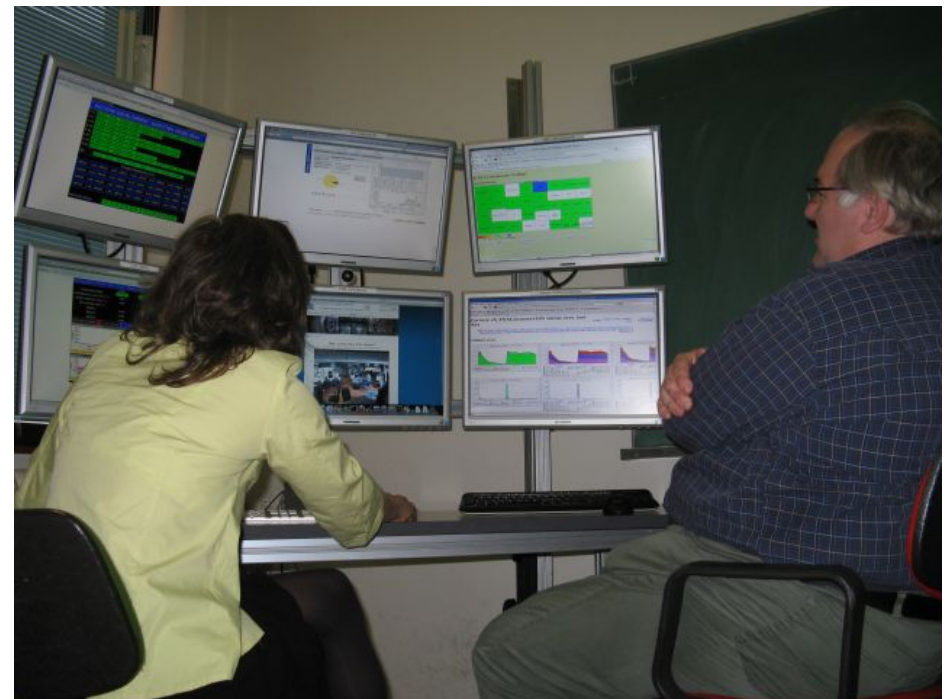
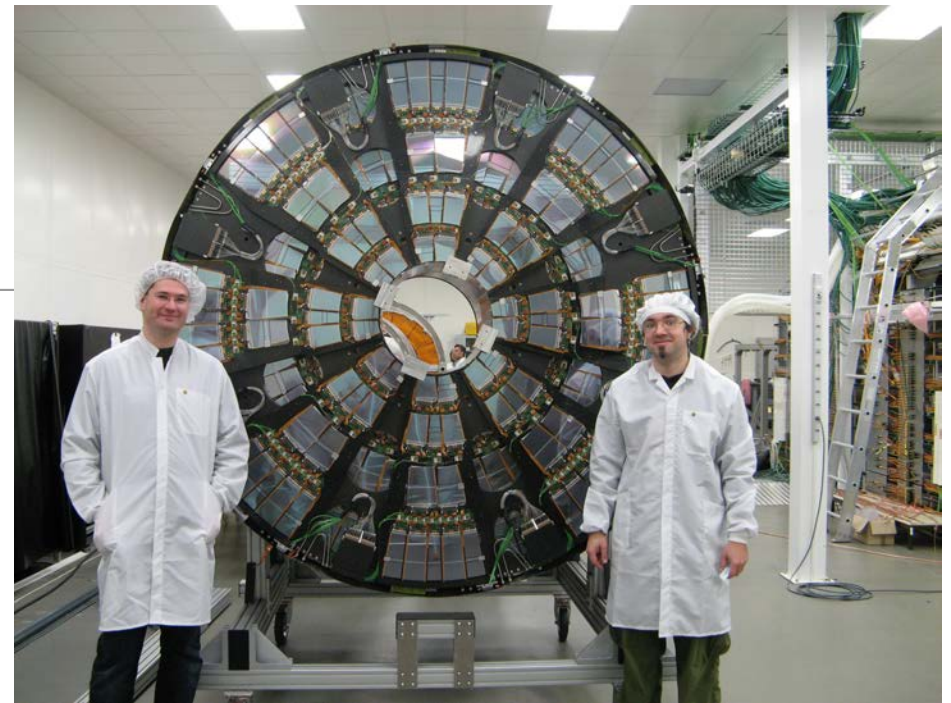


Institut für Hochenergiephysik
Österreichischen Akademie der Wissenschaften
Nikolsdorfer Gasse 18
1050 Wien

www.hephy.at

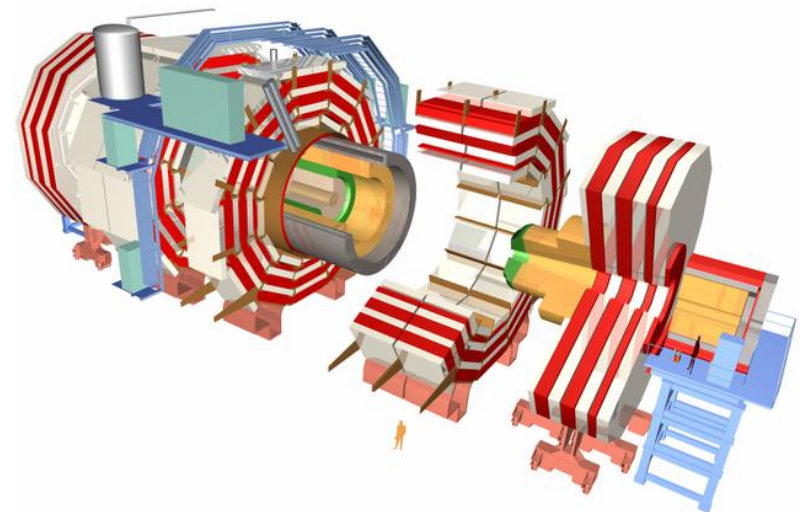
Forschung am HEPHY

- experimentelle Hochenergiephysik am HEPHY umfasst zwei Schwerpunkte (die man eigentlich nicht strikt trennen kann...)
- Entwicklung und Bau von Experimenten für die Teilchenphysik
- Analyse von Daten aus den Experimenten der Teilchenphysik



Physik am CMS-Experiment am LHC

- **Large Hadron Collider:**
Proton-Proton-Kollisionen bei einer Schwerpunktsenergie von 13 TeV leistungsstärkster Beschleuniger weltweit
Entdeckung des Higgs-Bosons im Jahr 2012
- **CMS (Compact Muon Solenoid):**
eines von zwei Mehrzweckexperimenten am LHC



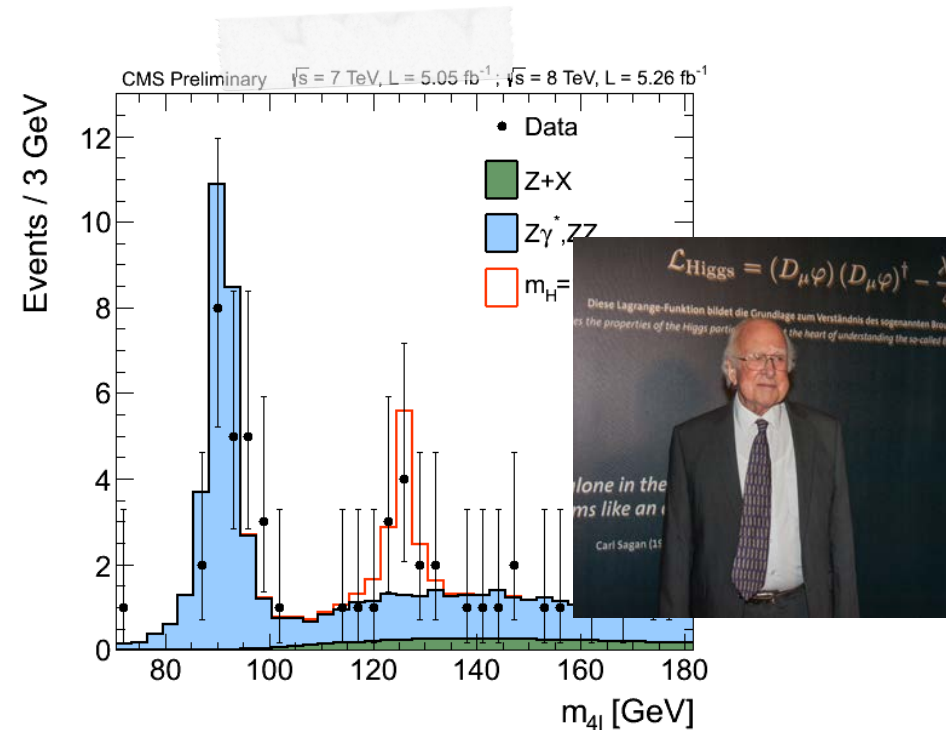
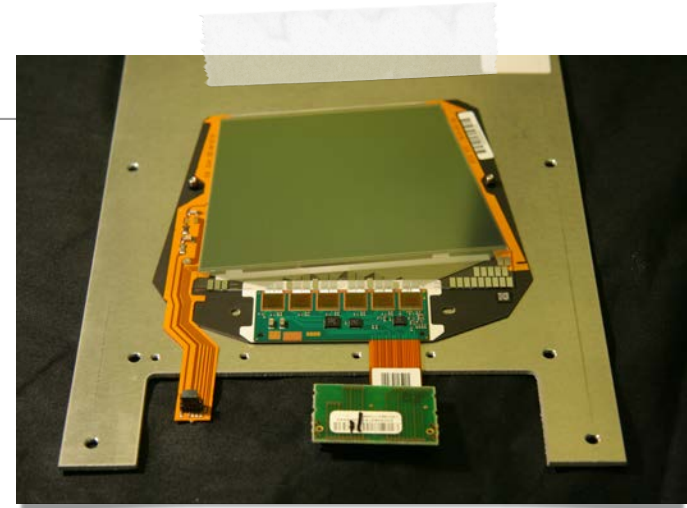
Beiträge von HEPHY zu CMS

- **Entwicklung & Bau & Betrieb**

Trigger des Experiments
Spurdetektor und
Kalorimeter des Experiments
Rekonstruktionsalgorithmen

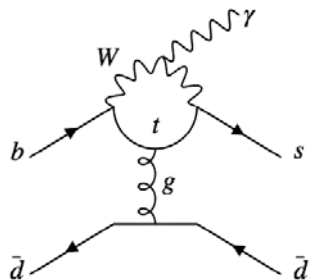
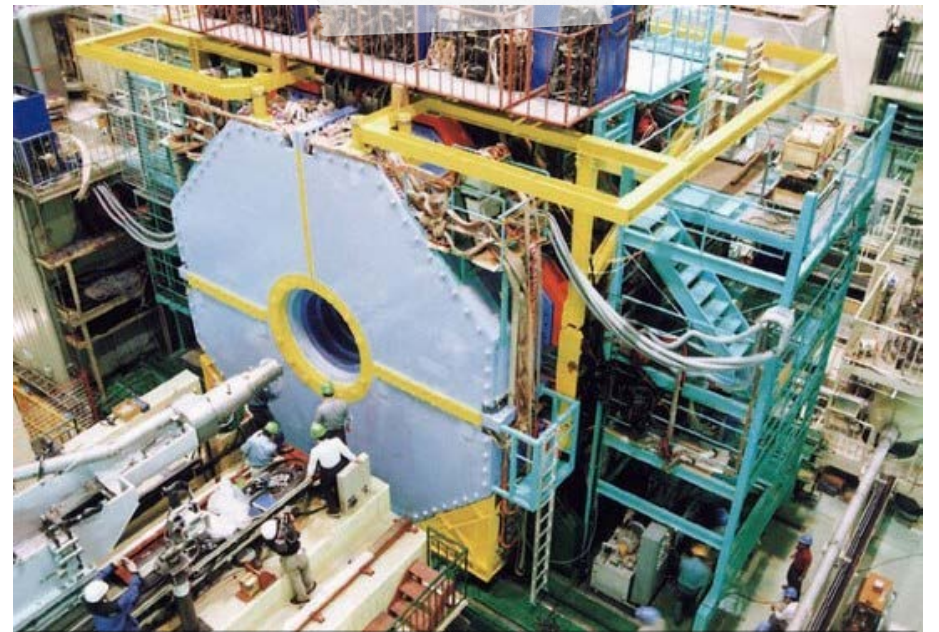
- **Datenanalyse**

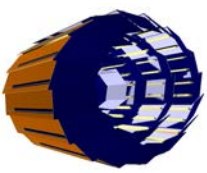
Studien zur Starken
Wechselwirkung (QCD)
Suche nach Supersymmetry
Charakterisierung des Higgs-
Bosons



Präzisionsmessungen am Belle II-Experiment

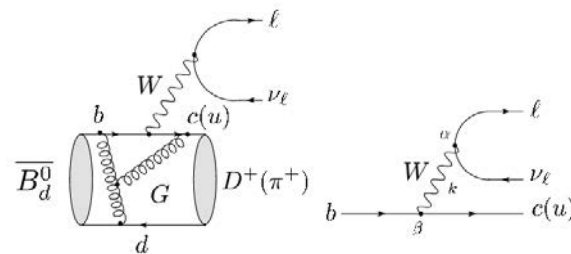
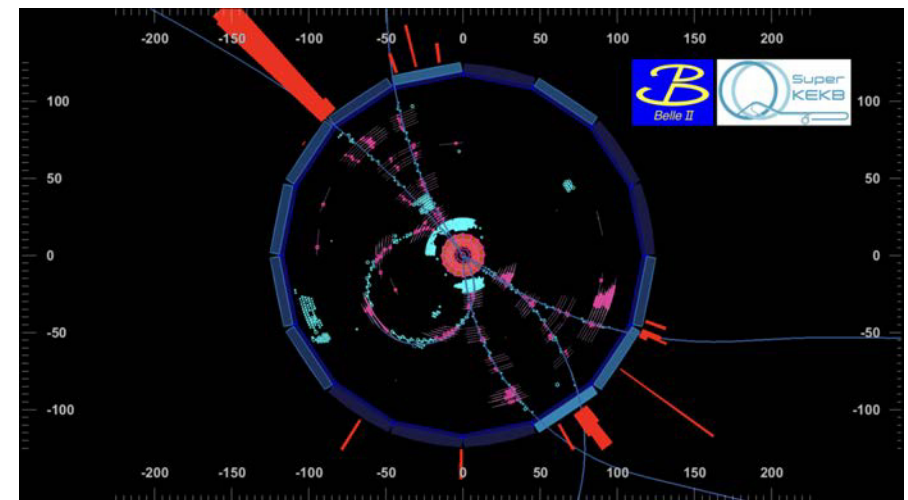
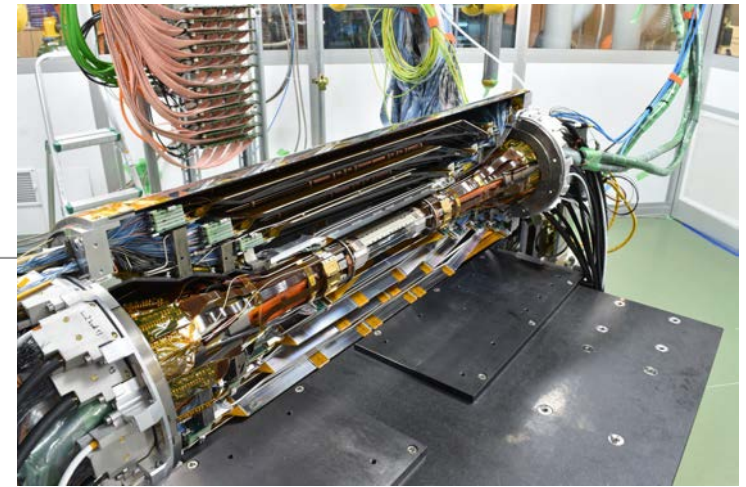
- Belle / Belle II zeichnet Daten aus e^+e^- - Kollisionen am KEK auf
- Präzisionsmessungen aus dem Zerfall des B-Mesons
- Entdeckung der CP-Verletzung im B-System





Beiträge von HEPHY zu Belle II

- Entwicklung und Bau des Siliziumstreifendetektor des Experiments
 - start Experiments im März 2019
- Entwicklung von Rekonstruktionsalgorithmen
- Analyse von B-Meson-zerfällen mit Leptonen im Endzustand



Fluglotsen-Streik führte zu Ausfällen

Die Austrian Airlines strichen am Montag fünf Flüge. Auch bei anderen Fluglinien kam es zu Ausfällen und Verzögerungen, weil der Flughafen Wien die Zahl der Landungen von 48 auf 16 kürzen musste. Grund dafür war eine Betriebsversammlung der Fluglotsen. Im Hintergrund tobt ein wilder Streit um die Gehälter.

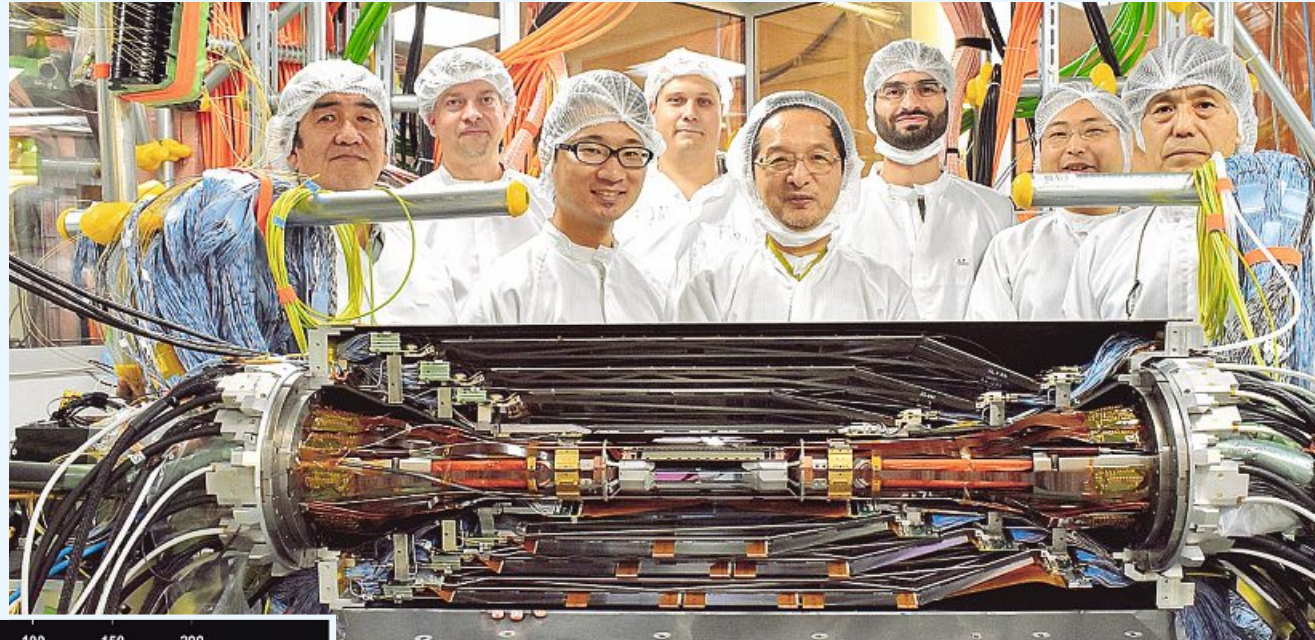


Foto: KEK

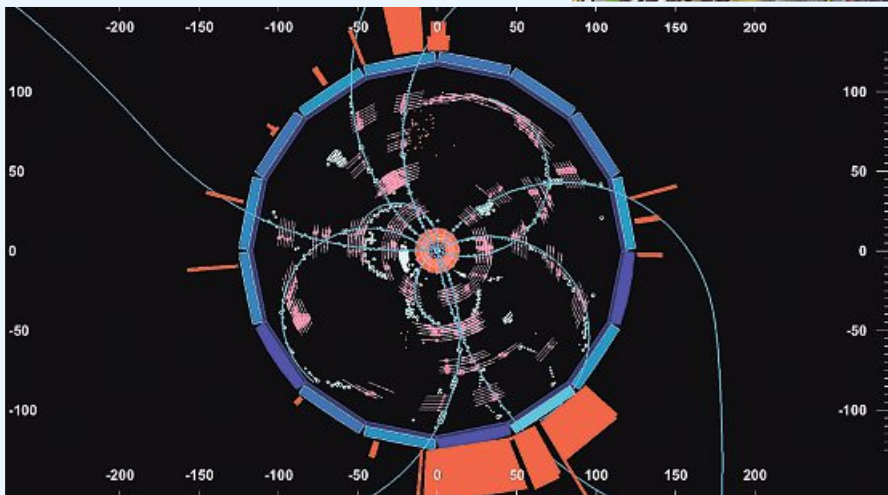


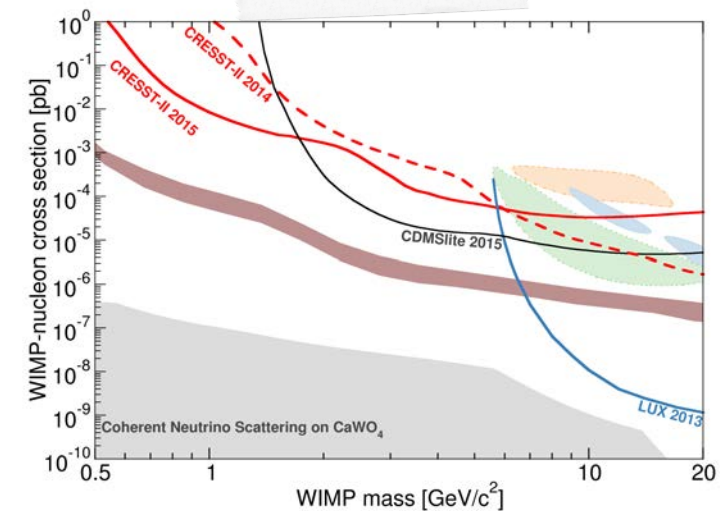
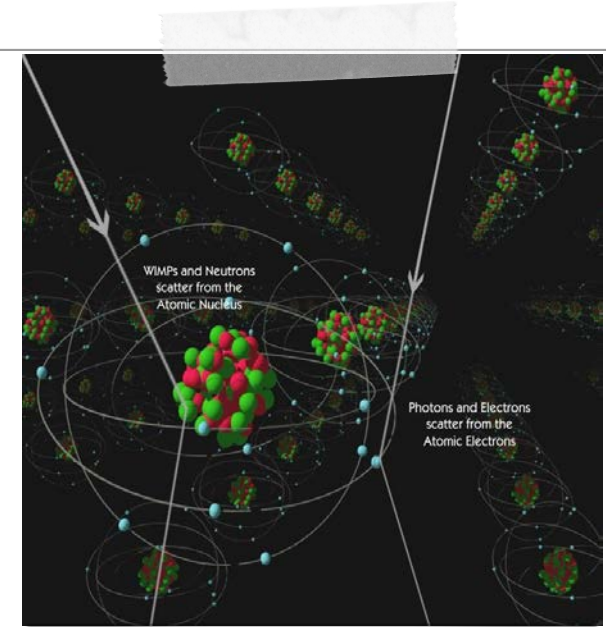
Foto: KEK

Heimische Physiker in Japan

Neues Teilchenbeschleuniger-Experiment in Japan gestartet: Derzeit lassen sich fünf Prozent des Energieinhaltes beschreiben, nicht aber die Eigenschaften dunkler Energie und dunkler Materie. Der Teilchenbeschleuniger in Tsukuba besteht aus einem unterirdischen, drei Kilometer langen Ring, in dem auf zwei gegenläufigen Umlaufbahnen Elektronen und ihre Antiteilchen beschleunigt werden. Im Inneren des Detektors stoßen sie zusammen. Beim Bau war ein elfköpfiges Team der Akademie der Wissenschaften federführend. Dieses Instrument vermisst die Teilchenbahnen nahe dem Kollisionspunkt.

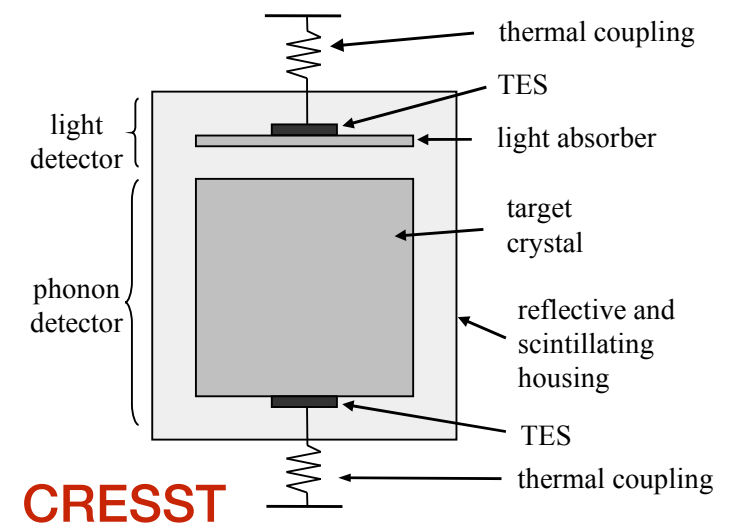
Suche nach “Dunkler Materie” mit CRESST

- Erklärung der “Dunklen Materie” über schwach wechselwirkende massive Teilchen sehr vielversprechend
- Nachweis über elastische Streuung an einem Kern
- bisher noch kein Signal beobachtet und nur Ausschlussgrenzen bestimmt



Suche nach “Dunkler Materie” am HEPHY

- neue experimentelle Arbeitsgruppe gemeinsam mit der TU Wien seit Oktober 2013
- Beiträge zum Bau der Elektronik für CRESST III und zukünftige Dunkle Materie Experimente
- Simulation des Untergrunds und Datenanalyse
- Neu: Spin-off - Neutrino-physik



Suche nach “Dunkler Materie” am HEPHY

AUSTRIA PRESSE AGENTUR



SCIENCE

News ▾

Themen

Termine & Tipps

Partner ▾

Suche

Über uns

ANMELDEN

Feb. 2021

TECH | APA / 09.02.2021, 10:15

Österreichische Physiker suchen tief im Berg nach Dunkler Materie

Mit einem neuen Experiment hofft ein internationales Forscherteam mit österreichischer Beteiligung der rätselhaften Dunklen Materie im Universum auf die Spur zu kommen. Mit speziellen Tieftemperatur-Detektoren wollen sie im italienischen Untergrundlabor Gran Sasso in 1.400 Meter Tiefe Signale eines anderen Versuchs überprüfen, der seit 20 Jahren Hinweise auf die Existenz der Dunklen Materie liefert. Bisher ist das mit noch keinem anderen Experiment gelungen.



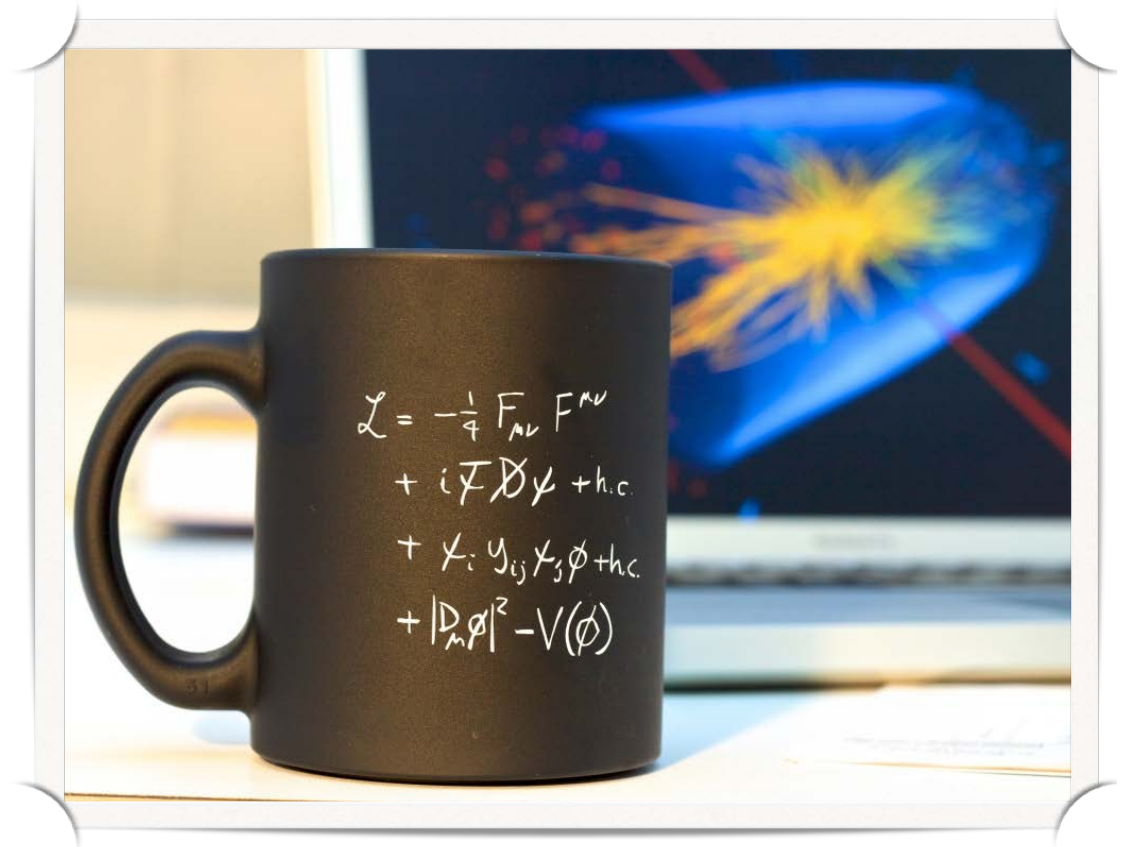
© Karoline Schäffer/MPP

Karoline Schäffer/MPP

Offenes Detektormodul des COSINUS-Experiments

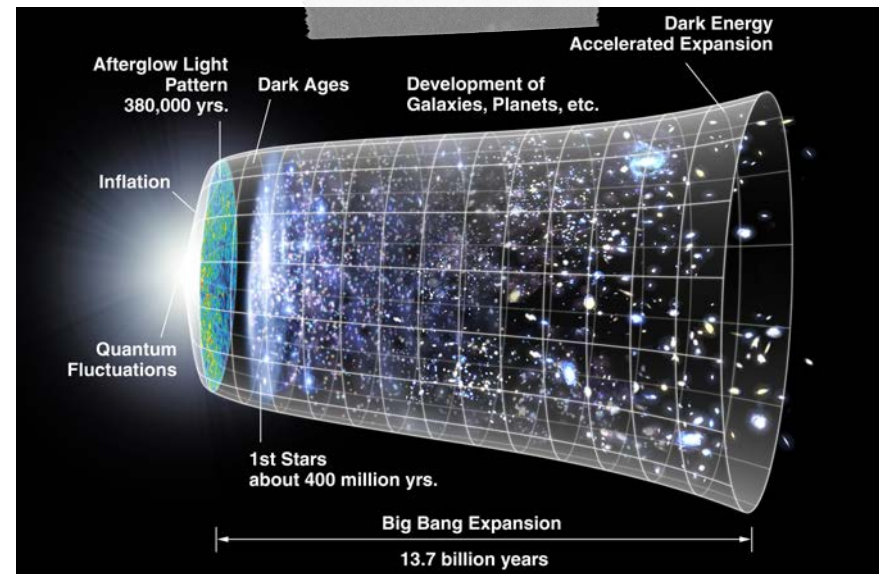
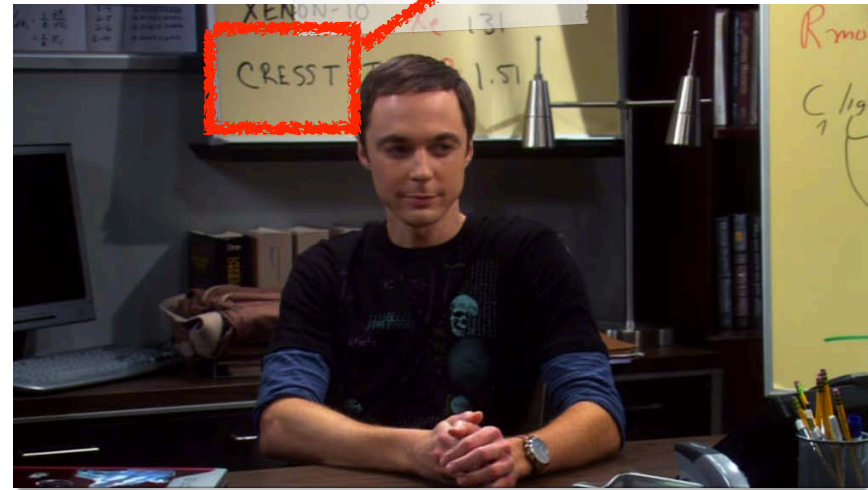
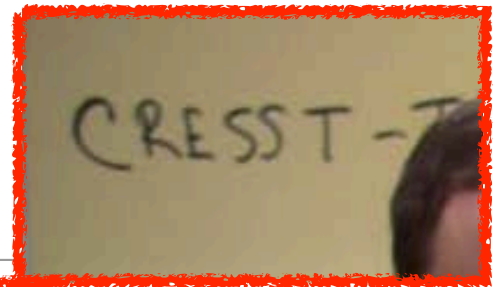
Hochenergiephysik am HEPHY

- die experimentelle Forschung am HEPHY wird komplementiert durch eine kleine Theoriegruppe
- Starke Wechselwirkung
- Supersymmetry
- Dunkle Materie



Experimentelle Hochenergiephysik

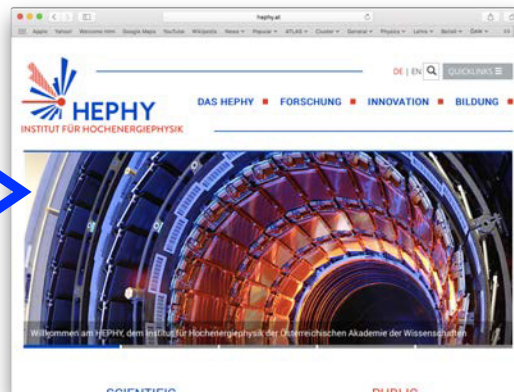
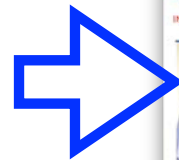
- experimentelle Hochenergiephysik ist “Big Bang Experiment”
- Die TU Wien und das HEPHY tragen zu den führenden Experimenten der Teilchenphysik bei
- sie sind herzlich eingeladen uns jederzeit am HEPHY zu besuchen



Dozenten am Atominstitut und HEPHY

- **Manfred Krammer***
- **Manfred Jeitler**
- **Christoph Schwanda**
- **Jochen Schieck**
- **Robert Schöpfbeck**
- **Claudia Wulz**

www.hephy.at



* momentan CERN